

Informe I

Título: EVALUACIÓN DE NUEVAS TECNOLOGÍAS PARA LA DETECCIÓN DE PATOLOGÍAS Y AFECCIONES EN PALMERALES DE LA ISLA DE LA GOMERA EN EL MARCO DEL PROYECTO MAC INTERREG GUARAPO

Código/Acrónimo FGULL: A21100090 / PATOLOGÍAS PALMERAS

Nombre de Tarea: **Caracterización espectral de palmeras**

Nombre de entregable: **Caracterización espectral de palmeras**

Fecha de entregable: **13/12/2021**

Autores: **Manuel Arbelo Pérez, Francesca Marchetti, Enrique Casas Más**

Nivel de difusión: **Interno**

DECLARACIÓN DE DERECHOS DE PROPIEDAD

ESTE DOCUMENTO CONTIENE INFORMACIÓN QUE ES PROPIEDAD DE SUS AUTORES. NI ESTE DOCUMENTO NI LA INFORMACIÓN CONTENIDA EN ÉL PODRÁN SER UTILIZADOS, DUPLICADOS O COMUNICADOS POR CUALQUIER MEDIO A TERCEROS, EN SU TOTALIDAD O EN PARTES, SALVO CON EL CONSENTIMIENTO PREVIO POR ESCRITO DEL COORDINADOR DEL PROYECTO A21100090 / PATOLOGÍAS PALMERAS. ESTA LEYENDA DE RESTRICCIÓN NO PODRÁ SER ALTERADA NI BORRADA DE ESTE DOCUMENTO.

Índice

1. INTRODUCCIÓN	3
2. AREA DE ESTUDIO	6
3. MATERIALES Y MÉTODOS	8
4. RESULTADOS	11
5. REFERENCIAS	17
6. ANEXO	19

1. INTRODUCCIÓN

La palmera canaria (*Phoenix canariensis*) es un elemento natural distintivo y un rasgo caracterizador del paisaje en las Islas Canarias, especialmente en la Isla de la Gomera. Sin embargo, el abandono de la agricultura de abastecimiento en las últimas décadas está produciendo que muchos palmerales hayan comenzado a perder ejemplares, encontrándose en un serio peligro de desaparición. La causa fundamental de este abandono se debe a los cambios socioeconómicos y al retroceso de la industria artesana ligada a la palmera. También ha influido notablemente la alteración de las condiciones ambientales, como consecuencia del cambio climático. Y, por último, pero no por ello menos importante, muchos palmerales se están viendo afectados por plagas y enfermedades, como ocurre con otras plantas y cultivos a nivel mundial (Zhang et al., 2019; Oerke, 2006; Strange y Scott, 2005).

Para el control y erradicación de estas patologías y afecciones se necesita la implantación de métodos de determinación y seguimiento que permitan una detección eficiente. La inspección visual, mediante el tradicional trabajo de campo, requiere mucho tiempo y personas entrenadas adecuadamente para detectar y diagnosticar estas patologías. Este método, inevitablemente, está supeditado a la experiencia de los técnicos que realizan la evaluación y, además, su diagnóstico se puede ver afectado por la variación de la patología en el tiempo. Variación que puede provocar una alta variabilidad en la estimación de un evaluador individual y problemas de repetitividad entre diferentes evaluadores (Bock et al. 2008, 2010; Nutter, 2001; Steddom et al., 2005). Por lo tanto, la protección fitosanitaria exige alternativas a los métodos de inspección visual tradicionales, esto es, métodos innovadores, automatizados y, de ser posible, sensibles, específicos y fiables para mejorar la detección de enfermedades. En este sentido, la teledetección se podría revelar como un método adecuado para este fin, permitiendo una monitorización espacial y temporal exhaustiva de las plantas seleccionadas. Son numerosos los estudios que han demostrado su utilidad para la detección y supervisión de enfermedades y plagas en la vegetación mediante esta técnica (Zhang et al., 2019; Mahlein, 2015; Moran et al., 1997; Sankaran et al., 2010; Seelan et al., 2003; West et al., 2003; Martinelli et al, 2015).

Bajo el término teledetección se engloban diferentes técnicas que permiten medir las propiedades físicas de un objeto (p. ej. una palmera) mediante instrumentos, como radiómetros o espectroradiómetros, que registran la radiación solar reflejada o la térmica emitida. Estos instrumentos necesitan de un operador que sujete y controle el equipo, aunque también pueden ser instalados en plataformas terrestres. Pero la teledetección

incluye también las medidas obtenidas con sensores remotos que operan a diferentes alturas de la superficie terrestre, desde satélites a plataformas aéreas como drones. Estos sensores pueden capturar imágenes multiespectrales o hiperespectrales con resoluciones espaciales que pueden variar desde kilómetros a centímetros.

En este proyecto resulta de interés la medida de una magnitud fundamental en teledetección que se conoce con el nombre de reflectancia espectral. La reflectancia es una característica propia de cada objeto observado remotamente. Se define como la proporción de energía incidente que es reflejada por el objeto o superficie en estudio y varía en función de la longitud de onda. Es, por tanto, una magnitud adimensional que puede tomar valores entre 0 y 1 (o % entre 0 y 100).

Al gráfico de la reflectancia espectral frente a la longitud de onda se le denomina curva de reflectancia espectral o firma espectral (Figura 1). La forma de estas curvas permite extraer las características espectrales de un objeto y tiene una gran influencia sobre la elección de la región espectral en la cual los datos de teledetección se deben adquirir para una aplicación particular. Así, por ejemplo, la firma espectral característica de la vegetación sana presenta los picos y valles que se muestran en la Figura 1. Los valles en la región del visible vienen dados por los pigmentos de las hojas de las plantas. La clorofila absorbe energía fuertemente en las bandas centradas en 450 y 670 nm (Figura 2). Es por ello que nuestros ojos perciben la vegetación sana de color verde, debido a la gran absorción en azul y rojo por las hojas y a la reflexión en el verde. Cuando la vegetación no está sana, disminuye la clorofila, y el resultado es un incremento de la reflectancia espectral en el rojo, por lo que las hojas se ven con un tono amarillento (mezcla de verde y rojo). Al llegar al IR próximo la reflectancia de la vegetación sana aumenta drásticamente. La región 700-1300 nm puede reflejar más del 50% de la energía solar incidente. El resto de la energía es transmitida casi en su totalidad, ya que en esta región la absorción es menor al 5%. La reflectancia desde 700 a 1300 nm es función de la estructura interna de las hojas (Figura 2). Como estas son distintas, permite diferenciar distintos tipos de vegetación, aunque en el visible sean similares en apariencia. Más allá de 1300 nm la reflectancia de las hojas es inversamente proporcional a su contenido de agua, por lo que esta región del espectro también resulta útil para detectar el estrés hídrico en la vegetación (Labrador et al., 2012).

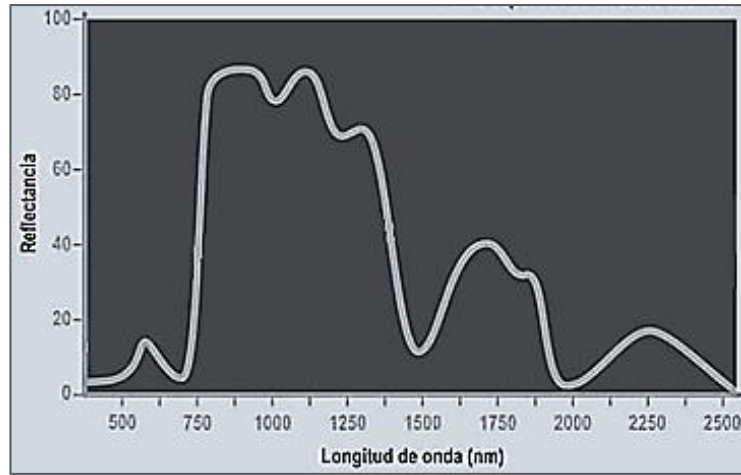


Figura 1. Firma espectral característica de la vegetación sana.

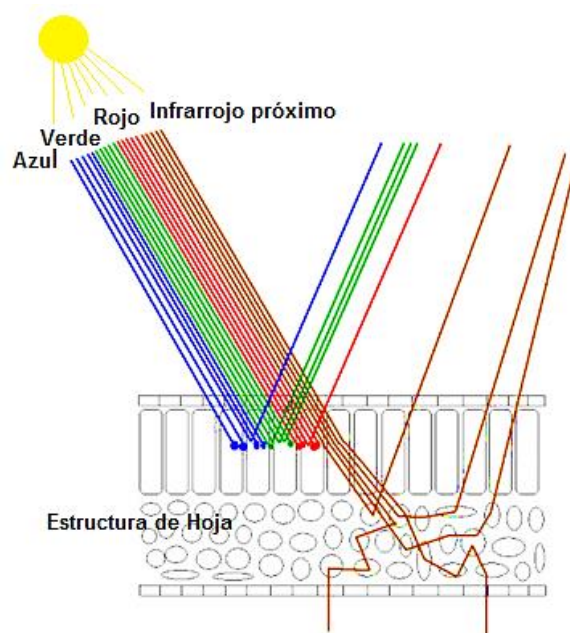


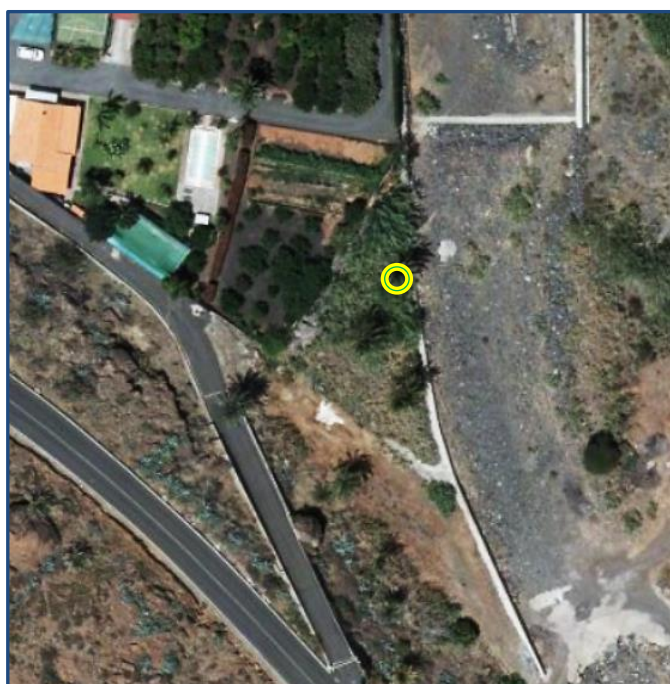
Figura 2. Interacción de la radiación solar con una hoja de vegetación sana.

En esta primera fase del proyecto se ha planteado la medida y caracterización espectral de hojas representativas de palmeras seleccionadas en la Isla de La Gomera con dos grados de afección diferentes. Para ello se aplicaron técnicas de teledetección próxima a través de la espectroradiometría de campo.

2. AREA DE ESTUDIO

La ubicación de los palmerales donde se realizó la espectroradiometría de campo, fue determinada por los técnicos del Servicio de Sanidad Vegetal (SSV) de la Dirección General de Agricultura de la Consejería de Agricultura, Ganadería y Pesca, en una prospección previa. Uno de los palmerales está situado en la vertiente este de la isla de La Gomera, en el municipio de San Sebastián de La Gomera y cerca del lugar denominado Chejelipes (Figura 3). El otro, en el municipio de Hermigua, en un entorno rural junto a la Ermita de San José, a más de 400 metros de altitud sobre el nivel del mar (Figura 4). En ambas ubicaciones el agente nocivo presente en las hojas medidas fue *Phoenicococcus marlatti* Cockerell, comúnmente conocido como cochinilla roja de las palmeras. Esta es una plaga específica de palmeras, principalmente del género Phoenix (*P. canariensis*, *P. dactylífera*, *P. roebelenii*), presente en todas las islas Canarias ([Banco de Datos de Biodiversidad de Canarias, 2021](#)).

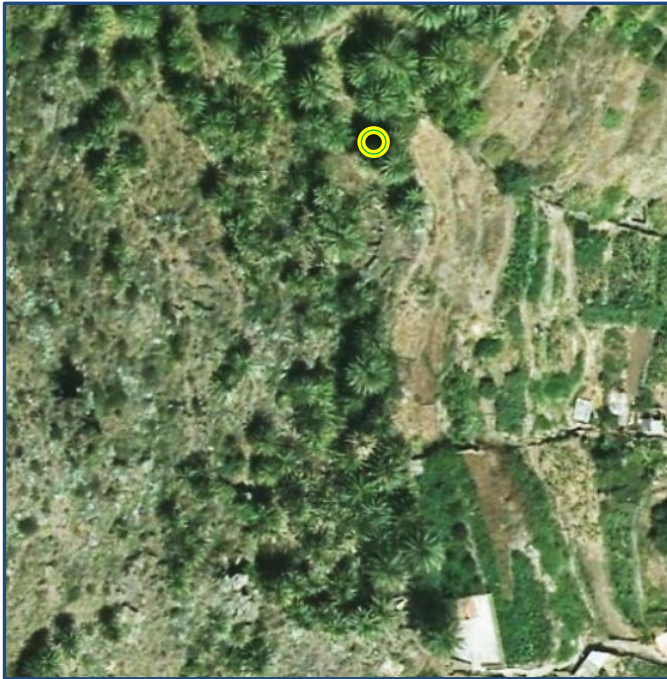
Las medidas se realizaron los días 22 y 23 de septiembre de 2021 en las horas centrales del día (11:00 – 15:00). El día 22, en Chejelipes, las condiciones meteorológicas no eran del todo favorables, con nubosidad y condiciones de iluminación solar variables. El segundo día en Hermigua, por el contrario, el cielo permaneció completamente despejado durante todas las medidas.



Latitud: 28° 06' 33,59" N
Longitud: 17° 08' 35,81" O
Altura (m.s.n.m.): 80,99 m.



Figura 3. Palmeral en San Sebastián de La Gomera. Con círculo amarillo ubicación de ejemplares de palmera canaria de los que se tomaron las muestras (hojas) para ser medidos.



Latitud: 28° 09' 11,77" N
Longitud: 17° 12' 19,33" O
Altura (m.s.n.m.): 415,10 m.

Figura 4. Palmeral en Hermigua. Con círculo amarillo ubicación de ejemplar de palmera canaria del que se tomó la muestra (hojas) para ser medida.

3. MATERIALES Y MÉTODOS

Son escasos los estudios previos que analizan las posibles ventajas de la espectroradiometría de campo para detectar afecciones en palmeras Phoenix. Destacar el trabajo de Amira Hassan (2010) para determinar palmeras canarias afectadas por el picudo rojo (*Rhynchophorus ferrugineus* Oliv.) en Bari (Italia). Encontró firmas espectrales diferentes entre ejemplares sanos e infectados, pero sólo cuando la enfermedad ya había afectado drásticamente a la planta. También recomendaba la necesidad de identificar el sexo de las palmeras, ya que la presencia de frutos en las hembras, daba lugar a firmas espectrales similares a las de ejemplares enfermos. Igualmente, cabe destacar el Proyecto Palmera-POCTEFEX, en el que una de sus principales actividades consistió en detectar síntomas de enfermedades en palmeras datileras por medio de medidas espectrales desde satélite y espectroradiometría de campo en el Oasis de Mezquita (Souss-Massa-Draa, Marruecos) (Labrador et al., 2014).

La espectroradiometría de campo consiste en la medida cuantitativa de las curvas de reflectancia espectral (o firma espectral) de un objeto o superficie en condiciones de iluminación solar. Para ello se hizo uso del espectroradiómetro ASD FieldSpec 3 (ASD, 1999) (Figura 5), que es un sensor óptico que capta la radiación incidente en diferentes longitudes de onda del espectro electromagnético, generando en respuesta señales eléctricas. El rango espectral medido por este espectroradiómetro varía desde los 350 nm hasta los 2500 nm. Este instrumento dispone de tres sensores diferentes: VNIR, SWIR1 y SWIR2. Cada uno sensible en una región del espectro electromagnético (Tabla 1).

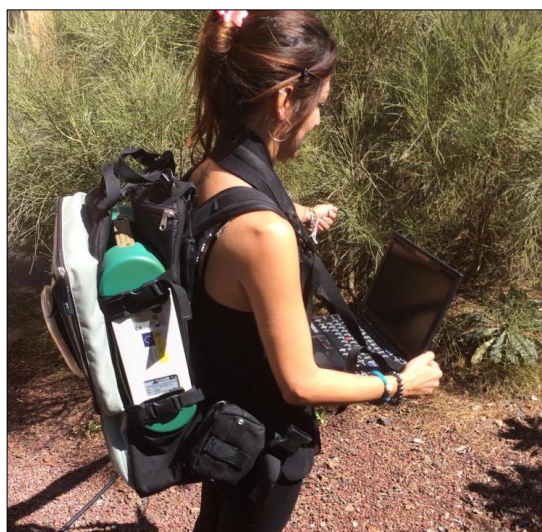


Figura 5 Espectroradiómetro ASD FieldSpec 3.

Tabla 1. Características de los sensores del espectroradiómetro ASD FieldSpec 3.

Sensor	VNIR	SWIR1	SWIR2
Rango Espectral (nm)	350 -1000	1000 -1800	1800 - 2500
Resolución espectral (nm)	3	10	10
Intervalo de muestreo (nm)	1,4	2	2

La señal medida alcanza los detectores a través una fibra óptica de 1 m de longitud ensamblada a una empuñadura en forma de pistola y con un campo de visión instantáneo que puede variar entre 10° y 25°. Para este trabajo se utilizó la fibra óptica desnuda que se corresponde con 25°. Por último, indicar que para adquirir las firmas espectrales de las muestras se usa un ordenador portátil que controla el instrumento de forma inalámbrica por medio del software denominado "RS3" (ASD Inc, 2008).

Para este trabajo se seleccionaron y cortaron tres hojas de palmeras con diferente nivel de afección. Para la zona de Chejelipes, se dispuso de una hoja afectada levemente y otra moderadamente (Figuras 6 y 7), diagnóstico realizado por los técnicos del SSV y de la empresa pública GMR (Gestión del Medio Rural) que participaron en la campaña. Para Hermigua, fue seleccionada una hoja con afección moderada.



Figura 6. Hoja de palmera levemente afectada, Chejelipes.



Figura 7. Hoja de palmera moderadamente afectada, Chejelipes.

Todas las firmas espectrales se adquirieron en modo de reflectancia absoluta desde aproximadamente 0,5 m de altura. Cada hoja fue dispuesta sobre un fondo negro de reflectancia conocida y siempre con un valor inferior a 0,02. Las medidas se hicieron sobre tres secciones diferentes de las hojas: cola (o base), central y ápice. A simple vista, se aprecia un deterioro diferente para cada una de esas partes de la hoja como consecuencia de la forma en que la cochinilla roja las va afectando. Se obtuvieron al menos 15 firmas espectrales consecutivas para cada sección. A continuación, se pre-procesaron las firmas espectrales con objeto de eliminar el ruido que se observa entorno a determinadas bandas espectrales (1400 nm y 1800 nm y 2500 nm), debido al efecto de absorción del vapor de agua atmosférico. A partir de esas medidas corregidas se determinó la firma espectral promedio de cada medida (3 hojas x 3 secciones) para elaborar la librería espectral que se presenta en Resultados y en Anexo.

4. RESULTADOS

Las medidas obtenidas se presentan desde la Figura 8 hasta la Figura 16. Se muestran las firmas espectrales promedio de cada parte (ápice, central y cola) de los tres ejemplares de hojas de palmeras (dos mediamente afectadas y una moderada) que se obtuvieron en las zonas de interés.

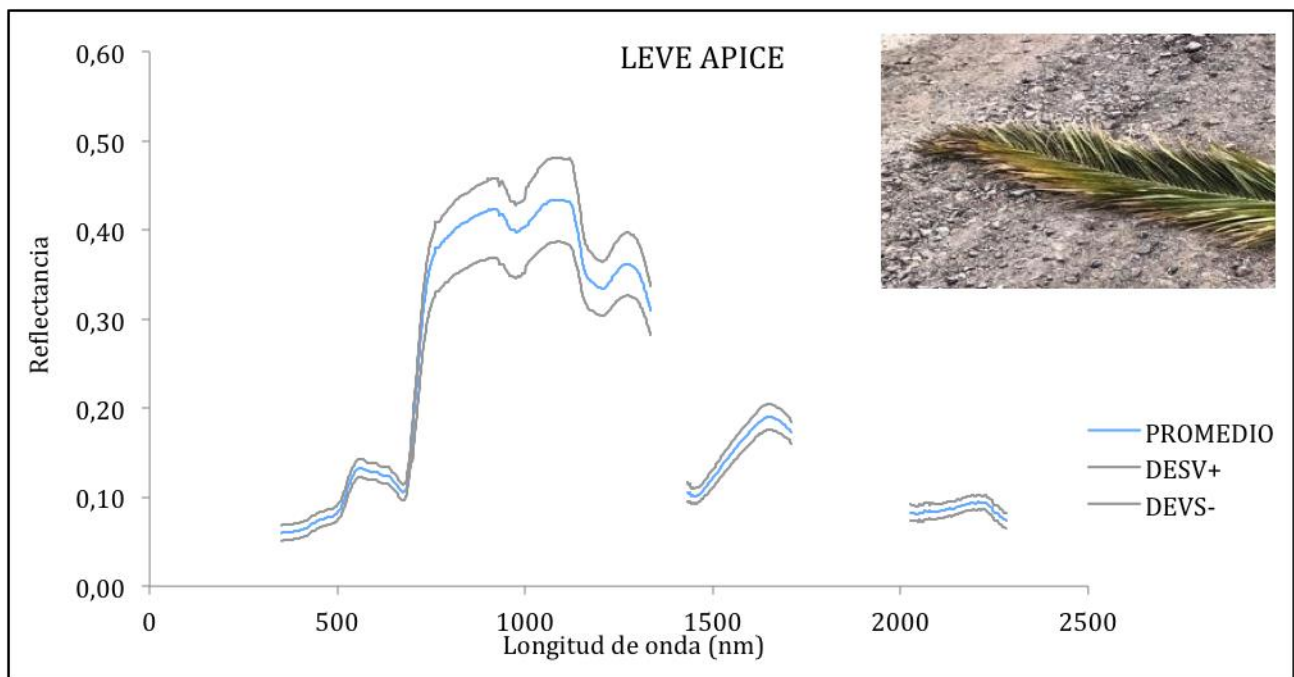


Figura 8. Firma espectral promedio del ápice de la hoja de palmera levemente afectada (Chejelipes).

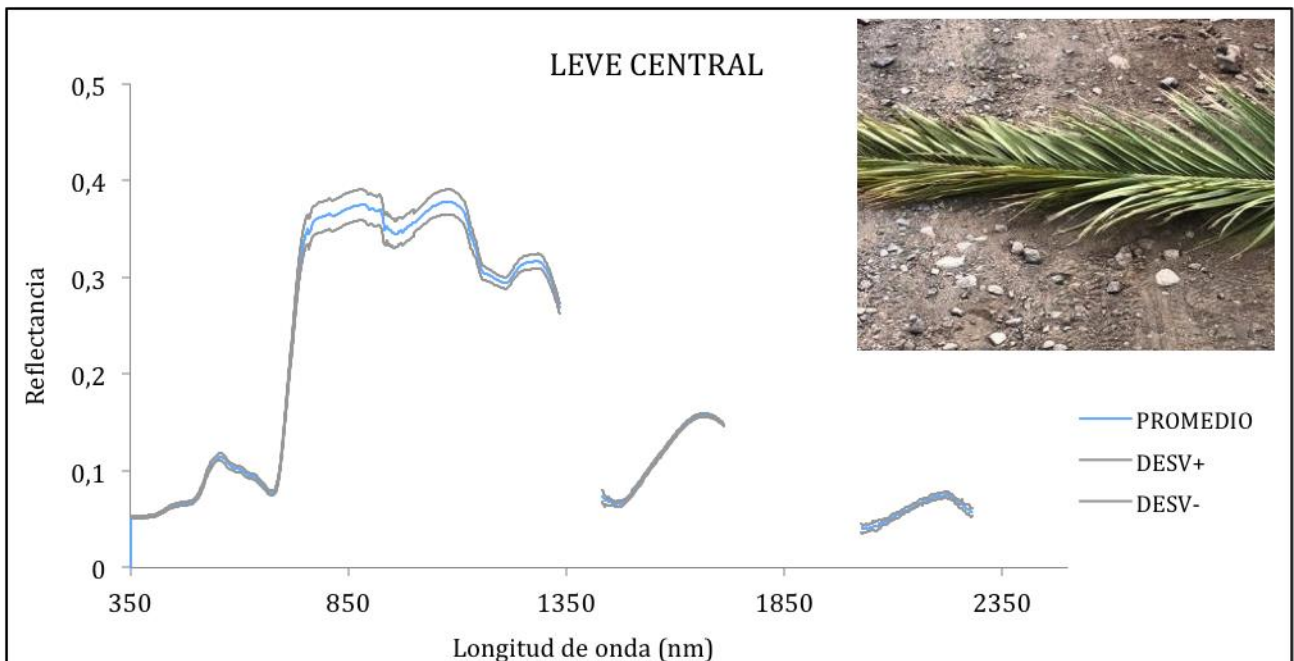


Figura 9. Firma espectral promedio de la parte central de la hoja de palmera levemente afectada (Chejelipes).

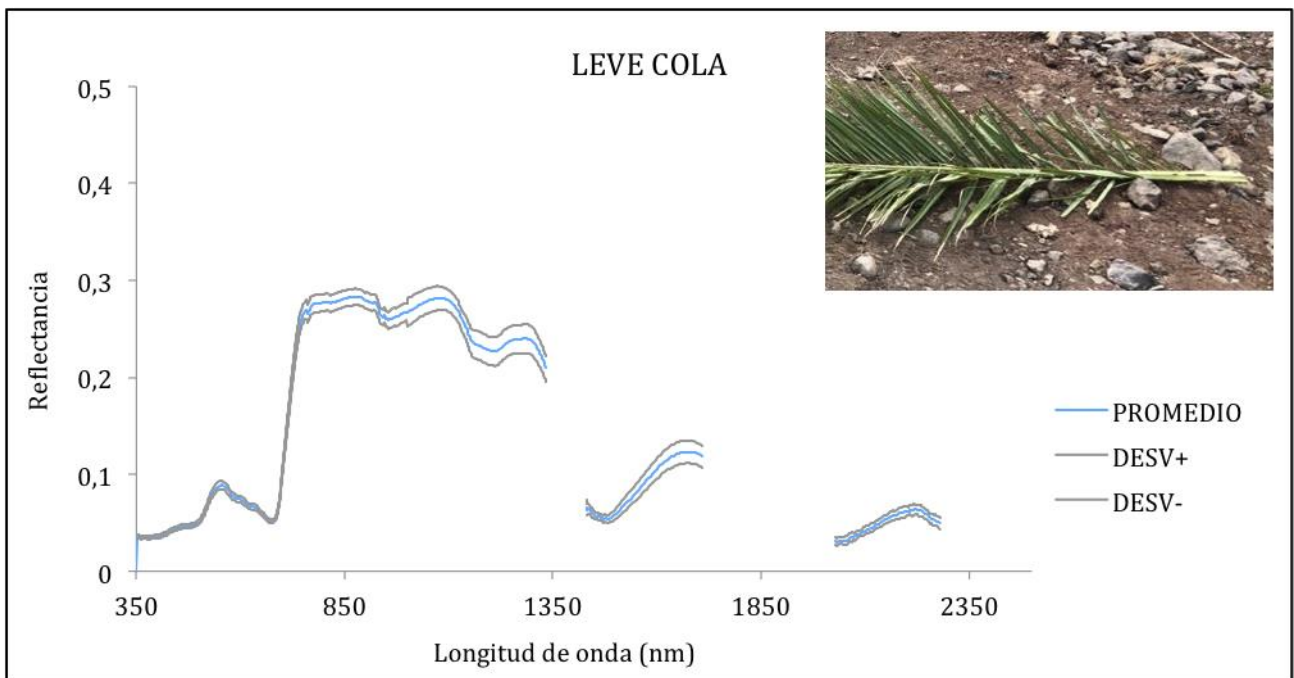


Figura 10. Firma espectral promedio de la base (cola) de la hoja de palmera levemente afectada (Chejelipes).

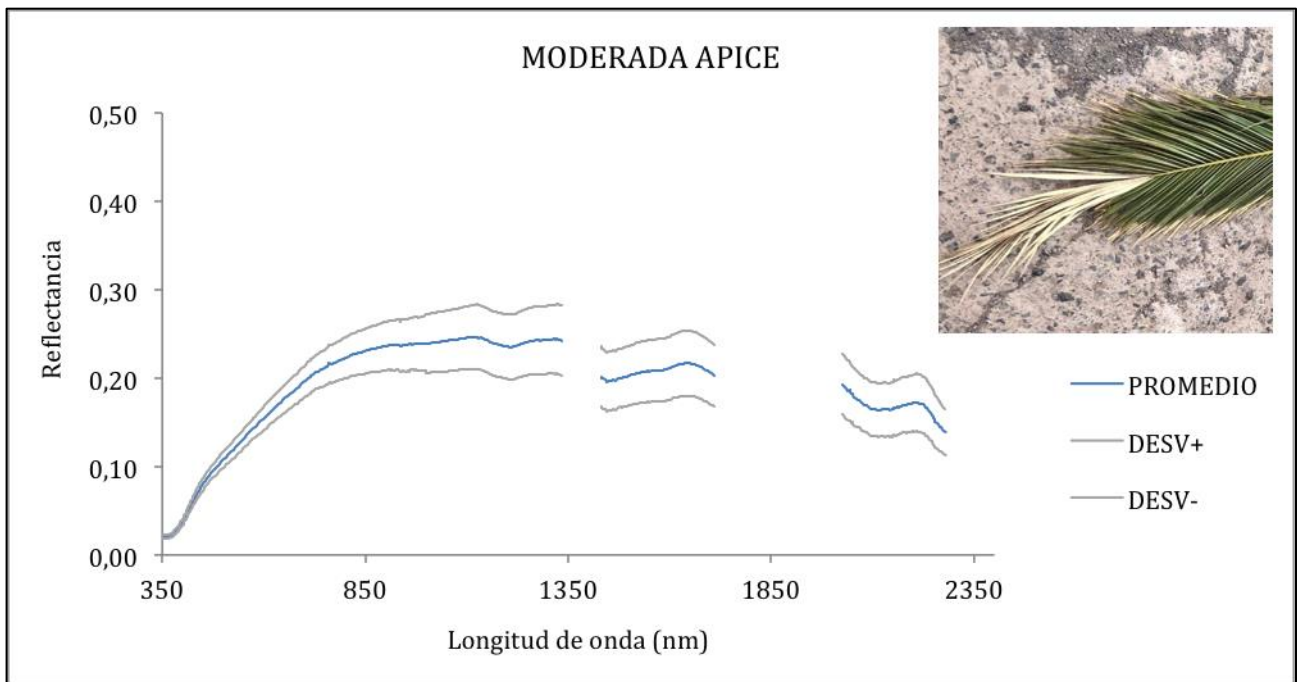


Figura 11. Firma espectral promedio del ápice de la hoja de palmera moderadamente afectada (Chejelipes).

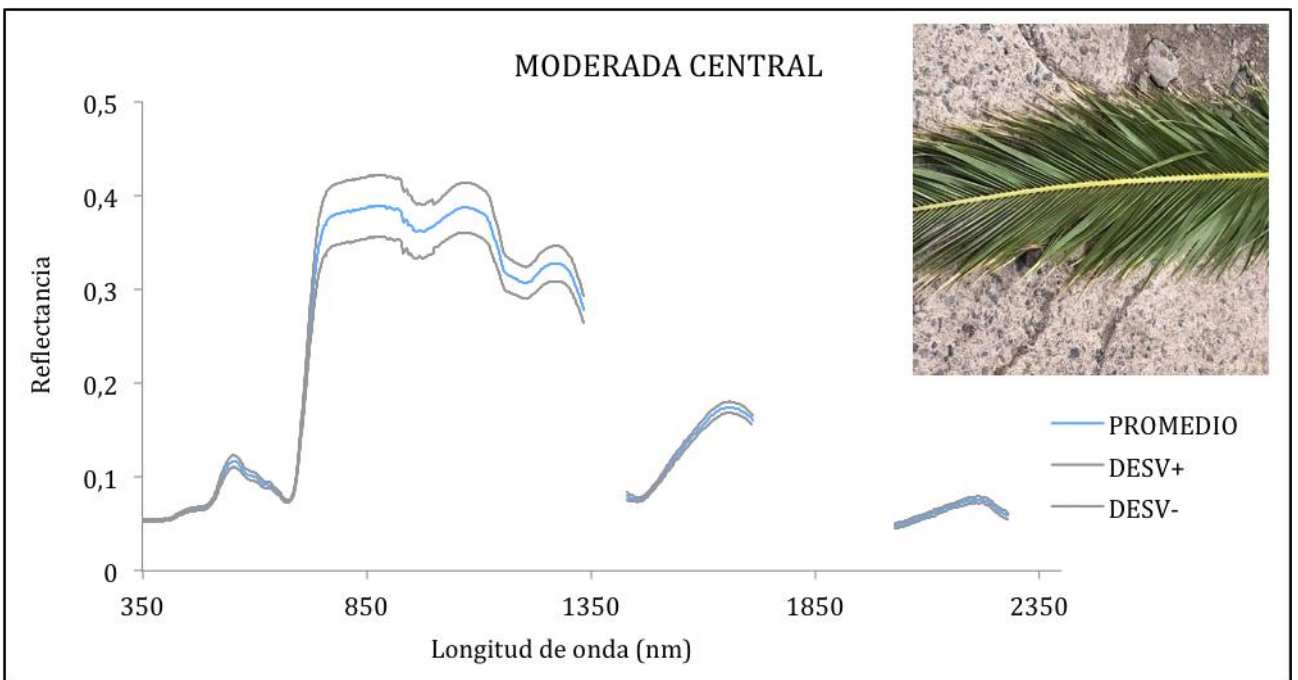


Figura 12. Firma espectral promedio de la parte central de la hoja de palmera moderadamente afectada (Chejelipes).

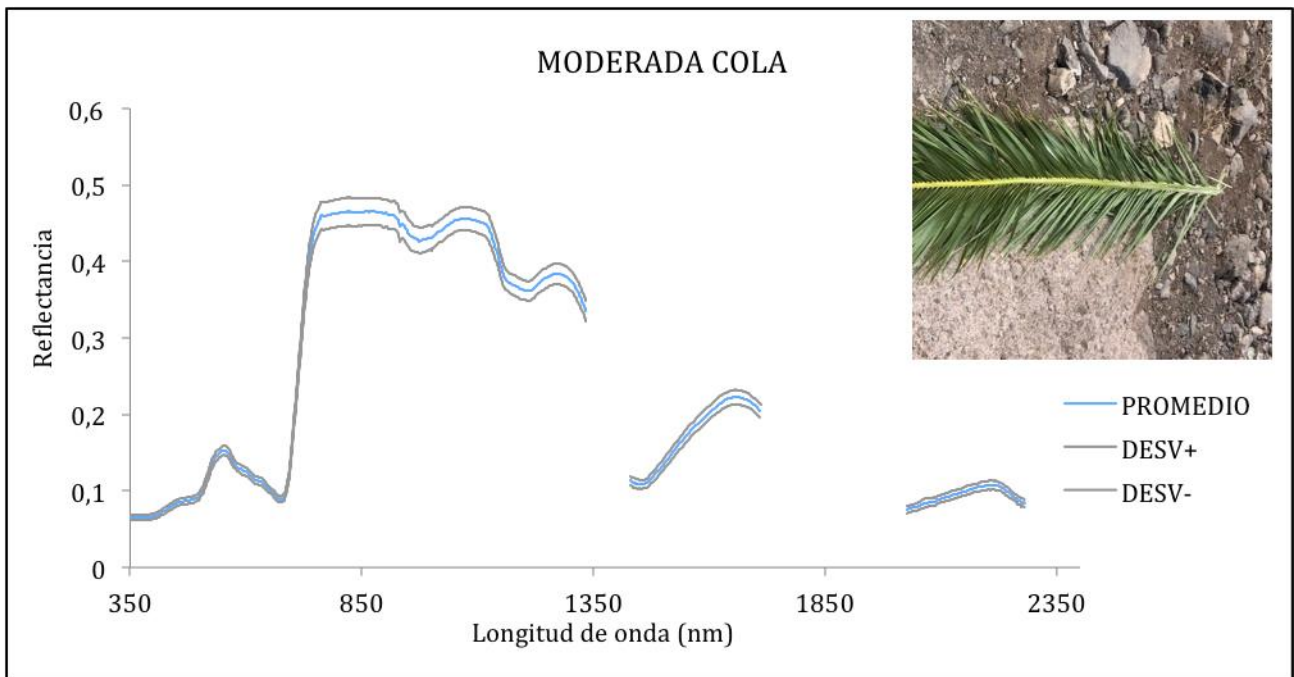


Figura 13. Firma espectral promedio de la base de la hoja de palmera moderadamente afectada (Chejelipes).

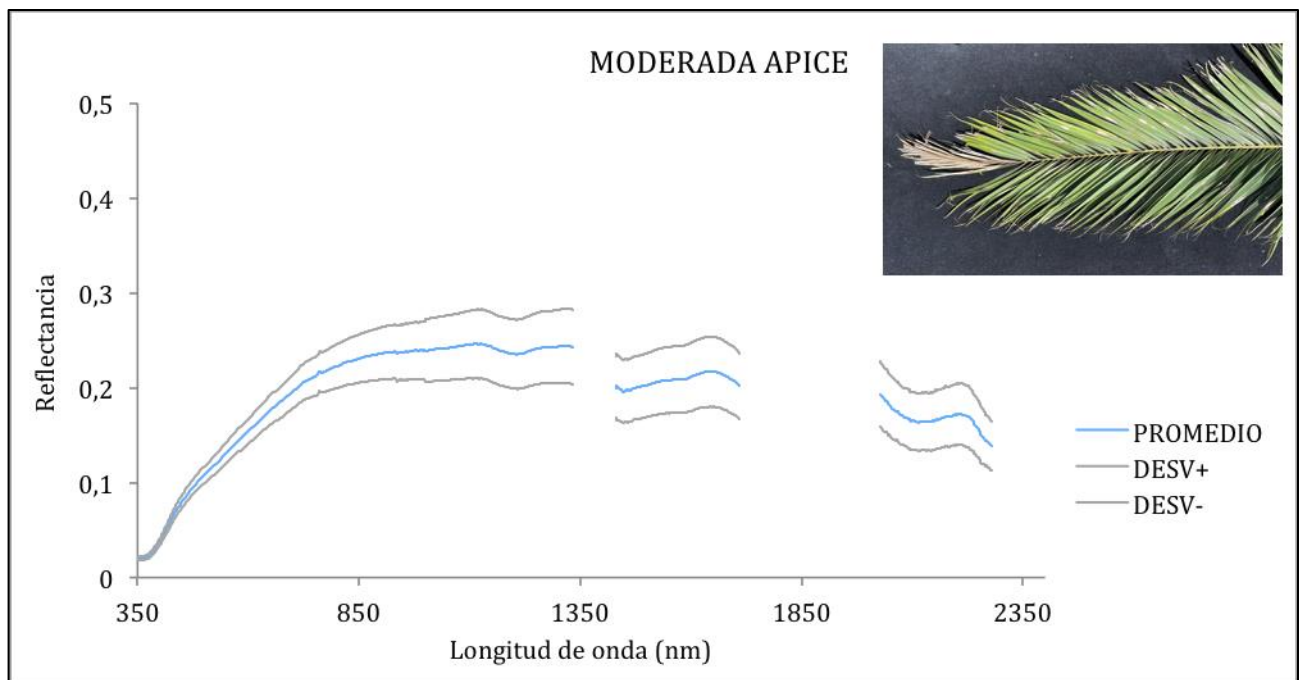


Figura 14. Firma espectral promedio del ápice de la hoja de palmera moderadamente afectada (Hermigua).

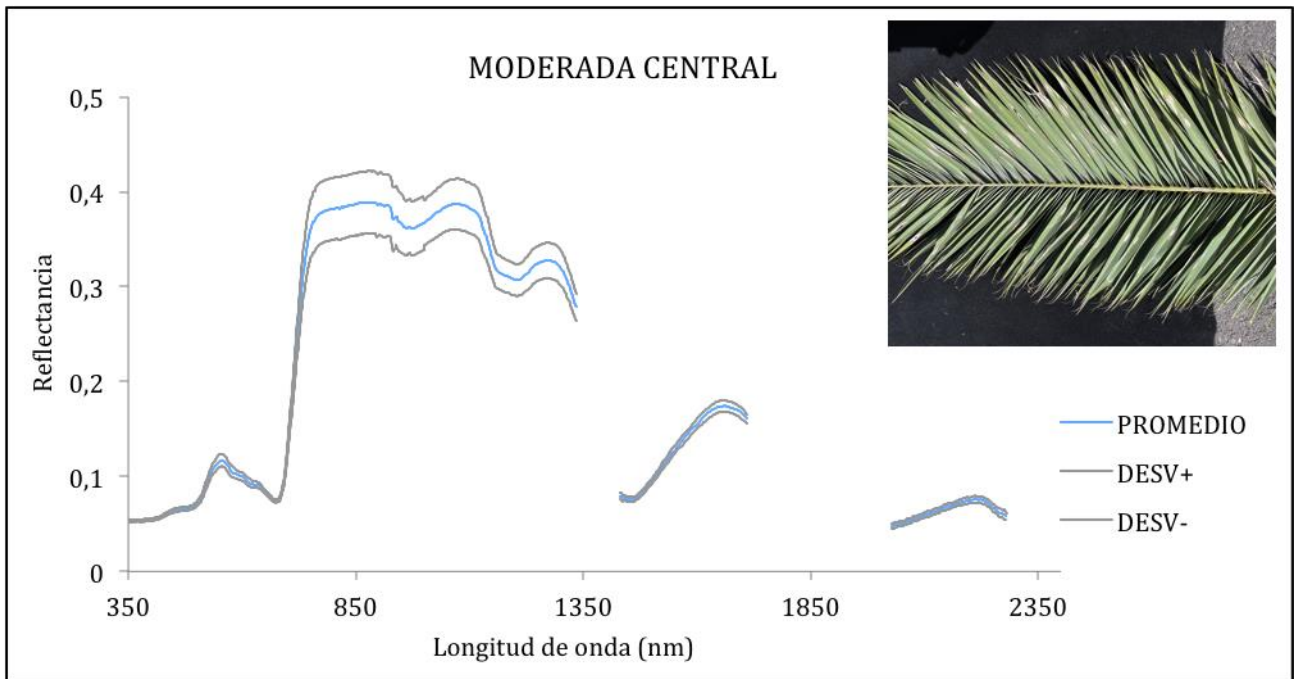


Figura 15. Firma espectral promedio de la parte central de la hoja de palmera moderadamente afectada (Hermigua).

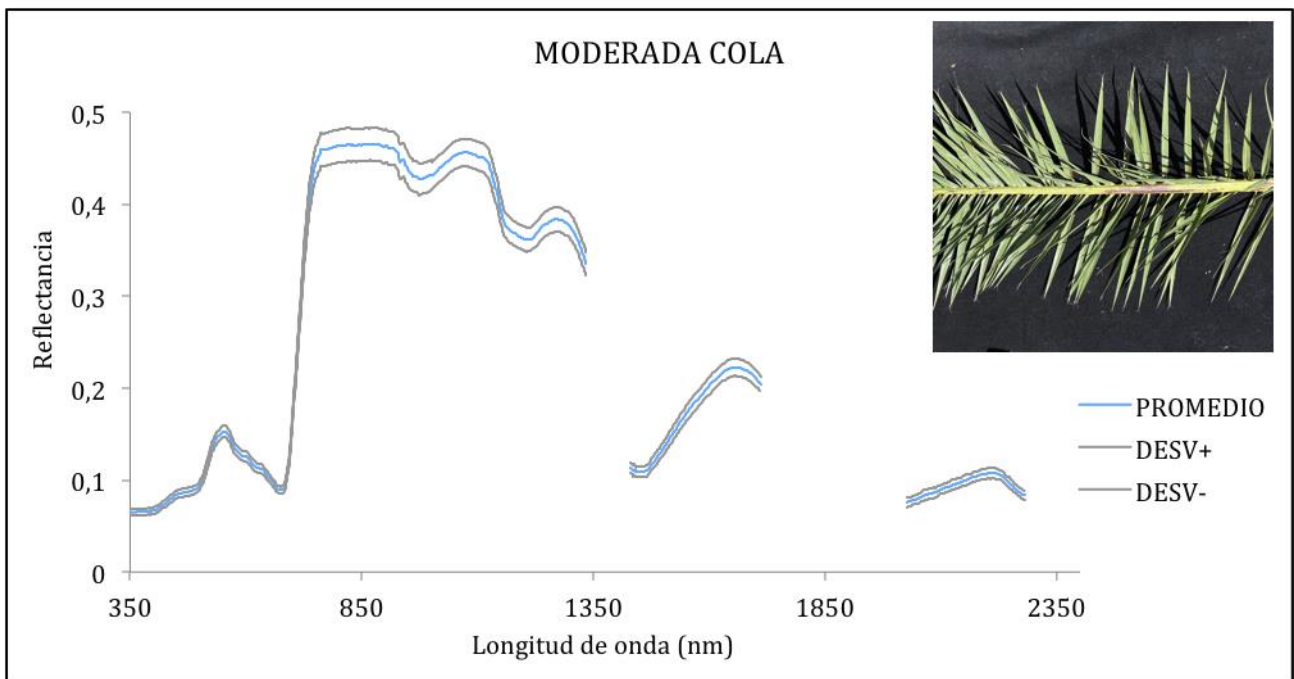


Figura 16. Firma espectral promedio de la base de la hoja de palmera moderadamente afectada (Hermigua).

Todas las firmas espectrales tienen una apariencia similar, a excepción de las correspondientes a los ápices de las dos hojas moderadamente afectadas. Se observa claramente la clorosis, o pérdida absoluta de clorofila, de acuerdo con la presencia de esta plaga, que provoca el cambio paulatino del color, desde el amarillo hasta el blanco en sus foliolos (Figuras 11 y 14). Sin duda, esta firma espectral se parece más a una firma espectral típica de un suelo que a la vegetación. Este hecho no se aprecia a simple vista para el ápice de la hoja levemente afectada de Chejelipes (Figura 8). Sin embargo, lejos de poder llegar a conclusiones sobre este hecho desde un punto de vista cualitativo, resulta imprescindible realizar más medidas en campo que permitan elaborar una librería espectral más completa que incluya patologías afecciones diferentes de la cochinilla roja y hojas de ejemplares de palmeras sanas en entornos naturales.

La siguiente tarea del presente proyecto consiste en la realización de un análisis de separabilidad espectral cuantitativo para estudiar en detalle las posibles diferencias entre todas las firmas espectrales, tanto considerando cada clase (moderada, leve o sana) como un todo, como considerando las secciones por separado para diferentes afecciones.

El análisis de separabilidad espectral se plantea específicamente para las bandas de reflectancia de la cámara multiespectral [Altum-Micasense](#) montada en el dron DJI Matrice 200 V2 propiedad de la Dirección General de Agricultura del Gobierno de Canarias.

5. REFERENCIAS

- Amira Hassan (2010). Spectral discrimination of palms (*Phoenix canariensis*) infested by the red palm weevil (*Rhynchophorus ferrugineus* Olivier, 1790) and palm localization by aerial photo-interpretation. Master Thesis. Mediterranean Agronomic Institute of Bari (Italy). 54 p
- Analytical Spectral Devices, Inc. (ASD) Technical Guide. 4th Edition. Editor: David C. Hatchell 1999. Boulder, CO 80301-2344, USA.
- ASD Inc, ASD Document 600545 Rev. RS3™ User Manual. E© 2008.
- Banco de datos de biodiversidad de Canarias. *Phoenicococcus marlatti* Cockerell, 1899. Disponible: <https://www.biodiversidadcanarias.es/biota/especie/A03988> (Acceso 13 Dic 2021).
- Bock, C. H., Parker, P. E., Cook, A. Z., and Gottwald, T. R., 2008. Visual rating and the use of image analysis for assessing different symptoms of citrus canker on grapefruit leaves. *Plant Dis.* 92:530-541.
- Labrador, M.; Guerra, J. A.; Rodríguez, X.; Arbelo, M.; Núñez, L.; Lorenzo, A.; Hernández, Alfonso Alonso, P. A.; Torres, M.; Idbraim, S.; Mammass, D.; Oudra, M., 2014. Caracterización de los agroecosistemas de palmera datilera en marruecos mediante técnicas de teledetección. Proyecto Palmera – POCTEFEX.
- Labrador-García, M.; Evora-Brondo, J. A.; Arbelo M.; Satélites de teledetección para la gestión del territorio. Proyecto SATELMAC. 2012. Disponible desde: https://www.researchgate.net/publication/259230060_Satelites_de_teledeteccion_para_la_gestion_del_territorio#fullTextFileContent [Acceso Dic 13 2021].
- Mahlein, A.K., 2015. Plant disease detection by imaging sensors – parallels and specific demands for precision agriculture and plant phenotyping. *Plant Dis.* 100, 241–251.
- Martinelli, F., Scalenghe, R., Davino, S., Panno, S., Scuderi, G., Ruisi, P., Villa, P., Stroppiana, D., Boschetti, M., Goulart, L.R., Davis, C.E., Dandekar, A.M., 2015. Advanced methods of plant disease detection. A review. *Agron. Sustain. Devel.* 35, 1–25.
- Moran, M.S., Inoue, Y., Barnes, E.M., 1997. Opportunities and limitations for image-based remote sensing in precision crop management. *Remote Sens. Environ.* 61, 319–346.
- Nutter, F. W., Jr., 2001. Disease assessment terms and concepts. Pages 312-323 in: *Encyclopedia of Plant Pathology*. O. C. Maloy and T. D. Murray, eds. John Wiley and Sons, Inc., New York.
- Oerke, E.C., 2006. Crop losses to pests. *J. Agr. Sci-Cambridge.* 144, 31–43.

- Sankaran, S., Mishra, A., Ehsani, R., Davis, C., 2010. A review of advanced techniques for detecting plant diseases. *Comput. Electron. Agr.* 72, 1–13.
- Seelan, S.K., Laguette, S., Casady, G.M., Seielstad, G.A., 2003. Remote sensing applications for precision agriculture: A learning community approach. *Remote Sens. Environ.* 88, 157–169.
- Steddom, K., Bredehoeft, M. W., Khan, M., and Rush, C. M., 2005. Comparison of visual and multispectral radiometric disease evaluations of *Cercospora* leaf spot of sugar beet. *Plant Dis.* 89:153-158.
- Strange, R.N., Scott, P.R., 2005. Plant disease: a threat to global food security. *Annu. Rev. Phytopathol.* 43, 83–116.
- West, J.S., Bravo, C., Oberti, R., Lemaire, D., Moshou, D., McCartney, H.A., 2003. The potential of optical canopy measurement for targeted control of field crop diseases. *Annu. Rev. Phytopathol.* 41, 593–614.
- Zhang, J., Huang, J., Pu, R., González-Moreno, P., Yuan, L., Wu, K., Huang, W., 2019. Monitoring plant diseases and pests through remote sensing technology: A review. *Computers and Electronics in Agriculture* 165, 104943.

6. ANEXO

En este Anexo se presentan los valores de reflectancia medidos para las tres hojas (leve y moderada) en Chejelipes y Hermigua. No se han incluido los intervalos de longitudes de onda eliminados en el pre-procesamiento debido a ruido o bandas de absorción del vapor de agua.

λ (nm)	CHEJELIPES LEVE			CHEJELIPES MODERADA			HERMIGUA MODERADA		
	Ápice	Central	Cola	Ápice	Central	Cola	Ápice	Central	Cola
350	0,0596	0,0525	0,0356	0,0252	0,0538	0,0659	0,0204	0,0760	0,0864
351	0,0595	0,0525	0,0359	0,0247	0,0536	0,0656	0,0200	0,0762	0,0869
352	0,0598	0,0521	0,0356	0,0248	0,0536	0,0653	0,0201	0,0765	0,0869
353	0,0602	0,0518	0,0353	0,0252	0,0536	0,0651	0,0206	0,0767	0,0872
354	0,0600	0,0524	0,0357	0,0253	0,0539	0,0652	0,0205	0,0762	0,0867
355	0,0599	0,0525	0,0357	0,0249	0,0537	0,0651	0,0202	0,0761	0,0865
356	0,0598	0,0523	0,0355	0,0248	0,0534	0,0649	0,0201	0,0762	0,0864
357	0,0599	0,0521	0,0353	0,0251	0,0533	0,0647	0,0203	0,0760	0,0864
358	0,0602	0,0520	0,0353	0,0252	0,0533	0,0650	0,0204	0,0760	0,0861
359	0,0603	0,0520	0,0352	0,0252	0,0534	0,0652	0,0204	0,0759	0,0863
360	0,0602	0,0519	0,0349	0,0250	0,0536	0,0651	0,0203	0,0759	0,0867
361	0,0603	0,0516	0,0347	0,0252	0,0537	0,0651	0,0204	0,0763	0,0871
362	0,0605	0,0518	0,0349	0,0255	0,0534	0,0650	0,0207	0,0764	0,0870
363	0,0604	0,0521	0,0352	0,0257	0,0534	0,0650	0,0208	0,0763	0,0867
364	0,0601	0,0524	0,0355	0,0256	0,0536	0,0650	0,0207	0,0762	0,0868
365	0,0605	0,0523	0,0354	0,0257	0,0539	0,0653	0,0209	0,0765	0,0870
366	0,0609	0,0520	0,0351	0,0261	0,0536	0,0654	0,0212	0,0766	0,0871
367	0,0608	0,0517	0,0348	0,0264	0,0532	0,0654	0,0215	0,0765	0,0869
368	0,0603	0,0516	0,0348	0,0265	0,0534	0,0654	0,0216	0,0766	0,0872
369	0,0603	0,0520	0,0351	0,0265	0,0536	0,0652	0,0216	0,0766	0,0869
370	0,0603	0,0523	0,0353	0,0267	0,0537	0,0650	0,0218	0,0767	0,0868
371	0,0604	0,0521	0,0350	0,0271	0,0537	0,0652	0,0221	0,0769	0,0871
372	0,0609	0,0519	0,0348	0,0272	0,0536	0,0654	0,0222	0,0769	0,0870
373	0,0610	0,0520	0,0349	0,0274	0,0535	0,0654	0,0224	0,0769	0,0871
374	0,0607	0,0522	0,0352	0,0278	0,0535	0,0653	0,0226	0,0769	0,0872
375	0,0608	0,0524	0,0353	0,0283	0,0537	0,0654	0,0230	0,0767	0,0869
376	0,0612	0,0525	0,0354	0,0287	0,0537	0,0654	0,0234	0,0769	0,0870
377	0,0612	0,0524	0,0353	0,0292	0,0537	0,0653	0,0238	0,0773	0,0872
378	0,0608	0,0520	0,0348	0,0299	0,0537	0,0652	0,0245	0,0776	0,0875
379	0,0610	0,0522	0,0349	0,0303	0,0538	0,0654	0,0248	0,0774	0,0873
380	0,0614	0,0523	0,0350	0,0305	0,0537	0,0654	0,0249	0,0773	0,0871
381	0,0614	0,0524	0,0350	0,0307	0,0537	0,0652	0,0251	0,0773	0,0869
382	0,0613	0,0525	0,0351	0,0316	0,0535	0,0653	0,0258	0,0776	0,0872
383	0,0616	0,0526	0,0352	0,0325	0,0537	0,0657	0,0267	0,0780	0,0873
384	0,0617	0,0527	0,0354	0,0331	0,0539	0,0658	0,0272	0,0783	0,0877
385	0,0613	0,0527	0,0355	0,0334	0,0539	0,0656	0,0275	0,0784	0,0880
386	0,0615	0,0529	0,0355	0,0339	0,0540	0,0657	0,0278	0,0781	0,0876
387	0,0617	0,0529	0,0355	0,0347	0,0541	0,0656	0,0284	0,0780	0,0875
388	0,0618	0,0527	0,0354	0,0355	0,0541	0,0655	0,0291	0,0782	0,0875
389	0,0623	0,0526	0,0352	0,0360	0,0542	0,0659	0,0297	0,0787	0,0878
390	0,0624	0,0528	0,0355	0,0368	0,0542	0,0659	0,0303	0,0788	0,0878
391	0,0623	0,0531	0,0358	0,0376	0,0541	0,0657	0,0310	0,0787	0,0876
392	0,0622	0,0531	0,0358	0,0385	0,0538	0,0658	0,0317	0,0787	0,0873
393	0,0623	0,0532	0,0357	0,0393	0,0539	0,0660	0,0324	0,0789	0,0873
394	0,0623	0,0531	0,0356	0,0402	0,0540	0,0661	0,0331	0,0792	0,0877
395	0,0623	0,0532	0,0357	0,0411	0,0541	0,0661	0,0339	0,0793	0,0879
396	0,0626	0,0534	0,0357	0,0421	0,0540	0,0664	0,0347	0,0795	0,0881
397	0,0626	0,0535	0,0358	0,0428	0,0541	0,0667	0,0353	0,0796	0,0882
398	0,0627	0,0534	0,0358	0,0436	0,0542	0,0666	0,0359	0,0797	0,0885
399	0,0630	0,0534	0,0357	0,0444	0,0542	0,0665	0,0366	0,0799	0,0887
400	0,0632	0,0534	0,0357	0,0451	0,0544	0,0667	0,0372	0,0800	0,0886

EVALUACIÓN DE NUEVAS TECNOLOGÍAS PARA LA DETECCIÓN DE PATOLOGÍAS- AFECCIONES EN PALMERAS

401	0,0632	0,0535	0,0358	0,0459	0,0545	0,0667	0,0379	0,0801	0,0885
402	0,0632	0,0536	0,0359	0,0469	0,0545	0,0667	0,0387	0,0802	0,0885
403	0,0633	0,0537	0,0359	0,0480	0,0543	0,0670	0,0396	0,0804	0,0887
404	0,0633	0,0538	0,0360	0,0490	0,0543	0,0673	0,0405	0,0805	0,0886
405	0,0634	0,0539	0,0362	0,0500	0,0545	0,0674	0,0413	0,0806	0,0887
406	0,0635	0,0539	0,0362	0,0511	0,0549	0,0675	0,0422	0,0809	0,0890
407	0,0638	0,0540	0,0362	0,0523	0,0549	0,0678	0,0433	0,0810	0,0893
408	0,0638	0,0544	0,0365	0,0534	0,0550	0,0681	0,0442	0,0812	0,0894
409	0,0637	0,0547	0,0368	0,0544	0,0552	0,0684	0,0450	0,0815	0,0895
410	0,0640	0,0545	0,0367	0,0554	0,0553	0,0687	0,0458	0,0817	0,0899
411	0,0642	0,0547	0,0369	0,0565	0,0554	0,0689	0,0467	0,0820	0,0899
412	0,0644	0,0550	0,0371	0,0577	0,0555	0,0692	0,0477	0,0823	0,0900
413	0,0647	0,0552	0,0373	0,0589	0,0556	0,0695	0,0488	0,0826	0,0904
414	0,0648	0,0552	0,0373	0,0600	0,0558	0,0699	0,0497	0,0830	0,0905
415	0,0650	0,0554	0,0375	0,0611	0,0561	0,0704	0,0506	0,0833	0,0908
416	0,0652	0,0557	0,0379	0,0622	0,0562	0,0708	0,0515	0,0836	0,0911
417	0,0654	0,0560	0,0381	0,0634	0,0564	0,0712	0,0525	0,0840	0,0913
418	0,0656	0,0563	0,0384	0,0646	0,0566	0,0715	0,0535	0,0845	0,0916
419	0,0658	0,0565	0,0386	0,0658	0,0568	0,0719	0,0545	0,0849	0,0919
420	0,0660	0,0567	0,0388	0,0669	0,0572	0,0724	0,0554	0,0852	0,0922
421	0,0663	0,0568	0,0388	0,0680	0,0574	0,0728	0,0563	0,0857	0,0925
422	0,0666	0,0571	0,0391	0,0690	0,0576	0,0733	0,0572	0,0862	0,0928
423	0,0668	0,0575	0,0395	0,0702	0,0579	0,0737	0,0581	0,0866	0,0931
424	0,0672	0,0576	0,0396	0,0714	0,0582	0,0742	0,0591	0,0871	0,0934
425	0,0675	0,0578	0,0399	0,0725	0,0585	0,0746	0,0601	0,0876	0,0936
426	0,0678	0,0582	0,0401	0,0736	0,0588	0,0749	0,0611	0,0882	0,0939
427	0,0680	0,0585	0,0403	0,0748	0,0590	0,0754	0,0620	0,0888	0,0943
428	0,0683	0,0587	0,0406	0,0760	0,0592	0,0759	0,0631	0,0894	0,0946
429	0,0686	0,0592	0,0410	0,0771	0,0594	0,0763	0,0640	0,0900	0,0951
430	0,0690	0,0596	0,0413	0,0781	0,0598	0,0767	0,0648	0,0905	0,0955
431	0,0693	0,0597	0,0414	0,0792	0,0601	0,0772	0,0657	0,0910	0,0958
432	0,0696	0,0599	0,0416	0,0803	0,0603	0,0776	0,0666	0,0914	0,0962
433	0,0698	0,0601	0,0418	0,0813	0,0606	0,0780	0,0674	0,0919	0,0965
434	0,0701	0,0604	0,0420	0,0822	0,0609	0,0784	0,0682	0,0925	0,0968
435	0,0704	0,0607	0,0423	0,0831	0,0610	0,0786	0,0690	0,0929	0,0970
436	0,0706	0,0610	0,0425	0,0841	0,0613	0,0790	0,0698	0,0934	0,0974
437	0,0708	0,0612	0,0426	0,0850	0,0615	0,0794	0,0706	0,0939	0,0977
438	0,0711	0,0614	0,0428	0,0860	0,0617	0,0797	0,0714	0,0944	0,0979
439	0,0715	0,0616	0,0430	0,0869	0,0619	0,0800	0,0722	0,0948	0,0982
440	0,0717	0,0619	0,0432	0,0878	0,0621	0,0804	0,0729	0,0952	0,0985
441	0,0719	0,0622	0,0435	0,0886	0,0622	0,0808	0,0735	0,0955	0,0987
442	0,0721	0,0624	0,0437	0,0894	0,0625	0,0811	0,0742	0,0960	0,0990
443	0,0724	0,0626	0,0439	0,0904	0,0627	0,0815	0,0750	0,0963	0,0992
444	0,0727	0,0628	0,0441	0,0913	0,0629	0,0818	0,0758	0,0967	0,0994
445	0,0730	0,0630	0,0442	0,0921	0,0630	0,0822	0,0765	0,0972	0,0998
446	0,0732	0,0632	0,0444	0,0929	0,0632	0,0826	0,0771	0,0977	0,1001
447	0,0734	0,0634	0,0446	0,0937	0,0635	0,0830	0,0778	0,0980	0,1004
448	0,0736	0,0636	0,0447	0,0946	0,0636	0,0834	0,0785	0,0983	0,1006
449	0,0739	0,0637	0,0449	0,0954	0,0638	0,0837	0,0792	0,0986	0,1008
450	0,0741	0,0639	0,0451	0,0962	0,0640	0,0839	0,0799	0,0989	0,1010
451	0,0742	0,0641	0,0453	0,0970	0,0641	0,0842	0,0806	0,0992	0,1011
452	0,0744	0,0643	0,0454	0,0978	0,0642	0,0845	0,0812	0,0995	0,1013
453	0,0745	0,0644	0,0455	0,0986	0,0643	0,0847	0,0819	0,0998	0,1014
454	0,0747	0,0645	0,0456	0,0994	0,0645	0,0850	0,0826	0,1000	0,1016
455	0,0749	0,0647	0,0457	0,1002	0,0646	0,0852	0,0833	0,1003	0,1019
456	0,0751	0,0647	0,0458	0,1010	0,0647	0,0854	0,0839	0,1006	0,1020
457	0,0752	0,0649	0,0459	0,1017	0,0648	0,0856	0,0845	0,1007	0,1021
458	0,0753	0,0650	0,0460	0,1024	0,0649	0,0857	0,0851	0,1009	0,1022
459	0,0754	0,0651	0,0461	0,1032	0,0650	0,0858	0,0858	0,1011	0,1024
460	0,0756	0,0653	0,0462	0,1040	0,0651	0,0859	0,0864	0,1012	0,1025
461	0,0757	0,0654	0,0462	0,1047	0,0652	0,0860	0,0871	0,1014	0,1026
462	0,0757	0,0654	0,0463	0,1055	0,0653	0,0861	0,0877	0,1016	0,1027
463	0,0760	0,0654	0,0462	0,1062	0,0653	0,0862	0,0883	0,1017	0,1027
464	0,0762	0,0655	0,0463	0,1069	0,0654	0,0862	0,0889	0,1019	0,1028
465	0,0763	0,0657	0,0464	0,1076	0,0655	0,0863	0,0895	0,1020	0,1029
466	0,0764	0,0658	0,0465	0,1083	0,0656	0,0864	0,0901	0,1021	0,1029

EVALUACIÓN DE NUEVAS TECNOLOGÍAS PARA LA DETECCIÓN DE PATOLOGÍAS- AFECCIONES EN PALMERAS

467	0,0765	0,0658	0,0465	0,1090	0,0657	0,0865	0,0907	0,1023	0,1031
468	0,0766	0,0659	0,0466	0,1097	0,0657	0,0865	0,0913	0,1025	0,1032
469	0,0769	0,0660	0,0466	0,1104	0,0658	0,0867	0,0919	0,1026	0,1033
470	0,0769	0,0661	0,0467	0,1111	0,0660	0,0868	0,0925	0,1026	0,1033
471	0,0771	0,0661	0,0467	0,1118	0,0660	0,0870	0,0930	0,1028	0,1034
472	0,0772	0,0661	0,0467	0,1125	0,0661	0,0871	0,0936	0,1029	0,1035
473	0,0773	0,0662	0,0467	0,1132	0,0661	0,0872	0,0942	0,1031	0,1037
474	0,0774	0,0663	0,0468	0,1138	0,0661	0,0872	0,0947	0,1031	0,1037
475	0,0775	0,0663	0,0468	0,1144	0,0662	0,0873	0,0952	0,1032	0,1036
476	0,0777	0,0664	0,0469	0,1149	0,0662	0,0874	0,0956	0,1032	0,1037
477	0,0776	0,0664	0,0469	0,1156	0,0663	0,0875	0,0962	0,1034	0,1039
478	0,0778	0,0665	0,0470	0,1163	0,0664	0,0876	0,0968	0,1035	0,1040
479	0,0779	0,0667	0,0471	0,1170	0,0664	0,0876	0,0973	0,1036	0,1042
480	0,0779	0,0668	0,0472	0,1175	0,0664	0,0878	0,0978	0,1037	0,1042
481	0,0779	0,0667	0,0471	0,1180	0,0665	0,0880	0,0982	0,1038	0,1043
482	0,0780	0,0668	0,0472	0,1186	0,0666	0,0881	0,0987	0,1039	0,1043
483	0,0782	0,0669	0,0473	0,1192	0,0666	0,0881	0,0993	0,1040	0,1043
484	0,0784	0,0671	0,0475	0,1199	0,0667	0,0881	0,0999	0,1042	0,1044
485	0,0786	0,0671	0,0475	0,1205	0,0668	0,0882	0,1004	0,1044	0,1046
486	0,0786	0,0671	0,0474	0,1211	0,0670	0,0884	0,1009	0,1046	0,1047
487	0,0788	0,0673	0,0476	0,1217	0,0671	0,0888	0,1014	0,1047	0,1048
488	0,0790	0,0674	0,0477	0,1223	0,0673	0,0890	0,1019	0,1049	0,1050
489	0,0792	0,0676	0,0478	0,1229	0,0674	0,0892	0,1024	0,1051	0,1052
490	0,0793	0,0678	0,0480	0,1235	0,0675	0,0894	0,1029	0,1053	0,1054
491	0,0794	0,0681	0,0482	0,1241	0,0677	0,0897	0,1033	0,1055	0,1055
492	0,0796	0,0682	0,0484	0,1246	0,0679	0,0901	0,1038	0,1058	0,1057
493	0,0799	0,0685	0,0485	0,1252	0,0681	0,0904	0,1043	0,1061	0,1061
494	0,0802	0,0688	0,0488	0,1257	0,0684	0,0908	0,1047	0,1065	0,1064
495	0,0805	0,0691	0,0491	0,1263	0,0687	0,0913	0,1052	0,1069	0,1067
496	0,0808	0,0694	0,0494	0,1269	0,0690	0,0918	0,1057	0,1073	0,1070
497	0,0811	0,0697	0,0497	0,1274	0,0694	0,0924	0,1062	0,1077	0,1074
498	0,0815	0,0701	0,0500	0,1281	0,0697	0,0930	0,1067	0,1082	0,1078
499	0,0819	0,0705	0,0504	0,1286	0,0700	0,0936	0,1072	0,1087	0,1082
500	0,0823	0,0710	0,0509	0,1292	0,0704	0,0944	0,1077	0,1093	0,1087
501	0,0828	0,0714	0,0512	0,1297	0,0710	0,0953	0,1081	0,1100	0,1092
502	0,0834	0,0719	0,0517	0,1303	0,0716	0,0962	0,1086	0,1107	0,1098
503	0,0839	0,0725	0,0522	0,1308	0,0721	0,0971	0,1090	0,1113	0,1104
504	0,0844	0,0732	0,0529	0,1313	0,0727	0,0981	0,1095	0,1120	0,1111
505	0,0850	0,0738	0,0535	0,1320	0,0733	0,0992	0,1100	0,1129	0,1119
506	0,0857	0,0745	0,0541	0,1325	0,0740	0,1003	0,1104	0,1137	0,1126
507	0,0863	0,0753	0,0549	0,1329	0,0748	0,1015	0,1108	0,1145	0,1132
508	0,0870	0,0762	0,0557	0,1335	0,0755	0,1028	0,1113	0,1155	0,1141
509	0,0878	0,0770	0,0565	0,1341	0,0763	0,1041	0,1118	0,1165	0,1151
510	0,0886	0,0778	0,0572	0,1346	0,0773	0,1056	0,1122	0,1176	0,1161
511	0,0894	0,0787	0,0581	0,1350	0,0783	0,1071	0,1126	0,1187	0,1171
512	0,0903	0,0799	0,0592	0,1356	0,0793	0,1086	0,1131	0,1199	0,1181
513	0,0914	0,0809	0,0601	0,1362	0,0804	0,1102	0,1136	0,1211	0,1192
514	0,0924	0,0819	0,0610	0,1368	0,0815	0,1120	0,1141	0,1224	0,1203
515	0,0934	0,0830	0,0621	0,1373	0,0827	0,1138	0,1145	0,1238	0,1214
516	0,0946	0,0844	0,0634	0,1379	0,0840	0,1156	0,1150	0,1252	0,1226
517	0,0959	0,0856	0,0646	0,1385	0,0853	0,1175	0,1156	0,1268	0,1240
518	0,0972	0,0869	0,0657	0,1391	0,0867	0,1195	0,1160	0,1284	0,1255
519	0,0984	0,0883	0,0669	0,1397	0,0880	0,1215	0,1165	0,1299	0,1270
520	0,0997	0,0895	0,0681	0,1402	0,0894	0,1233	0,1169	0,1313	0,1282
521	0,1010	0,0908	0,0692	0,1407	0,0908	0,1251	0,1173	0,1328	0,1295
522	0,1023	0,0920	0,0703	0,1412	0,0921	0,1269	0,1178	0,1343	0,1309
523	0,1036	0,0933	0,0715	0,1417	0,0936	0,1288	0,1182	0,1359	0,1323
524	0,1049	0,0946	0,0726	0,1423	0,0949	0,1305	0,1187	0,1373	0,1335
525	0,1063	0,0958	0,0738	0,1429	0,0962	0,1321	0,1192	0,1387	0,1347
526	0,1076	0,0971	0,0749	0,1435	0,0976	0,1337	0,1197	0,1402	0,1359
527	0,1090	0,0982	0,0759	0,1440	0,0988	0,1353	0,1201	0,1415	0,1371
528	0,1103	0,0993	0,0768	0,1445	0,1000	0,1369	0,1206	0,1428	0,1383
529	0,1115	0,1004	0,0777	0,1450	0,1012	0,1382	0,1210	0,1440	0,1394
530	0,1128	0,1014	0,0786	0,1456	0,1023	0,1393	0,1215	0,1451	0,1403
531	0,1140	0,1024	0,0794	0,1462	0,1033	0,1404	0,1220	0,1462	0,1412
532	0,1151	0,1033	0,0802	0,1467	0,1043	0,1415	0,1225	0,1472	0,1420

EVALUACIÓN DE NUEVAS TECNOLOGÍAS PARA LA DETECCIÓN DE PATOLOGÍAS- AFECCIONES EN PALMERAS

533	0,1162	0,1044	0,0811	0,1473	0,1054	0,1426	0,1229	0,1482	0,1429
534	0,1173	0,1051	0,0817	0,1479	0,1063	0,1435	0,1234	0,1491	0,1436
535	0,1183	0,1058	0,0822	0,1484	0,1071	0,1443	0,1239	0,1500	0,1444
536	0,1193	0,1065	0,0828	0,1490	0,1079	0,1451	0,1243	0,1508	0,1450
537	0,1202	0,1073	0,0834	0,1496	0,1087	0,1459	0,1248	0,1515	0,1457
538	0,1211	0,1079	0,0839	0,1502	0,1094	0,1466	0,1254	0,1523	0,1462
539	0,1220	0,1085	0,0844	0,1508	0,1101	0,1472	0,1259	0,1529	0,1468
540	0,1229	0,1091	0,0849	0,1514	0,1108	0,1477	0,1264	0,1536	0,1473
541	0,1237	0,1097	0,0853	0,1520	0,1115	0,1483	0,1269	0,1542	0,1478
542	0,1246	0,1103	0,0857	0,1525	0,1121	0,1489	0,1274	0,1548	0,1483
543	0,1254	0,1108	0,0862	0,1531	0,1127	0,1495	0,1278	0,1554	0,1488
544	0,1260	0,1114	0,0867	0,1537	0,1132	0,1500	0,1284	0,1560	0,1492
545	0,1268	0,1118	0,0870	0,1543	0,1138	0,1505	0,1288	0,1565	0,1496
546	0,1276	0,1123	0,0873	0,1548	0,1144	0,1509	0,1293	0,1570	0,1499
547	0,1283	0,1128	0,0878	0,1554	0,1149	0,1514	0,1298	0,1575	0,1503
548	0,1290	0,1133	0,0881	0,1560	0,1154	0,1519	0,1303	0,1580	0,1508
549	0,1296	0,1137	0,0884	0,1565	0,1158	0,1523	0,1307	0,1584	0,1511
550	0,1301	0,1140	0,0886	0,1571	0,1162	0,1526	0,1312	0,1587	0,1514
551	0,1306	0,1143	0,0889	0,1577	0,1165	0,1528	0,1317	0,1590	0,1516
552	0,1310	0,1146	0,0890	0,1582	0,1167	0,1530	0,1322	0,1592	0,1519
553	0,1314	0,1147	0,0891	0,1588	0,1169	0,1531	0,1326	0,1593	0,1520
554	0,1318	0,1148	0,0891	0,1593	0,1170	0,1530	0,1331	0,1593	0,1520
555	0,1321	0,1149	0,0891	0,1599	0,1170	0,1528	0,1336	0,1593	0,1519
556	0,1324	0,1148	0,0889	0,1605	0,1169	0,1526	0,1340	0,1591	0,1518
557	0,1326	0,1147	0,0888	0,1610	0,1167	0,1521	0,1345	0,1589	0,1515
558	0,1327	0,1145	0,0885	0,1616	0,1164	0,1517	0,1349	0,1585	0,1513
559	0,1327	0,1143	0,0883	0,1622	0,1161	0,1512	0,1354	0,1581	0,1509
560	0,1328	0,1141	0,0880	0,1628	0,1158	0,1506	0,1359	0,1577	0,1505
561	0,1328	0,1138	0,0876	0,1634	0,1155	0,1498	0,1364	0,1572	0,1501
562	0,1328	0,1135	0,0874	0,1639	0,1150	0,1491	0,1369	0,1566	0,1496
563	0,1328	0,1132	0,0870	0,1645	0,1145	0,1482	0,1374	0,1560	0,1489
564	0,1327	0,1127	0,0865	0,1651	0,1141	0,1473	0,1380	0,1553	0,1482
565	0,1327	0,1122	0,0860	0,1658	0,1136	0,1463	0,1385	0,1546	0,1475
566	0,1326	0,1117	0,0855	0,1664	0,1129	0,1453	0,1391	0,1539	0,1469
567	0,1324	0,1112	0,0849	0,1670	0,1123	0,1442	0,1396	0,1532	0,1461
568	0,1322	0,1106	0,0843	0,1676	0,1116	0,1430	0,1401	0,1524	0,1453
569	0,1320	0,1101	0,0837	0,1682	0,1109	0,1419	0,1406	0,1517	0,1446
570	0,1317	0,1095	0,0830	0,1687	0,1101	0,1407	0,1411	0,1508	0,1437
571	0,1314	0,1089	0,0824	0,1693	0,1094	0,1395	0,1416	0,1500	0,1429
572	0,1312	0,1084	0,0818	0,1697	0,1087	0,1384	0,1420	0,1492	0,1422
573	0,1309	0,1079	0,0813	0,1702	0,1080	0,1374	0,1424	0,1484	0,1414
574	0,1306	0,1074	0,0807	0,1708	0,1073	0,1364	0,1428	0,1476	0,1407
575	0,1303	0,1068	0,0801	0,1713	0,1067	0,1355	0,1433	0,1469	0,1401
576	0,1301	0,1064	0,0796	0,1719	0,1062	0,1347	0,1438	0,1463	0,1396
577	0,1298	0,1060	0,0792	0,1723	0,1057	0,1339	0,1442	0,1457	0,1390
578	0,1296	0,1056	0,0787	0,1728	0,1051	0,1332	0,1445	0,1452	0,1386
579	0,1294	0,1052	0,0783	0,1732	0,1046	0,1326	0,1449	0,1447	0,1383
580	0,1294	0,1049	0,0779	0,1737	0,1043	0,1320	0,1453	0,1442	0,1379
581	0,1292	0,1047	0,0776	0,1742	0,1040	0,1315	0,1457	0,1437	0,1375
582	0,1291	0,1044	0,0773	0,1747	0,1037	0,1309	0,1461	0,1434	0,1372
583	0,1291	0,1043	0,0771	0,1752	0,1033	0,1304	0,1465	0,1430	0,1369
584	0,1289	0,1040	0,0768	0,1758	0,1030	0,1299	0,1470	0,1426	0,1367
585	0,1288	0,1038	0,0765	0,1764	0,1028	0,1295	0,1475	0,1423	0,1364
586	0,1289	0,1035	0,0762	0,1769	0,1025	0,1291	0,1480	0,1420	0,1361
587	0,1288	0,1033	0,0759	0,1775	0,1022	0,1287	0,1485	0,1417	0,1358
588	0,1287	0,1030	0,0756	0,1781	0,1020	0,1283	0,1490	0,1415	0,1355
589	0,1287	0,1027	0,0753	0,1787	0,1017	0,1278	0,1495	0,1413	0,1353
590	0,1287	0,1026	0,0751	0,1792	0,1014	0,1274	0,1499	0,1411	0,1352
591	0,1287	0,1025	0,0749	0,1797	0,1013	0,1271	0,1503	0,1408	0,1350
592	0,1287	0,1024	0,0748	0,1801	0,1011	0,1268	0,1507	0,1406	0,1347
593	0,1287	0,1023	0,0747	0,1806	0,1009	0,1265	0,1511	0,1404	0,1345
594	0,1288	0,1023	0,0746	0,1811	0,1008	0,1263	0,1515	0,1403	0,1345
595	0,1288	0,1022	0,0744	0,1816	0,1007	0,1261	0,1519	0,1402	0,1345
596	0,1288	0,1022	0,0743	0,1820	0,1006	0,1260	0,1523	0,1400	0,1344
597	0,1288	0,1022	0,0744	0,1825	0,1005	0,1258	0,1527	0,1398	0,1342
598	0,1289	0,1021	0,0742	0,1831	0,1003	0,1257	0,1531	0,1396	0,1341

EVALUACIÓN DE NUEVAS TECNOLOGÍAS PARA LA DETECCIÓN DE PATOLOGÍAS- AFECCIONES EN PALMERAS

599	0,1289	0,1020	0,0741	0,1836	0,1002	0,1254	0,1536	0,1394	0,1340
600	0,1289	0,1019	0,0740	0,1841	0,1001	0,1252	0,1540	0,1392	0,1338
601	0,1289	0,1018	0,0738	0,1847	0,0999	0,1249	0,1544	0,1390	0,1336
602	0,1289	0,1016	0,0736	0,1853	0,0997	0,1246	0,1549	0,1388	0,1333
603	0,1288	0,1014	0,0734	0,1858	0,0994	0,1242	0,1554	0,1385	0,1331
604	0,1286	0,1012	0,0732	0,1863	0,0990	0,1237	0,1559	0,1381	0,1328
605	0,1284	0,1008	0,0729	0,1869	0,0987	0,1232	0,1564	0,1378	0,1324
606	0,1281	0,1005	0,0726	0,1874	0,0983	0,1226	0,1568	0,1374	0,1320
607	0,1278	0,1002	0,0723	0,1879	0,0979	0,1220	0,1573	0,1369	0,1315
608	0,1276	0,0997	0,0719	0,1884	0,0974	0,1213	0,1577	0,1364	0,1310
609	0,1273	0,0993	0,0715	0,1890	0,0970	0,1207	0,1582	0,1360	0,1306
610	0,1271	0,0989	0,0711	0,1895	0,0965	0,1200	0,1587	0,1355	0,1301
611	0,1268	0,0985	0,0707	0,1900	0,0960	0,1193	0,1591	0,1349	0,1296
612	0,1264	0,0981	0,0703	0,1906	0,0955	0,1187	0,1596	0,1344	0,1290
613	0,1261	0,0976	0,0699	0,1911	0,0950	0,1180	0,1600	0,1339	0,1285
614	0,1258	0,0973	0,0695	0,1916	0,0945	0,1173	0,1605	0,1334	0,1281
615	0,1256	0,0969	0,0692	0,1921	0,0941	0,1167	0,1609	0,1330	0,1277
616	0,1252	0,0965	0,0688	0,1927	0,0937	0,1162	0,1614	0,1326	0,1273
617	0,1249	0,0962	0,0684	0,1932	0,0934	0,1156	0,1619	0,1322	0,1269
618	0,1247	0,0959	0,0681	0,1937	0,0930	0,1150	0,1623	0,1318	0,1264
619	0,1245	0,0956	0,0679	0,1942	0,0927	0,1147	0,1627	0,1314	0,1262
620	0,1244	0,0954	0,0676	0,1948	0,0924	0,1143	0,1632	0,1311	0,1259
621	0,1244	0,0952	0,0674	0,1953	0,0922	0,1140	0,1636	0,1309	0,1257
622	0,1243	0,0950	0,0672	0,1958	0,0920	0,1137	0,1641	0,1308	0,1255
623	0,1242	0,0948	0,0671	0,1964	0,0918	0,1134	0,1646	0,1306	0,1253
624	0,1242	0,0947	0,0669	0,1969	0,0917	0,1133	0,1650	0,1304	0,1251
625	0,1242	0,0945	0,0668	0,1975	0,0916	0,1132	0,1655	0,1303	0,1250
626	0,1243	0,0945	0,0667	0,1981	0,0915	0,1130	0,1660	0,1302	0,1249
627	0,1243	0,0945	0,0666	0,1986	0,0914	0,1130	0,1665	0,1302	0,1249
628	0,1245	0,0944	0,0666	0,1992	0,0914	0,1129	0,1669	0,1302	0,1249
629	0,1246	0,0944	0,0666	0,1997	0,0914	0,1128	0,1674	0,1302	0,1248
630	0,1246	0,0944	0,0666	0,2002	0,0914	0,1127	0,1678	0,1301	0,1248
631	0,1247	0,0944	0,0665	0,2007	0,0914	0,1125	0,1682	0,1301	0,1247
632	0,1247	0,0943	0,0664	0,2012	0,0913	0,1124	0,1686	0,1300	0,1246
633	0,1246	0,0942	0,0663	0,2017	0,0911	0,1122	0,1691	0,1300	0,1245
634	0,1245	0,0941	0,0661	0,2022	0,0909	0,1120	0,1695	0,1299	0,1244
635	0,1244	0,0939	0,0660	0,2027	0,0908	0,1116	0,1699	0,1297	0,1242
636	0,1242	0,0937	0,0657	0,2031	0,0906	0,1112	0,1703	0,1296	0,1240
637	0,1238	0,0933	0,0654	0,2036	0,0903	0,1107	0,1708	0,1294	0,1237
638	0,1236	0,0930	0,0651	0,2041	0,0899	0,1101	0,1712	0,1291	0,1233
639	0,1232	0,0927	0,0648	0,2046	0,0895	0,1094	0,1716	0,1287	0,1230
640	0,1227	0,0923	0,0644	0,2050	0,0891	0,1087	0,1720	0,1284	0,1226
641	0,1221	0,0918	0,0639	0,2055	0,0886	0,1080	0,1724	0,1280	0,1222
642	0,1216	0,0912	0,0633	0,2060	0,0881	0,1073	0,1728	0,1276	0,1217
643	0,1211	0,0906	0,0628	0,2065	0,0876	0,1066	0,1733	0,1271	0,1212
644	0,1205	0,0900	0,0622	0,2071	0,0870	0,1058	0,1737	0,1267	0,1208
645	0,1199	0,0896	0,0618	0,2076	0,0864	0,1051	0,1742	0,1262	0,1202
646	0,1193	0,0890	0,0613	0,2082	0,0859	0,1044	0,1746	0,1256	0,1197
647	0,1188	0,0884	0,0608	0,2087	0,0854	0,1036	0,1751	0,1252	0,1192
648	0,1183	0,0879	0,0603	0,2092	0,0850	0,1030	0,1755	0,1247	0,1188
649	0,1180	0,0875	0,0599	0,2096	0,0845	0,1024	0,1759	0,1243	0,1184
650	0,1176	0,0872	0,0597	0,2100	0,0842	0,1019	0,1762	0,1239	0,1180
651	0,1172	0,0870	0,0595	0,2105	0,0838	0,1015	0,1767	0,1235	0,1177
652	0,1169	0,0867	0,0592	0,2110	0,0835	0,1010	0,1771	0,1230	0,1172
653	0,1166	0,0863	0,0589	0,2114	0,0831	0,1005	0,1774	0,1226	0,1168
654	0,1163	0,0860	0,0586	0,2119	0,0828	0,1001	0,1779	0,1223	0,1165
655	0,1159	0,0857	0,0583	0,2124	0,0824	0,0996	0,1784	0,1218	0,1161
656	0,1155	0,0853	0,0580	0,2129	0,0819	0,0990	0,1788	0,1212	0,1156
657	0,1149	0,0848	0,0575	0,2133	0,0814	0,0983	0,1791	0,1205	0,1150
658	0,1142	0,0842	0,0570	0,2137	0,0807	0,0976	0,1794	0,1199	0,1144
659	0,1136	0,0836	0,0565	0,2141	0,0801	0,0967	0,1798	0,1192	0,1139
660	0,1128	0,0829	0,0559	0,2145	0,0794	0,0959	0,1801	0,1185	0,1132
661	0,1119	0,0822	0,0553	0,2149	0,0788	0,0951	0,1805	0,1178	0,1126
662	0,1111	0,0817	0,0548	0,2154	0,0782	0,0943	0,1809	0,1171	0,1119
663	0,1104	0,0811	0,0543	0,2158	0,0776	0,0934	0,1812	0,1165	0,1114
664	0,1096	0,0804	0,0538	0,2162	0,0770	0,0926	0,1816	0,1159	0,1108

EVALUACIÓN DE NUEVAS TECNOLOGÍAS PARA LA DETECCIÓN DE PATOLOGÍAS- AFECCIONES EN PALMERAS

665	0,1089	0,0798	0,0532	0,2166	0,0765	0,0919	0,1820	0,1153	0,1103
666	0,1082	0,0793	0,0528	0,2170	0,0760	0,0913	0,1823	0,1148	0,1097
667	0,1076	0,0788	0,0524	0,2174	0,0755	0,0908	0,1827	0,1143	0,1094
668	0,1070	0,0785	0,0522	0,2179	0,0751	0,0903	0,1831	0,1140	0,1090
669	0,1066	0,0782	0,0519	0,2183	0,0749	0,0899	0,1835	0,1136	0,1086
670	0,1063	0,0778	0,0516	0,2187	0,0746	0,0896	0,1838	0,1134	0,1083
671	0,1062	0,0776	0,0514	0,2191	0,0744	0,0894	0,1841	0,1132	0,1081
672	0,1060	0,0775	0,0514	0,2196	0,0743	0,0891	0,1845	0,1131	0,1081
673	0,1058	0,0775	0,0514	0,2200	0,0743	0,0890	0,1849	0,1131	0,1081
674	0,1057	0,0774	0,0513	0,2205	0,0742	0,0890	0,1853	0,1130	0,1080
675	0,1058	0,0773	0,0513	0,2209	0,0742	0,0889	0,1857	0,1130	0,1080
676	0,1059	0,0774	0,0513	0,2213	0,0742	0,0890	0,1860	0,1132	0,1081
677	0,1059	0,0775	0,0514	0,2217	0,0743	0,0892	0,1864	0,1133	0,1082
678	0,1061	0,0776	0,0515	0,2221	0,0744	0,0894	0,1867	0,1135	0,1083
679	0,1065	0,0778	0,0516	0,2225	0,0746	0,0898	0,1871	0,1138	0,1086
680	0,1071	0,0782	0,0519	0,2230	0,0749	0,0901	0,1875	0,1142	0,1089
681	0,1079	0,0786	0,0523	0,2233	0,0754	0,0907	0,1878	0,1146	0,1094
682	0,1088	0,0793	0,0529	0,2238	0,0760	0,0915	0,1882	0,1153	0,1099
683	0,1100	0,0802	0,0536	0,2243	0,0768	0,0926	0,1886	0,1161	0,1106
684	0,1115	0,0813	0,0545	0,2247	0,0778	0,0940	0,1890	0,1171	0,1116
685	0,1135	0,0825	0,0556	0,2253	0,0791	0,0957	0,1895	0,1185	0,1128
686	0,1161	0,0841	0,0569	0,2261	0,0807	0,0979	0,1902	0,1202	0,1143
687	0,1191	0,0859	0,0585	0,2270	0,0827	0,1007	0,1910	0,1224	0,1162
688	0,1218	0,0879	0,0601	0,2274	0,0845	0,1032	0,1913	0,1242	0,1180
689	0,1247	0,0901	0,0621	0,2277	0,0865	0,1060	0,1916	0,1261	0,1199
690	0,1279	0,0926	0,0643	0,2281	0,0889	0,1091	0,1919	0,1284	0,1220
691	0,1313	0,0953	0,0667	0,2285	0,0915	0,1127	0,1922	0,1310	0,1244
692	0,1350	0,0981	0,0693	0,2290	0,0945	0,1168	0,1927	0,1339	0,1272
693	0,1391	0,1013	0,0722	0,2295	0,0979	0,1214	0,1931	0,1372	0,1303
694	0,1435	0,1049	0,0756	0,2299	0,1015	0,1265	0,1935	0,1409	0,1337
695	0,1480	0,1088	0,0791	0,2303	0,1055	0,1317	0,1938	0,1447	0,1374
696	0,1524	0,1128	0,0828	0,2307	0,1095	0,1372	0,1942	0,1488	0,1412
697	0,1569	0,1167	0,0865	0,2312	0,1137	0,1430	0,1946	0,1531	0,1452
698	0,1618	0,1210	0,0904	0,2318	0,1182	0,1493	0,1951	0,1580	0,1497
699	0,1668	0,1254	0,0945	0,2323	0,1231	0,1558	0,1956	0,1632	0,1544
700	0,1719	0,1300	0,0986	0,2328	0,1282	0,1626	0,1960	0,1686	0,1592
701	0,1770	0,1348	0,1029	0,2334	0,1333	0,1694	0,1965	0,1742	0,1642
702	0,1820	0,1397	0,1075	0,2338	0,1384	0,1763	0,1969	0,1799	0,1693
703	0,1869	0,1445	0,1117	0,2342	0,1436	0,1832	0,1972	0,1858	0,1744
704	0,1917	0,1491	0,1159	0,2346	0,1487	0,1899	0,1976	0,1918	0,1795
705	0,1965	0,1538	0,1201	0,2351	0,1540	0,1968	0,1980	0,1980	0,1848
706	0,2014	0,1585	0,1242	0,2355	0,1593	0,2038	0,1984	0,2043	0,1900
707	0,2061	0,1634	0,1285	0,2360	0,1645	0,2106	0,1988	0,2107	0,1953
708	0,2107	0,1683	0,1328	0,2364	0,1698	0,2175	0,1991	0,2173	0,2007
709	0,2154	0,1731	0,1370	0,2368	0,1752	0,2244	0,1995	0,2241	0,2063
710	0,2202	0,1780	0,1413	0,2373	0,1806	0,2313	0,1999	0,2310	0,2117
711	0,2249	0,1829	0,1456	0,2377	0,1860	0,2383	0,2003	0,2381	0,2173
712	0,2296	0,1878	0,1498	0,2381	0,1915	0,2453	0,2006	0,2454	0,2230
713	0,2344	0,1928	0,1540	0,2386	0,1970	0,2524	0,2010	0,2529	0,2286
714	0,2392	0,1976	0,1580	0,2391	0,2025	0,2596	0,2015	0,2605	0,2344
715	0,2440	0,2020	0,1618	0,2397	0,2079	0,2666	0,2020	0,2682	0,2401
716	0,2491	0,2065	0,1656	0,2404	0,2134	0,2739	0,2026	0,2762	0,2459
717	0,2544	0,2114	0,1696	0,2410	0,2192	0,2817	0,2032	0,2850	0,2523
718	0,2597	0,2168	0,1741	0,2416	0,2254	0,2897	0,2037	0,2943	0,2589
719	0,2648	0,2226	0,1787	0,2420	0,2318	0,2977	0,2040	0,3036	0,2656
720	0,2694	0,2284	0,1832	0,2422	0,2378	0,3050	0,2042	0,3126	0,2721
721	0,2736	0,2336	0,1875	0,2424	0,2432	0,3115	0,2044	0,3210	0,2779
722	0,2778	0,2382	0,1914	0,2428	0,2483	0,3179	0,2047	0,3293	0,2833
723	0,2825	0,2429	0,1953	0,2433	0,2538	0,3250	0,2052	0,3385	0,2893
724	0,2876	0,2481	0,1992	0,2437	0,2598	0,3326	0,2056	0,3485	0,2960
725	0,2923	0,2534	0,2033	0,2441	0,2656	0,3397	0,2059	0,3582	0,3024
726	0,2966	0,2585	0,2071	0,2445	0,2711	0,3464	0,2062	0,3676	0,3085
727	0,3008	0,2634	0,2109	0,2450	0,2764	0,3529	0,2066	0,3770	0,3143
728	0,3049	0,2683	0,2147	0,2452	0,2818	0,3592	0,2069	0,3865	0,3203
729	0,3089	0,2729	0,2181	0,2455	0,2869	0,3654	0,2071	0,3959	0,3261
730	0,3128	0,2778	0,2217	0,2457	0,2921	0,3714	0,2073	0,4053	0,3318

EVALUACIÓN DE NUEVAS TECNOLOGÍAS PARA LA DETECCIÓN DE PATOLOGÍAS- AFECCIONES EN PALMERAS

731	0,3164	0,2828	0,2254	0,2460	0,2972	0,3772	0,2076	0,4146	0,3374
732	0,3198	0,2876	0,2289	0,2461	0,3020	0,3824	0,2077	0,4236	0,3428
733	0,3230	0,2920	0,2321	0,2463	0,3065	0,3873	0,2078	0,4322	0,3477
734	0,3261	0,2959	0,2350	0,2465	0,3108	0,3921	0,2080	0,4406	0,3525
735	0,3293	0,2998	0,2377	0,2468	0,3149	0,3969	0,2083	0,4491	0,3573
736	0,3324	0,3037	0,2405	0,2471	0,3191	0,4015	0,2086	0,4575	0,3620
737	0,3353	0,3076	0,2431	0,2474	0,3230	0,4059	0,2088	0,4656	0,3665
738	0,3381	0,3111	0,2456	0,2476	0,3268	0,4100	0,2090	0,4734	0,3707
739	0,3408	0,3146	0,2480	0,2479	0,3305	0,4138	0,2092	0,4811	0,3750
740	0,3433	0,3179	0,2502	0,2481	0,3339	0,4174	0,2095	0,4885	0,3790
741	0,3456	0,3210	0,2523	0,2484	0,3371	0,4209	0,2097	0,4956	0,3828
742	0,3478	0,3240	0,2543	0,2486	0,3402	0,4241	0,2099	0,5024	0,3864
743	0,3501	0,3267	0,2560	0,2488	0,3431	0,4271	0,2101	0,5089	0,3898
744	0,3522	0,3292	0,2577	0,2490	0,3458	0,4299	0,2103	0,5151	0,3930
745	0,3541	0,3316	0,2592	0,2493	0,3484	0,4325	0,2106	0,5210	0,3960
746	0,3560	0,3339	0,2606	0,2496	0,3508	0,4350	0,2109	0,5267	0,3990
747	0,3578	0,3360	0,2619	0,2499	0,3530	0,4372	0,2111	0,5320	0,4017
748	0,3594	0,3380	0,2631	0,2501	0,3551	0,4393	0,2113	0,5370	0,4041
749	0,3610	0,3398	0,2643	0,2504	0,3570	0,4413	0,2115	0,5418	0,4066
750	0,3626	0,3415	0,2653	0,2506	0,3589	0,4431	0,2118	0,5462	0,4088
751	0,3641	0,3431	0,2662	0,2509	0,3606	0,4448	0,2120	0,5504	0,4108
752	0,3654	0,3445	0,2670	0,2512	0,3622	0,4463	0,2123	0,5543	0,4127
753	0,3666	0,3459	0,2678	0,2515	0,3636	0,4476	0,2125	0,5580	0,4147
754	0,3679	0,3471	0,2684	0,2517	0,3649	0,4489	0,2127	0,5613	0,4162
755	0,3692	0,3482	0,2690	0,2519	0,3663	0,4501	0,2130	0,5645	0,4178
756	0,3703	0,3494	0,2696	0,2522	0,3677	0,4514	0,2132	0,5676	0,4195
757	0,3716	0,3502	0,2701	0,2526	0,3689	0,4528	0,2135	0,5704	0,4212
758	0,3729	0,3495	0,2702	0,2533	0,3687	0,4534	0,2142	0,5718	0,4210
759	0,3744	0,3474	0,2693	0,2545	0,3679	0,4539	0,2154	0,5729	0,4200
760	0,3767	0,3451	0,2672	0,2560	0,3680	0,4558	0,2168	0,5758	0,4207
761	0,3796	0,3461	0,2654	0,2567	0,3710	0,4597	0,2171	0,5817	0,4270
762	0,3803	0,3470	0,2653	0,2568	0,3719	0,4605	0,2171	0,5843	0,4286
763	0,3802	0,3481	0,2663	0,2567	0,3722	0,4599	0,2171	0,5852	0,4282
764	0,3804	0,3504	0,2678	0,2565	0,3733	0,4599	0,2169	0,5866	0,4290
765	0,3802	0,3529	0,2696	0,2560	0,3744	0,4597	0,2165	0,5881	0,4300
766	0,3800	0,3548	0,2711	0,2556	0,3751	0,4594	0,2162	0,5891	0,4304
767	0,3800	0,3560	0,2723	0,2555	0,3756	0,4591	0,2161	0,5897	0,4304
768	0,3803	0,3569	0,2732	0,2555	0,3759	0,4589	0,2162	0,5903	0,4304
769	0,3806	0,3575	0,2739	0,2556	0,3762	0,4589	0,2163	0,5911	0,4306
770	0,3810	0,3581	0,2742	0,2558	0,3766	0,4590	0,2165	0,5919	0,4308
771	0,3814	0,3585	0,2745	0,2559	0,3769	0,4592	0,2166	0,5928	0,4311
772	0,3819	0,3588	0,2747	0,2562	0,3773	0,4595	0,2169	0,5937	0,4316
773	0,3824	0,3592	0,2750	0,2564	0,3775	0,4596	0,2171	0,5945	0,4319
774	0,3829	0,3596	0,2752	0,2566	0,3778	0,4596	0,2172	0,5952	0,4323
775	0,3834	0,3600	0,2754	0,2567	0,3781	0,4599	0,2174	0,5960	0,4327
776	0,3840	0,3602	0,2755	0,2569	0,3784	0,4601	0,2176	0,5967	0,4330
777	0,3845	0,3605	0,2756	0,2572	0,3786	0,4602	0,2178	0,5973	0,4332
778	0,3850	0,3607	0,2758	0,2575	0,3789	0,4604	0,2180	0,5979	0,4334
779	0,3855	0,3610	0,2759	0,2577	0,3790	0,4606	0,2183	0,5985	0,4338
780	0,3859	0,3613	0,2760	0,2578	0,3792	0,4608	0,2184	0,5991	0,4342
781	0,3863	0,3615	0,2762	0,2581	0,3794	0,4609	0,2186	0,5996	0,4345
782	0,3868	0,3617	0,2763	0,2584	0,3796	0,4610	0,2189	0,6001	0,4347
783	0,3873	0,3619	0,2764	0,2586	0,3798	0,4611	0,2191	0,6007	0,4349
784	0,3879	0,3620	0,2763	0,2588	0,3800	0,4614	0,2193	0,6012	0,4352
785	0,3884	0,3620	0,2762	0,2591	0,3802	0,4615	0,2195	0,6017	0,4356
786	0,3888	0,3621	0,2763	0,2593	0,3803	0,4616	0,2197	0,6021	0,4357
787	0,3894	0,3621	0,2763	0,2596	0,3803	0,4616	0,2200	0,6025	0,4359
788	0,3899	0,3621	0,2762	0,2599	0,3804	0,4618	0,2203	0,6028	0,4360
789	0,3904	0,3621	0,2762	0,2601	0,3806	0,4620	0,2205	0,6032	0,4362
790	0,3909	0,3624	0,2763	0,2603	0,3808	0,4622	0,2206	0,6037	0,4365
791	0,3913	0,3626	0,2764	0,2604	0,3810	0,4623	0,2208	0,6041	0,4367
792	0,3917	0,3630	0,2766	0,2607	0,3812	0,4624	0,2210	0,6045	0,4370
793	0,3920	0,3633	0,2768	0,2609	0,3814	0,4625	0,2212	0,6049	0,4372
794	0,3924	0,3635	0,2769	0,2611	0,3814	0,4627	0,2214	0,6053	0,4374
795	0,3930	0,3635	0,2769	0,2613	0,3815	0,4627	0,2216	0,6057	0,4376
796	0,3935	0,3636	0,2769	0,2616	0,3817	0,4629	0,2218	0,6061	0,4379

EVALUACIÓN DE NUEVAS TECNOLOGÍAS PARA LA DETECCIÓN DE PATOLOGÍAS- AFECCIONES EN PALMERAS

797	0,3939	0,3638	0,2770	0,2618	0,3819	0,4630	0,2220	0,6065	0,4382
798	0,3942	0,3639	0,2770	0,2619	0,3820	0,4630	0,2222	0,6068	0,4383
799	0,3947	0,3640	0,2770	0,2622	0,3820	0,4630	0,2224	0,6070	0,4383
800	0,3951	0,3640	0,2770	0,2625	0,3820	0,4631	0,2227	0,6073	0,4385
801	0,3956	0,3641	0,2770	0,2627	0,3822	0,4633	0,2229	0,6077	0,4388
802	0,3960	0,3643	0,2771	0,2629	0,3823	0,4634	0,2230	0,6081	0,4390
803	0,3964	0,3647	0,2773	0,2630	0,3825	0,4635	0,2232	0,6084	0,4391
804	0,3968	0,3650	0,2775	0,2632	0,3828	0,4636	0,2233	0,6088	0,4393
805	0,3971	0,3653	0,2777	0,2633	0,3830	0,4636	0,2235	0,6092	0,4396
806	0,3974	0,3656	0,2779	0,2635	0,3830	0,4637	0,2236	0,6095	0,4397
807	0,3978	0,3656	0,2779	0,2637	0,3830	0,4637	0,2238	0,6097	0,4397
808	0,3982	0,3654	0,2778	0,2640	0,3830	0,4637	0,2241	0,6099	0,4397
809	0,3987	0,3652	0,2776	0,2644	0,3829	0,4639	0,2244	0,6101	0,4398
810	0,3993	0,3649	0,2774	0,2646	0,3830	0,4640	0,2247	0,6104	0,4401
811	0,3999	0,3645	0,2771	0,2648	0,3830	0,4640	0,2248	0,6106	0,4403
812	0,4004	0,3640	0,2768	0,2650	0,3828	0,4640	0,2251	0,6108	0,4404
813	0,4008	0,3634	0,2764	0,2655	0,3826	0,4640	0,2255	0,6108	0,4402
814	0,4014	0,3630	0,2761	0,2658	0,3825	0,4642	0,2258	0,6111	0,4402
815	0,4020	0,3630	0,2759	0,2661	0,3825	0,4643	0,2261	0,6115	0,4404
816	0,4025	0,3632	0,2759	0,2663	0,3827	0,4645	0,2262	0,6119	0,4407
817	0,4028	0,3637	0,2760	0,2663	0,3831	0,4647	0,2262	0,6125	0,4411
818	0,4033	0,3645	0,2763	0,2664	0,3837	0,4651	0,2263	0,6133	0,4419
819	0,4037	0,3652	0,2766	0,2665	0,3842	0,4654	0,2264	0,6139	0,4427
820	0,4038	0,3654	0,2769	0,2667	0,3842	0,4653	0,2265	0,6141	0,4427
821	0,4037	0,3651	0,2770	0,2669	0,3836	0,4645	0,2268	0,6140	0,4417
822	0,4038	0,3650	0,2771	0,2671	0,3833	0,4642	0,2270	0,6141	0,4411
823	0,4043	0,3654	0,2772	0,2673	0,3837	0,4646	0,2272	0,6146	0,4419
824	0,4052	0,3662	0,2772	0,2674	0,3848	0,4655	0,2272	0,6156	0,4435
825	0,4053	0,3665	0,2774	0,2675	0,3848	0,4654	0,2273	0,6161	0,4437
826	0,4052	0,3664	0,2776	0,2677	0,3843	0,4647	0,2275	0,6160	0,4430
827	0,4053	0,3662	0,2778	0,2678	0,3840	0,4642	0,2276	0,6158	0,4423
828	0,4057	0,3662	0,2778	0,2680	0,3842	0,4643	0,2279	0,6160	0,4424
829	0,4059	0,3666	0,2778	0,2681	0,3844	0,4644	0,2280	0,6165	0,4428
830	0,4061	0,3669	0,2780	0,2682	0,3846	0,4644	0,2280	0,6170	0,4431
831	0,4064	0,3671	0,2781	0,2683	0,3847	0,4643	0,2282	0,6174	0,4432
832	0,4067	0,3675	0,2784	0,2685	0,3847	0,4642	0,2283	0,6176	0,4432
833	0,4069	0,3677	0,2785	0,2686	0,3849	0,4643	0,2284	0,6181	0,4435
834	0,4070	0,3681	0,2786	0,2686	0,3852	0,4643	0,2285	0,6186	0,4438
835	0,4072	0,3685	0,2789	0,2686	0,3854	0,4643	0,2285	0,6190	0,4439
836	0,4075	0,3687	0,2791	0,2689	0,3854	0,4642	0,2287	0,6193	0,4439
837	0,4077	0,3689	0,2793	0,2691	0,3855	0,4641	0,2289	0,6197	0,4440
838	0,4078	0,3692	0,2795	0,2692	0,3856	0,4641	0,2290	0,6200	0,4442
839	0,4080	0,3696	0,2797	0,2693	0,3858	0,4640	0,2290	0,6205	0,4443
840	0,4083	0,3698	0,2799	0,2694	0,3858	0,4641	0,2292	0,6208	0,4445
841	0,4086	0,3700	0,2801	0,2696	0,3859	0,4642	0,2294	0,6211	0,4445
842	0,4089	0,3702	0,2802	0,2697	0,3860	0,4641	0,2295	0,6215	0,4446
843	0,4092	0,3705	0,2805	0,2697	0,3863	0,4641	0,2296	0,6219	0,4448
844	0,4094	0,3707	0,2805	0,2699	0,3865	0,4642	0,2297	0,6224	0,4450
845	0,4097	0,3708	0,2806	0,2700	0,3866	0,4644	0,2298	0,6229	0,4453
846	0,4099	0,3710	0,2807	0,2702	0,3867	0,4645	0,2300	0,6234	0,4456
847	0,4101	0,3713	0,2810	0,2704	0,3867	0,4644	0,2301	0,6236	0,4456
848	0,4103	0,3715	0,2812	0,2705	0,3868	0,4643	0,2303	0,6238	0,4456
849	0,4107	0,3715	0,2812	0,2706	0,3869	0,4643	0,2304	0,6242	0,4457
850	0,4111	0,3715	0,2811	0,2707	0,3871	0,4645	0,2305	0,6246	0,4459
851	0,4113	0,3717	0,2813	0,2708	0,3871	0,4645	0,2306	0,6250	0,4463
852	0,4114	0,3717	0,2814	0,2710	0,3870	0,4643	0,2308	0,6253	0,4460
853	0,4115	0,3718	0,2815	0,2713	0,3868	0,4642	0,2311	0,6256	0,4457
854	0,4119	0,3720	0,2816	0,2714	0,3870	0,4644	0,2312	0,6260	0,4461
855	0,4126	0,3725	0,2817	0,2715	0,3877	0,4649	0,2313	0,6267	0,4471
856	0,4131	0,3728	0,2816	0,2716	0,3882	0,4653	0,2313	0,6275	0,4480
857	0,4132	0,3729	0,2816	0,2718	0,3882	0,4653	0,2314	0,6280	0,4481
858	0,4134	0,3729	0,2819	0,2719	0,3881	0,4650	0,2316	0,6280	0,4475
859	0,4135	0,3730	0,2820	0,2719	0,3880	0,4649	0,2317	0,6280	0,4475
860	0,4138	0,3732	0,2821	0,2719	0,3882	0,4650	0,2317	0,6283	0,4477
861	0,4142	0,3734	0,2822	0,2720	0,3883	0,4651	0,2318	0,6287	0,4479
862	0,4142	0,3737	0,2824	0,2724	0,3883	0,4650	0,2321	0,6290	0,4482

EVALUACIÓN DE NUEVAS TECNOLOGÍAS PARA LA DETECCIÓN DE PATOLOGÍAS- AFECCIONES EN PALMERAS

863	0,4145	0,3736	0,2824	0,2726	0,3882	0,4650	0,2323	0,6292	0,4479
864	0,4147	0,3734	0,2824	0,2727	0,3880	0,4648	0,2325	0,6293	0,4476
865	0,4147	0,3735	0,2826	0,2728	0,3880	0,4645	0,2326	0,6294	0,4476
866	0,4150	0,3737	0,2825	0,2729	0,3882	0,4646	0,2327	0,6298	0,4477
867	0,4153	0,3739	0,2824	0,2730	0,3885	0,4650	0,2327	0,6304	0,4485
868	0,4157	0,3741	0,2823	0,2730	0,3889	0,4654	0,2327	0,6310	0,4493
869	0,4161	0,3743	0,2824	0,2731	0,3891	0,4655	0,2328	0,6313	0,4493
870	0,4163	0,3742	0,2824	0,2733	0,3890	0,4653	0,2329	0,6316	0,4492
871	0,4164	0,3743	0,2825	0,2734	0,3888	0,4651	0,2330	0,6318	0,4491
872	0,4166	0,3744	0,2827	0,2734	0,3887	0,4650	0,2332	0,6320	0,4492
873	0,4170	0,3745	0,2828	0,2736	0,3888	0,4650	0,2333	0,6322	0,4493
874	0,4170	0,3746	0,2829	0,2737	0,3888	0,4650	0,2334	0,6324	0,4493
875	0,4173	0,3748	0,2830	0,2737	0,3888	0,4651	0,2334	0,6327	0,4495
876	0,4177	0,3749	0,2829	0,2737	0,3889	0,4652	0,2335	0,6328	0,4496
877	0,4177	0,3748	0,2827	0,2741	0,3891	0,4651	0,2338	0,6330	0,4495
878	0,4177	0,3747	0,2826	0,2742	0,3890	0,4649	0,2338	0,6332	0,4495
879	0,4178	0,3746	0,2826	0,2742	0,3890	0,4648	0,2339	0,6334	0,4497
880	0,4180	0,3746	0,2826	0,2743	0,3891	0,4647	0,2340	0,6336	0,4499
881	0,4183	0,3748	0,2826	0,2745	0,3891	0,4647	0,2342	0,6337	0,4498
882	0,4187	0,3749	0,2826	0,2747	0,3891	0,4648	0,2343	0,6341	0,4499
883	0,4189	0,3749	0,2827	0,2747	0,3890	0,4649	0,2344	0,6344	0,4501
884	0,4188	0,3750	0,2828	0,2748	0,3889	0,4647	0,2345	0,6345	0,4502
885	0,4189	0,3751	0,2829	0,2750	0,3889	0,4644	0,2347	0,6345	0,4499
886	0,4192	0,3747	0,2825	0,2751	0,3889	0,4643	0,2348	0,6345	0,4499
887	0,4193	0,3745	0,2823	0,2750	0,3890	0,4644	0,2347	0,6346	0,4503
888	0,4194	0,3748	0,2824	0,2750	0,3891	0,4645	0,2347	0,6350	0,4507
889	0,4198	0,3747	0,2823	0,2752	0,3890	0,4644	0,2349	0,6352	0,4508
890	0,4200	0,3743	0,2820	0,2753	0,3889	0,4643	0,2349	0,6352	0,4507
891	0,4202	0,3738	0,2817	0,2753	0,3887	0,4640	0,2350	0,6351	0,4503
892	0,4204	0,3732	0,2813	0,2757	0,3884	0,4635	0,2353	0,6349	0,4498
893	0,4201	0,3720	0,2806	0,2760	0,3879	0,4634	0,2356	0,6347	0,4496
894	0,4202	0,3713	0,2802	0,2761	0,3872	0,4632	0,2358	0,6345	0,4494
895	0,4206	0,3708	0,2801	0,2761	0,3866	0,4629	0,2359	0,6341	0,4489
896	0,4208	0,3703	0,2797	0,2761	0,3863	0,4623	0,2360	0,6338	0,4482
897	0,4207	0,3696	0,2791	0,2763	0,3859	0,4620	0,2362	0,6340	0,4482
898	0,4211	0,3693	0,2787	0,2765	0,3858	0,4621	0,2363	0,6341	0,4480
899	0,4216	0,3696	0,2787	0,2766	0,3861	0,4624	0,2363	0,6342	0,4482
900	0,4219	0,3702	0,2789	0,2766	0,3865	0,4625	0,2364	0,6349	0,4496
901	0,4222	0,3709	0,2789	0,2767	0,3872	0,4629	0,2363	0,6355	0,4506
902	0,4227	0,3714	0,2789	0,2768	0,3877	0,4635	0,2363	0,6359	0,4516
903	0,4230	0,3716	0,2789	0,2768	0,3879	0,4639	0,2363	0,6363	0,4523
904	0,4230	0,3714	0,2790	0,2766	0,3877	0,4637	0,2361	0,6363	0,4516
905	0,4227	0,3707	0,2788	0,2767	0,3871	0,4630	0,2363	0,6362	0,4506
906	0,4223	0,3699	0,2785	0,2769	0,3862	0,4620	0,2367	0,6357	0,4494
907	0,4221	0,3693	0,2784	0,2772	0,3854	0,4612	0,2370	0,6351	0,4484
908	0,4221	0,3688	0,2781	0,2772	0,3854	0,4612	0,2369	0,6347	0,4481
909	0,4226	0,3685	0,2776	0,2772	0,3856	0,4610	0,2370	0,6348	0,4485
910	0,4228	0,3685	0,2772	0,2773	0,3856	0,4612	0,2370	0,6351	0,4491
911	0,4229	0,3687	0,2772	0,2773	0,3854	0,4616	0,2369	0,6353	0,4493
912	0,4234	0,3685	0,2771	0,2775	0,3851	0,4612	0,2372	0,6356	0,4495
913	0,4233	0,3682	0,2771	0,2775	0,3850	0,4605	0,2372	0,6357	0,4494
914	0,4230	0,3680	0,2770	0,2775	0,3850	0,4599	0,2373	0,6357	0,4491
915	0,4229	0,3681	0,2768	0,2777	0,3852	0,4598	0,2375	0,6357	0,4488
916	0,4230	0,3686	0,2767	0,2778	0,3855	0,4604	0,2374	0,6358	0,4487
917	0,4231	0,3691	0,2770	0,2775	0,3858	0,4606	0,2372	0,6362	0,4493
918	0,4234	0,3695	0,2772	0,2775	0,3860	0,4606	0,2372	0,6366	0,4502
919	0,4238	0,3699	0,2770	0,2780	0,3863	0,4608	0,2375	0,6366	0,4508
920	0,4237	0,3701	0,2773	0,2779	0,3862	0,4605	0,2375	0,6364	0,4503
921	0,4232	0,3701	0,2775	0,2778	0,3858	0,4603	0,2373	0,6365	0,4499
922	0,4228	0,3696	0,2774	0,2778	0,3855	0,4598	0,2374	0,6364	0,4498
923	0,4230	0,3688	0,2770	0,2779	0,3853	0,4586	0,2375	0,6357	0,4497
924	0,4230	0,3682	0,2769	0,2777	0,3852	0,4583	0,2374	0,6352	0,4493
925	0,4232	0,3673	0,2761	0,2778	0,3847	0,4580	0,2375	0,6347	0,4492
926	0,4231	0,3658	0,2750	0,2780	0,3839	0,4575	0,2377	0,6339	0,4486
927	0,4216	0,3641	0,2742	0,2778	0,3826	0,4566	0,2376	0,6328	0,4468
928	0,4213	0,3621	0,2736	0,2779	0,3804	0,4548	0,2378	0,6314	0,4444

EVALUACIÓN DE NUEVAS TECNOLOGÍAS PARA LA DETECCIÓN DE PATOLOGÍAS- AFECCIONES EN PALMERAS

929	0,4202	0,3598	0,2730	0,2781	0,3777	0,4525	0,2382	0,6290	0,4417
930	0,4185	0,3569	0,2720	0,2782	0,3751	0,4500	0,2385	0,6264	0,4388
931	0,4179	0,3534	0,2695	0,2783	0,3729	0,4471	0,2387	0,6250	0,4358
932	0,4159	0,3506	0,2673	0,2779	0,3716	0,4456	0,2385	0,6231	0,4343
933	0,4151	0,3491	0,2659	0,2772	0,3710	0,4450	0,2380	0,6216	0,4330
934	0,4162	0,3487	0,2650	0,2762	0,3712	0,4452	0,2370	0,6213	0,4330
935	0,4170	0,3488	0,2636	0,2750	0,3724	0,4464	0,2358	0,6222	0,4364
936	0,4178	0,3498	0,2630	0,2751	0,3731	0,4469	0,2356	0,6240	0,4409
937	0,4188	0,3506	0,2627	0,2764	0,3737	0,4475	0,2364	0,6252	0,4440
938	0,4191	0,3513	0,2626	0,2774	0,3744	0,4483	0,2370	0,6251	0,4450
939	0,4177	0,3530	0,2633	0,2766	0,3751	0,4484	0,2362	0,6244	0,4443
940	0,4183	0,3535	0,2640	0,2770	0,3753	0,4486	0,2367	0,6249	0,4430
941	0,4180	0,3522	0,2636	0,2778	0,3738	0,4479	0,2375	0,6246	0,4408
942	0,4165	0,3497	0,2622	0,2778	0,3713	0,4459	0,2377	0,6231	0,4382
943	0,4159	0,3482	0,2612	0,2765	0,3699	0,4433	0,2369	0,6217	0,4358
944	0,4149	0,3475	0,2611	0,2766	0,3687	0,4420	0,2370	0,6201	0,4348
945	0,4143	0,3481	0,2624	0,2773	0,3683	0,4415	0,2374	0,6189	0,4351
946	0,4137	0,3494	0,2639	0,2777	0,3687	0,4412	0,2377	0,6183	0,4359
947	0,4121	0,3494	0,2631	0,2774	0,3685	0,4413	0,2373	0,6179	0,4362
948	0,4115	0,3481	0,2617	0,2763	0,3687	0,4398	0,2366	0,6176	0,4359
949	0,4110	0,3467	0,2601	0,2765	0,3683	0,4381	0,2367	0,6168	0,4346
950	0,4099	0,3462	0,2590	0,2778	0,3672	0,4375	0,2376	0,6155	0,4331
951	0,4090	0,3463	0,2592	0,2770	0,3665	0,4382	0,2371	0,6151	0,4335
952	0,4087	0,3465	0,2600	0,2771	0,3659	0,4361	0,2371	0,6140	0,4322
953	0,4075	0,3461	0,2602	0,2771	0,3652	0,4341	0,2370	0,6126	0,4311
954	0,4053	0,3450	0,2595	0,2768	0,3643	0,4340	0,2369	0,6114	0,4312
955	0,4047	0,3442	0,2586	0,2781	0,3634	0,4332	0,2379	0,6104	0,4294
956	0,4056	0,3442	0,2584	0,2778	0,3632	0,4325	0,2378	0,6095	0,4286
957	0,4056	0,3451	0,2590	0,2777	0,3629	0,4321	0,2377	0,6085	0,4285
958	0,4039	0,3462	0,2599	0,2785	0,3623	0,4319	0,2384	0,6076	0,4284
959	0,4031	0,3459	0,2602	0,2777	0,3620	0,4321	0,2377	0,6075	0,4288
960	0,4022	0,3450	0,2593	0,2776	0,3618	0,4313	0,2376	0,6073	0,4279
961	0,4021	0,3449	0,2589	0,2780	0,3617	0,4304	0,2379	0,6072	0,4273
962	0,4023	0,3459	0,2600	0,2783	0,3616	0,4301	0,2384	0,6071	0,4277
963	0,4004	0,3461	0,2600	0,2794	0,3615	0,4294	0,2391	0,6071	0,4272
964	0,4000	0,3467	0,2606	0,2789	0,3621	0,4296	0,2388	0,6072	0,4279
965	0,4008	0,3477	0,2615	0,2782	0,3627	0,4298	0,2381	0,6073	0,4287
966	0,4012	0,3483	0,2621	0,2784	0,3626	0,4295	0,2383	0,6070	0,4293
967	0,4001	0,3476	0,2614	0,2797	0,3632	0,4295	0,2393	0,6067	0,4298
968	0,3998	0,3479	0,2616	0,2791	0,3637	0,4295	0,2388	0,6068	0,4298
969	0,4001	0,3484	0,2622	0,2784	0,3634	0,4294	0,2382	0,6068	0,4297
970	0,4004	0,3484	0,2623	0,2791	0,3623	0,4289	0,2388	0,6066	0,4295
971	0,3999	0,3485	0,2627	0,2790	0,3616	0,4281	0,2389	0,6067	0,4289
972	0,3993	0,3484	0,2629	0,2789	0,3616	0,4277	0,2390	0,6067	0,4279
973	0,3985	0,3477	0,2625	0,2790	0,3616	0,4272	0,2391	0,6063	0,4266
974	0,3976	0,3467	0,2616	0,2793	0,3612	0,4261	0,2393	0,6055	0,4254
975	0,3977	0,3471	0,2624	0,2795	0,3616	0,4264	0,2395	0,6054	0,4256
976	0,3983	0,3476	0,2627	0,2794	0,3616	0,4267	0,2394	0,6054	0,4259
977	0,3987	0,3480	0,2626	0,2791	0,3616	0,4271	0,2390	0,6056	0,4262
978	0,3981	0,3484	0,2626	0,2788	0,3620	0,4278	0,2388	0,6062	0,4268
979	0,3985	0,3488	0,2629	0,2796	0,3618	0,4276	0,2393	0,6069	0,4276
980	0,3990	0,3494	0,2633	0,2797	0,3624	0,4278	0,2395	0,6073	0,4283
981	0,3994	0,3500	0,2637	0,2792	0,3630	0,4280	0,2391	0,6074	0,4290
982	0,3995	0,3502	0,2639	0,2786	0,3628	0,4279	0,2386	0,6074	0,4297
983	0,3994	0,3504	0,2635	0,2793	0,3630	0,4284	0,2393	0,6084	0,4298
984	0,3993	0,3510	0,2641	0,2789	0,3634	0,4287	0,2391	0,6091	0,4293
985	0,3993	0,3517	0,2650	0,2783	0,3640	0,4286	0,2387	0,6094	0,4293
986	0,3992	0,3522	0,2651	0,2791	0,3646	0,4285	0,2392	0,6099	0,4294
987	0,3991	0,3522	0,2652	0,2795	0,3644	0,4286	0,2396	0,6103	0,4297
988	0,4002	0,3523	0,2649	0,2795	0,3647	0,4288	0,2395	0,6106	0,4292
989	0,4012	0,3526	0,2650	0,2793	0,3649	0,4289	0,2393	0,6109	0,4287
990	0,4008	0,3531	0,2659	0,2794	0,3645	0,4289	0,2393	0,6113	0,4304
991	0,4004	0,3535	0,2662	0,2794	0,3653	0,4295	0,2395	0,6120	0,4307
992	0,4005	0,3540	0,2667	0,2791	0,3654	0,4299	0,2392	0,6124	0,4306
993	0,4012	0,3544	0,2672	0,2786	0,3651	0,4299	0,2388	0,6128	0,4309
994	0,4020	0,3546	0,2670	0,2785	0,3655	0,4300	0,2388	0,6137	0,4316

EVALUACIÓN DE NUEVAS TECNOLOGÍAS PARA LA DETECCIÓN DE PATOLOGÍAS- AFECCIONES EN PALMERAS

995	0,4023	0,3544	0,2666	0,2799	0,3659	0,4300	0,2398	0,6140	0,4309
996	0,4027	0,3550	0,2669	0,2803	0,3664	0,4305	0,2401	0,6141	0,4313
997	0,4030	0,3561	0,2676	0,2797	0,3666	0,4310	0,2398	0,6145	0,4321
998	0,4028	0,3564	0,2677	0,2795	0,3665	0,4309	0,2395	0,6150	0,4318
999	0,4031	0,3562	0,2677	0,2792	0,3670	0,4309	0,2392	0,6150	0,4313
1000	0,4033	0,3561	0,2672	0,2790	0,3671	0,4311	0,2391	0,6156	0,4316
1001	0,4033	0,3561	0,2672	0,2790	0,3671	0,4311	0,2391	0,6156	0,4316
1002	0,4039	0,3566	0,2675	0,2791	0,3674	0,4315	0,2392	0,6162	0,4321
1003	0,4044	0,3571	0,2679	0,2791	0,3678	0,4318	0,2393	0,6169	0,4327
1004	0,4048	0,3575	0,2682	0,2792	0,3682	0,4322	0,2393	0,6175	0,4331
1005	0,4052	0,3578	0,2683	0,2791	0,3686	0,4328	0,2392	0,6182	0,4333
1006	0,4056	0,3582	0,2686	0,2791	0,3690	0,4332	0,2393	0,6189	0,4336
1007	0,4061	0,3586	0,2688	0,2792	0,3694	0,4337	0,2393	0,6196	0,4340
1008	0,4067	0,3589	0,2690	0,2793	0,3699	0,4342	0,2395	0,6201	0,4342
1009	0,4072	0,3593	0,2693	0,2794	0,3704	0,4347	0,2396	0,6208	0,4349
1010	0,4079	0,3598	0,2695	0,2796	0,3708	0,4352	0,2397	0,6216	0,4354
1011	0,4085	0,3602	0,2696	0,2797	0,3712	0,4357	0,2398	0,6221	0,4357
1012	0,4089	0,3606	0,2698	0,2797	0,3716	0,4363	0,2398	0,6228	0,4365
1013	0,4095	0,3609	0,2701	0,2797	0,3719	0,4367	0,2398	0,6234	0,4370
1014	0,4100	0,3614	0,2704	0,2798	0,3722	0,4372	0,2399	0,6240	0,4374
1015	0,4106	0,3618	0,2708	0,2799	0,3727	0,4378	0,2400	0,6249	0,4380
1016	0,4112	0,3622	0,2711	0,2800	0,3731	0,4382	0,2402	0,6255	0,4384
1017	0,4118	0,3626	0,2714	0,2801	0,3735	0,4387	0,2403	0,6262	0,4389
1018	0,4123	0,3630	0,2717	0,2803	0,3741	0,4393	0,2404	0,6269	0,4393
1019	0,4129	0,3634	0,2719	0,2804	0,3746	0,4397	0,2405	0,6276	0,4398
1020	0,4134	0,3638	0,2721	0,2805	0,3749	0,4401	0,2405	0,6279	0,4400
1021	0,4139	0,3644	0,2724	0,2805	0,3752	0,4405	0,2405	0,6284	0,4403
1022	0,4145	0,3648	0,2727	0,2806	0,3754	0,4408	0,2406	0,6290	0,4407
1023	0,4151	0,3652	0,2729	0,2805	0,3756	0,4412	0,2406	0,6295	0,4411
1024	0,4157	0,3657	0,2732	0,2806	0,3760	0,4416	0,2407	0,6302	0,4415
1025	0,4162	0,3660	0,2734	0,2808	0,3764	0,4421	0,2408	0,6310	0,4419
1026	0,4169	0,3663	0,2737	0,2809	0,3768	0,4426	0,2409	0,6315	0,4421
1027	0,4176	0,3668	0,2739	0,2810	0,3774	0,4431	0,2410	0,6321	0,4424
1028	0,4182	0,3672	0,2742	0,2810	0,3778	0,4436	0,2411	0,6326	0,4428
1029	0,4187	0,3676	0,2745	0,2810	0,3783	0,4441	0,2410	0,6330	0,4433
1030	0,4192	0,3680	0,2747	0,2811	0,3787	0,4446	0,2411	0,6337	0,4438
1031	0,4197	0,3684	0,2749	0,2811	0,3790	0,4451	0,2411	0,6343	0,4442
1032	0,4200	0,3687	0,2751	0,2810	0,3793	0,4456	0,2411	0,6348	0,4446
1033	0,4204	0,3692	0,2754	0,2810	0,3797	0,4462	0,2410	0,6354	0,4451
1034	0,4209	0,3697	0,2757	0,2811	0,3800	0,4467	0,2411	0,6358	0,4454
1035	0,4214	0,3700	0,2758	0,2811	0,3803	0,4471	0,2412	0,6363	0,4458
1036	0,4218	0,3704	0,2761	0,2811	0,3807	0,4476	0,2412	0,6368	0,4465
1037	0,4223	0,3708	0,2763	0,2812	0,3810	0,4479	0,2413	0,6372	0,4469
1038	0,4228	0,3710	0,2764	0,2812	0,3811	0,4482	0,2412	0,6378	0,4473
1039	0,4232	0,3714	0,2767	0,2810	0,3814	0,4487	0,2411	0,6381	0,4477
1040	0,4238	0,3718	0,2770	0,2811	0,3817	0,4490	0,2412	0,6386	0,4480
1041	0,4243	0,3722	0,2773	0,2812	0,3821	0,4495	0,2413	0,6392	0,4483
1042	0,4247	0,3725	0,2774	0,2814	0,3826	0,4498	0,2414	0,6396	0,4485
1043	0,4252	0,3729	0,2777	0,2816	0,3829	0,4500	0,2416	0,6402	0,4489
1044	0,4256	0,3733	0,2779	0,2817	0,3832	0,4504	0,2417	0,6407	0,4492
1045	0,4260	0,3735	0,2780	0,2819	0,3835	0,4509	0,2418	0,6412	0,4495
1046	0,4262	0,3738	0,2781	0,2820	0,3838	0,4512	0,2419	0,6415	0,4497
1047	0,4266	0,3741	0,2784	0,2821	0,3840	0,4517	0,2420	0,6419	0,4501
1048	0,4270	0,3743	0,2786	0,2821	0,3843	0,4522	0,2420	0,6421	0,4502
1049	0,4273	0,3745	0,2788	0,2819	0,3846	0,4525	0,2419	0,6424	0,4503
1050	0,4278	0,3747	0,2790	0,2818	0,3848	0,4528	0,2418	0,6428	0,4507
1051	0,4282	0,3750	0,2793	0,2818	0,3850	0,4530	0,2418	0,6432	0,4511
1052	0,4286	0,3752	0,2794	0,2819	0,3852	0,4533	0,2419	0,6435	0,4515
1053	0,4288	0,3755	0,2796	0,2820	0,3854	0,4536	0,2420	0,6439	0,4520
1054	0,4290	0,3759	0,2798	0,2821	0,3856	0,4538	0,2421	0,6441	0,4522
1055	0,4294	0,3759	0,2798	0,2823	0,3857	0,4540	0,2423	0,6443	0,4523
1056	0,4298	0,3760	0,2798	0,2824	0,3859	0,4543	0,2424	0,6447	0,4524
1057	0,4302	0,3762	0,2798	0,2826	0,3860	0,4545	0,2425	0,6450	0,4525
1058	0,4307	0,3762	0,2798	0,2828	0,3861	0,4547	0,2427	0,6452	0,4527
1059	0,4311	0,3764	0,2799	0,2829	0,3862	0,4550	0,2427	0,6454	0,4528
1060	0,4314	0,3767	0,2802	0,2828	0,3864	0,4553	0,2427	0,6456	0,4528

EVALUACIÓN DE NUEVAS TECNOLOGÍAS PARA LA DETECCIÓN DE PATOLOGÍAS- AFECCIONES EN PALMERAS

1061	0,4316	0,3771	0,2805	0,2828	0,3866	0,4554	0,2428	0,6457	0,4528
1062	0,4318	0,3772	0,2805	0,2830	0,3869	0,4556	0,2429	0,6459	0,4529
1063	0,4319	0,3773	0,2806	0,2830	0,3870	0,4556	0,2429	0,6462	0,4530
1064	0,4319	0,3775	0,2808	0,2832	0,3870	0,4556	0,2431	0,6465	0,4533
1065	0,4320	0,3773	0,2808	0,2833	0,3869	0,4557	0,2432	0,6467	0,4536
1066	0,4322	0,3773	0,2808	0,2833	0,3868	0,4558	0,2432	0,6468	0,4538
1067	0,4326	0,3774	0,2809	0,2833	0,3867	0,4558	0,2433	0,6471	0,4537
1068	0,4328	0,3774	0,2808	0,2832	0,3868	0,4560	0,2432	0,6472	0,4536
1069	0,4331	0,3775	0,2809	0,2832	0,3869	0,4560	0,2432	0,6474	0,4536
1070	0,4333	0,3776	0,2810	0,2832	0,3870	0,4561	0,2433	0,6475	0,4535
1071	0,4333	0,3779	0,2814	0,2834	0,3869	0,4562	0,2435	0,6476	0,4532
1072	0,4333	0,3781	0,2815	0,2835	0,3869	0,4563	0,2436	0,6477	0,4532
1073	0,4334	0,3782	0,2817	0,2838	0,3869	0,4561	0,2438	0,6479	0,4532
1074	0,4335	0,3783	0,2818	0,2838	0,3868	0,4561	0,2439	0,6480	0,4531
1075	0,4334	0,3782	0,2816	0,2837	0,3868	0,4561	0,2438	0,6481	0,4531
1076	0,4334	0,3780	0,2815	0,2837	0,3868	0,4561	0,2438	0,6483	0,4532
1077	0,4335	0,3780	0,2815	0,2837	0,3867	0,4561	0,2439	0,6483	0,4530
1078	0,4336	0,3780	0,2814	0,2837	0,3868	0,4560	0,2439	0,6483	0,4527
1079	0,4336	0,3780	0,2815	0,2838	0,3868	0,4559	0,2440	0,6483	0,4525
1080	0,4337	0,3781	0,2816	0,2839	0,3866	0,4558	0,2441	0,6483	0,4523
1081	0,4337	0,3780	0,2816	0,2840	0,3865	0,4558	0,2442	0,6484	0,4522
1082	0,4337	0,3780	0,2816	0,2840	0,3863	0,4556	0,2443	0,6484	0,4520
1083	0,4337	0,3780	0,2816	0,2841	0,3861	0,4556	0,2443	0,6484	0,4518
1084	0,4338	0,3779	0,2815	0,2841	0,3860	0,4555	0,2444	0,6484	0,4514
1085	0,4338	0,3777	0,2814	0,2842	0,3859	0,4553	0,2444	0,6483	0,4513
1086	0,4338	0,3775	0,2812	0,2842	0,3858	0,4551	0,2445	0,6483	0,4513
1087	0,4338	0,3774	0,2810	0,2843	0,3857	0,4549	0,2446	0,6482	0,4512
1088	0,4339	0,3771	0,2808	0,2842	0,3857	0,4546	0,2446	0,6483	0,4513
1089	0,4338	0,3769	0,2807	0,2843	0,3856	0,4544	0,2447	0,6483	0,4513
1090	0,4335	0,3768	0,2807	0,2844	0,3854	0,4542	0,2448	0,6482	0,4511
1091	0,4335	0,3767	0,2806	0,2845	0,3852	0,4541	0,2449	0,6481	0,4508
1092	0,4334	0,3764	0,2805	0,2846	0,3849	0,4540	0,2450	0,6479	0,4506
1093	0,4334	0,3761	0,2803	0,2847	0,3845	0,4539	0,2451	0,6479	0,4503
1094	0,4336	0,3757	0,2800	0,2847	0,3842	0,4538	0,2452	0,6479	0,4503
1095	0,4335	0,3754	0,2798	0,2847	0,3840	0,4536	0,2452	0,6478	0,4503
1096	0,4335	0,3751	0,2796	0,2847	0,3839	0,4533	0,2452	0,6476	0,4502
1097	0,4334	0,3751	0,2794	0,2847	0,3839	0,4531	0,2452	0,6474	0,4500
1098	0,4333	0,3748	0,2792	0,2847	0,3837	0,4528	0,2452	0,6472	0,4498
1099	0,4333	0,3745	0,2790	0,2848	0,3834	0,4526	0,2453	0,6467	0,4493
1100	0,4332	0,3742	0,2787	0,2849	0,3831	0,4523	0,2454	0,6465	0,4490
1101	0,4332	0,3738	0,2784	0,2852	0,3826	0,4520	0,2456	0,6464	0,4489
1102	0,4332	0,3734	0,2782	0,2853	0,3823	0,4518	0,2457	0,6463	0,4488
1103	0,4332	0,3730	0,2779	0,2852	0,3819	0,4516	0,2457	0,6462	0,4487
1104	0,4332	0,3726	0,2776	0,2853	0,3816	0,4515	0,2457	0,6460	0,4486
1105	0,4330	0,3721	0,2773	0,2850	0,3815	0,4516	0,2456	0,6459	0,4487
1106	0,4328	0,3716	0,2769	0,2850	0,3813	0,4515	0,2456	0,6457	0,4487
1107	0,4326	0,3710	0,2764	0,2853	0,3811	0,4513	0,2459	0,6455	0,4488
1108	0,4324	0,3707	0,2761	0,2855	0,3810	0,4510	0,2460	0,6453	0,4489
1109	0,4324	0,3703	0,2758	0,2857	0,3808	0,4508	0,2462	0,6450	0,4488
1110	0,4324	0,3698	0,2754	0,2858	0,3803	0,4506	0,2463	0,6447	0,4487
1111	0,4323	0,3693	0,2751	0,2859	0,3800	0,4504	0,2463	0,6444	0,4486
1112	0,4322	0,3688	0,2747	0,2856	0,3797	0,4503	0,2461	0,6441	0,4484
1113	0,4322	0,3682	0,2743	0,2856	0,3793	0,4501	0,2461	0,6438	0,4484
1114	0,4321	0,3675	0,2738	0,2857	0,3790	0,4498	0,2462	0,6434	0,4487
1115	0,4320	0,3668	0,2733	0,2857	0,3786	0,4495	0,2462	0,6431	0,4486
1116	0,4320	0,3661	0,2727	0,2856	0,3782	0,4492	0,2462	0,6429	0,4485
1117	0,4320	0,3651	0,2721	0,2856	0,3776	0,4488	0,2462	0,6424	0,4483
1118	0,4320	0,3638	0,2713	0,2855	0,3769	0,4482	0,2461	0,6414	0,4477
1119	0,4319	0,3626	0,2706	0,2854	0,3762	0,4477	0,2460	0,6406	0,4471
1120	0,4318	0,3611	0,2702	0,2851	0,3753	0,4473	0,2458	0,6394	0,4463
1121	0,4313	0,3596	0,2694	0,2851	0,3743	0,4467	0,2458	0,6382	0,4456
1122	0,4295	0,3583	0,2685	0,2850	0,3735	0,4462	0,2457	0,6372	0,4447
1123	0,4285	0,3567	0,2676	0,2850	0,3723	0,4453	0,2458	0,6359	0,4439
1124	0,4278	0,3549	0,2664	0,2853	0,3709	0,4440	0,2460	0,6345	0,4431
1125	0,4275	0,3530	0,2649	0,2862	0,3693	0,4420	0,2468	0,6330	0,4428
1126	0,4263	0,3511	0,2637	0,2863	0,3678	0,4404	0,2469	0,6313	0,4415

EVALUACIÓN DE NUEVAS TECNOLOGÍAS PARA LA DETECCIÓN DE PATOLOGÍAS- AFECCIONES EN PALMERAS

1127	0,4258	0,3494	0,2630	0,2862	0,3662	0,4389	0,2468	0,6296	0,4399
1128	0,4240	0,3474	0,2621	0,2858	0,3646	0,4371	0,2465	0,6275	0,4381
1129	0,4207	0,3456	0,2615	0,2848	0,3633	0,4356	0,2457	0,6254	0,4358
1130	0,4183	0,3437	0,2604	0,2844	0,3617	0,4337	0,2454	0,6231	0,4341
1131	0,4162	0,3417	0,2589	0,2842	0,3601	0,4316	0,2452	0,6206	0,4324
1132	0,4143	0,3404	0,2581	0,2842	0,3586	0,4296	0,2452	0,6182	0,4310
1133	0,4130	0,3402	0,2577	0,2850	0,3573	0,4275	0,2458	0,6160	0,4306
1134	0,4110	0,3391	0,2569	0,2850	0,3558	0,4257	0,2458	0,6136	0,4291
1135	0,4088	0,3382	0,2567	0,2846	0,3541	0,4243	0,2455	0,6111	0,4271
1136	0,4068	0,3370	0,2558	0,2844	0,3529	0,4226	0,2453	0,6089	0,4256
1137	0,4043	0,3348	0,2541	0,2838	0,3519	0,4210	0,2448	0,6067	0,4241
1138	0,4022	0,3334	0,2531	0,2835	0,3508	0,4194	0,2446	0,6044	0,4229
1139	0,4007	0,3324	0,2525	0,2834	0,3498	0,4181	0,2446	0,6024	0,4216
1140	0,3987	0,3313	0,2517	0,2834	0,3487	0,4160	0,2446	0,6002	0,4205
1141	0,3966	0,3299	0,2508	0,2834	0,3471	0,4142	0,2445	0,5976	0,4191
1142	0,3945	0,3288	0,2504	0,2833	0,3451	0,4127	0,2444	0,5948	0,4176
1143	0,3920	0,3270	0,2491	0,2832	0,3432	0,4107	0,2443	0,5919	0,4157
1144	0,3890	0,3247	0,2472	0,2830	0,3412	0,4084	0,2441	0,5888	0,4133
1145	0,3864	0,3228	0,2460	0,2828	0,3393	0,4060	0,2439	0,5856	0,4112
1146	0,3838	0,3210	0,2449	0,2825	0,3376	0,4032	0,2437	0,5822	0,4092
1147	0,3810	0,3193	0,2438	0,2822	0,3356	0,4008	0,2434	0,5789	0,4071
1148	0,3784	0,3179	0,2433	0,2817	0,3335	0,3984	0,2430	0,5753	0,4050
1149	0,3756	0,3162	0,2424	0,2814	0,3316	0,3960	0,2428	0,5720	0,4029
1150	0,3724	0,3146	0,2412	0,2813	0,3298	0,3937	0,2427	0,5689	0,4007
1151	0,3696	0,3130	0,2401	0,2810	0,3279	0,3914	0,2425	0,5659	0,3986
1152	0,3669	0,3111	0,2390	0,2805	0,3262	0,3887	0,2421	0,5631	0,3965
1153	0,3644	0,3097	0,2380	0,2802	0,3245	0,3865	0,2419	0,5605	0,3947
1154	0,3619	0,3085	0,2374	0,2799	0,3228	0,3847	0,2416	0,5580	0,3933
1155	0,3599	0,3073	0,2367	0,2797	0,3213	0,3830	0,2414	0,5557	0,3917
1156	0,3579	0,3062	0,2359	0,2796	0,3203	0,3815	0,2413	0,5537	0,3902
1157	0,3560	0,3053	0,2353	0,2793	0,3193	0,3802	0,2411	0,5518	0,3891
1158	0,3545	0,3049	0,2349	0,2791	0,3185	0,3790	0,2409	0,5502	0,3881
1159	0,3532	0,3047	0,2346	0,2788	0,3178	0,3779	0,2407	0,5489	0,3872
1160	0,3520	0,3043	0,2343	0,2786	0,3171	0,3770	0,2406	0,5477	0,3864
1161	0,3509	0,3043	0,2344	0,2787	0,3164	0,3763	0,2406	0,5467	0,3858
1162	0,3500	0,3041	0,2342	0,2785	0,3160	0,3755	0,2404	0,5457	0,3852
1163	0,3493	0,3036	0,2339	0,2782	0,3157	0,3749	0,2402	0,5447	0,3846
1164	0,3486	0,3034	0,2338	0,2779	0,3154	0,3743	0,2399	0,5440	0,3841
1165	0,3479	0,3034	0,2338	0,2774	0,3152	0,3737	0,2395	0,5435	0,3840
1166	0,3471	0,3033	0,2337	0,2772	0,3150	0,3732	0,2393	0,5430	0,3837
1167	0,3461	0,3032	0,2335	0,2772	0,3146	0,3729	0,2394	0,5427	0,3834
1168	0,3454	0,3030	0,2334	0,2771	0,3144	0,3724	0,2393	0,5423	0,3831
1169	0,3448	0,3028	0,2331	0,2768	0,3141	0,3720	0,2391	0,5417	0,3827
1170	0,3443	0,3026	0,2329	0,2767	0,3139	0,3716	0,2390	0,5412	0,3824
1171	0,3441	0,3024	0,2328	0,2765	0,3136	0,3712	0,2388	0,5408	0,3820
1172	0,3438	0,3023	0,2328	0,2761	0,3135	0,3707	0,2385	0,5403	0,3818
1173	0,3435	0,3020	0,2326	0,2759	0,3133	0,3704	0,2383	0,5399	0,3816
1174	0,3429	0,3018	0,2324	0,2759	0,3130	0,3701	0,2383	0,5395	0,3814
1175	0,3424	0,3016	0,2322	0,2758	0,3128	0,3697	0,2383	0,5391	0,3812
1176	0,3417	0,3012	0,2319	0,2757	0,3126	0,3695	0,2382	0,5386	0,3810
1177	0,3413	0,3010	0,2317	0,2756	0,3124	0,3691	0,2381	0,5383	0,3808
1178	0,3411	0,3010	0,2316	0,2755	0,3121	0,3687	0,2380	0,5379	0,3805
1179	0,3408	0,3007	0,2314	0,2753	0,3118	0,3684	0,2378	0,5375	0,3803
1180	0,3406	0,3005	0,2313	0,2751	0,3116	0,3681	0,2377	0,5372	0,3802
1181	0,3403	0,3002	0,2310	0,2749	0,3113	0,3678	0,2375	0,5368	0,3800
1182	0,3398	0,2996	0,2306	0,2746	0,3110	0,3675	0,2373	0,5364	0,3796
1183	0,3394	0,2993	0,2303	0,2745	0,3108	0,3672	0,2372	0,5360	0,3793
1184	0,3389	0,2991	0,2301	0,2744	0,3107	0,3668	0,2371	0,5356	0,3791
1185	0,3385	0,2988	0,2299	0,2742	0,3104	0,3665	0,2370	0,5351	0,3788
1186	0,3382	0,2986	0,2298	0,2741	0,3102	0,3661	0,2369	0,5346	0,3783
1187	0,3379	0,2983	0,2295	0,2739	0,3100	0,3658	0,2368	0,5342	0,3781
1188	0,3375	0,2979	0,2293	0,2738	0,3096	0,3655	0,2367	0,5339	0,3779
1189	0,3372	0,2975	0,2290	0,2736	0,3092	0,3652	0,2365	0,5335	0,3776
1190	0,3368	0,2973	0,2288	0,2735	0,3090	0,3648	0,2365	0,5332	0,3773
1191	0,3364	0,2970	0,2286	0,2735	0,3089	0,3645	0,2365	0,5329	0,3770
1192	0,3363	0,2968	0,2284	0,2734	0,3087	0,3642	0,2364	0,5325	0,3768

EVALUACIÓN DE NUEVAS TECNOLOGÍAS PARA LA DETECCIÓN DE PATOLOGÍAS- AFECCIONES EN PALMERAS

1193	0,3361	0,2966	0,2283	0,2734	0,3086	0,3639	0,2364	0,5321	0,3766
1194	0,3359	0,2964	0,2281	0,2733	0,3085	0,3637	0,2363	0,5319	0,3765
1195	0,3357	0,2960	0,2279	0,2731	0,3082	0,3636	0,2361	0,5318	0,3766
1196	0,3355	0,2957	0,2277	0,2730	0,3080	0,3634	0,2360	0,5316	0,3764
1197	0,3353	0,2956	0,2276	0,2729	0,3077	0,3630	0,2359	0,5314	0,3760
1198	0,3352	0,2954	0,2274	0,2727	0,3076	0,3628	0,2358	0,5312	0,3758
1199	0,3350	0,2954	0,2274	0,2725	0,3075	0,3625	0,2357	0,5309	0,3755
1200	0,3349	0,2952	0,2273	0,2724	0,3074	0,3623	0,2356	0,5307	0,3754
1201	0,3347	0,2949	0,2270	0,2723	0,3074	0,3623	0,2356	0,5304	0,3754
1202	0,3345	0,2947	0,2269	0,2723	0,3074	0,3622	0,2355	0,5303	0,3753
1203	0,3343	0,2947	0,2268	0,2723	0,3073	0,3620	0,2356	0,5303	0,3751
1204	0,3342	0,2946	0,2267	0,2723	0,3072	0,3618	0,2355	0,5303	0,3750
1205	0,3341	0,2945	0,2266	0,2721	0,3071	0,3615	0,2354	0,5304	0,3748
1206	0,3342	0,2946	0,2267	0,2720	0,3071	0,3614	0,2353	0,5305	0,3748
1207	0,3343	0,2945	0,2266	0,2719	0,3071	0,3613	0,2352	0,5305	0,3749
1208	0,3343	0,2943	0,2265	0,2718	0,3072	0,3613	0,2352	0,5305	0,3751
1209	0,3343	0,2942	0,2265	0,2718	0,3074	0,3613	0,2352	0,5306	0,3753
1210	0,3342	0,2943	0,2265	0,2719	0,3074	0,3614	0,2353	0,5307	0,3754
1211	0,3343	0,2943	0,2265	0,2721	0,3075	0,3614	0,2354	0,5310	0,3755
1212	0,3346	0,2945	0,2266	0,2721	0,3075	0,3615	0,2355	0,5315	0,3756
1213	0,3350	0,2948	0,2268	0,2722	0,3078	0,3617	0,2355	0,5318	0,3756
1214	0,3354	0,2949	0,2269	0,2723	0,3082	0,3619	0,2356	0,5323	0,3758
1215	0,3358	0,2952	0,2270	0,2723	0,3085	0,3621	0,2356	0,5327	0,3761
1216	0,3361	0,2955	0,2271	0,2723	0,3088	0,3624	0,2356	0,5331	0,3764
1217	0,3366	0,2959	0,2274	0,2724	0,3092	0,3627	0,2357	0,5337	0,3768
1218	0,3370	0,2965	0,2276	0,2726	0,3095	0,3631	0,2359	0,5343	0,3773
1219	0,3375	0,2970	0,2279	0,2727	0,3099	0,3635	0,2360	0,5350	0,3777
1220	0,3381	0,2976	0,2283	0,2728	0,3105	0,3640	0,2361	0,5358	0,3781
1221	0,3387	0,2981	0,2287	0,2730	0,3110	0,3645	0,2362	0,5366	0,3786
1222	0,3395	0,2987	0,2291	0,2731	0,3115	0,3649	0,2364	0,5376	0,3792
1223	0,3400	0,2993	0,2295	0,2733	0,3120	0,3654	0,2365	0,5385	0,3798
1224	0,3404	0,3000	0,2299	0,2736	0,3125	0,3661	0,2368	0,5394	0,3805
1225	0,3411	0,3007	0,2304	0,2738	0,3131	0,3668	0,2370	0,5404	0,3812
1226	0,3418	0,3014	0,2307	0,2740	0,3136	0,3675	0,2372	0,5413	0,3818
1227	0,3424	0,3020	0,2311	0,2743	0,3142	0,3681	0,2374	0,5423	0,3824
1228	0,3434	0,3027	0,2315	0,2746	0,3148	0,3686	0,2376	0,5435	0,3832
1229	0,3443	0,3033	0,2320	0,2748	0,3154	0,3691	0,2378	0,5443	0,3839
1230	0,3449	0,3041	0,2325	0,2751	0,3160	0,3696	0,2381	0,5453	0,3845
1231	0,3455	0,3048	0,2329	0,2753	0,3166	0,3703	0,2382	0,5464	0,3852
1232	0,3462	0,3055	0,2334	0,2753	0,3171	0,3711	0,2383	0,5473	0,3858
1233	0,3468	0,3062	0,2338	0,2756	0,3177	0,3716	0,2385	0,5483	0,3864
1234	0,3475	0,3069	0,2342	0,2758	0,3181	0,3722	0,2386	0,5494	0,3871
1235	0,3483	0,3075	0,2345	0,2759	0,3186	0,3728	0,2388	0,5502	0,3877
1236	0,3490	0,3081	0,2348	0,2761	0,3192	0,3733	0,2390	0,5510	0,3882
1237	0,3496	0,3085	0,2351	0,2765	0,3197	0,3737	0,2392	0,5518	0,3888
1238	0,3502	0,3091	0,2354	0,2766	0,3202	0,3742	0,2394	0,5526	0,3894
1239	0,3507	0,3096	0,2357	0,2767	0,3207	0,3747	0,2395	0,5534	0,3901
1240	0,3513	0,3101	0,2360	0,2769	0,3212	0,3752	0,2396	0,5541	0,3906
1241	0,3518	0,3108	0,2364	0,2770	0,3215	0,3756	0,2397	0,5549	0,3910
1242	0,3523	0,3112	0,2367	0,2772	0,3219	0,3761	0,2399	0,5555	0,3914
1243	0,3530	0,3115	0,2369	0,2774	0,3224	0,3764	0,2401	0,5561	0,3918
1244	0,3535	0,3119	0,2371	0,2777	0,3227	0,3769	0,2402	0,5567	0,3923
1245	0,3540	0,3122	0,2374	0,2777	0,3231	0,3776	0,2403	0,5573	0,3928
1246	0,3544	0,3126	0,2376	0,2778	0,3235	0,3779	0,2404	0,5579	0,3932
1247	0,3547	0,3130	0,2377	0,2780	0,3237	0,3783	0,2406	0,5586	0,3937
1248	0,3551	0,3132	0,2379	0,2781	0,3240	0,3787	0,2406	0,5590	0,3940
1249	0,3556	0,3135	0,2379	0,2783	0,3243	0,3790	0,2408	0,5595	0,3942
1250	0,3561	0,3137	0,2380	0,2785	0,3246	0,3794	0,2410	0,5601	0,3946
1251	0,3565	0,3140	0,2383	0,2785	0,3249	0,3797	0,2410	0,5606	0,3948
1252	0,3569	0,3145	0,2385	0,2785	0,3251	0,3800	0,2410	0,5610	0,3952
1253	0,3573	0,3147	0,2386	0,2787	0,3253	0,3804	0,2412	0,5616	0,3958
1254	0,3575	0,3148	0,2387	0,2788	0,3256	0,3807	0,2413	0,5620	0,3960
1255	0,3580	0,3149	0,2388	0,2790	0,3258	0,3810	0,2415	0,5623	0,3962
1256	0,3584	0,3151	0,2388	0,2793	0,3259	0,3814	0,2417	0,5627	0,3965
1257	0,3587	0,3152	0,2388	0,2795	0,3261	0,3816	0,2418	0,5631	0,3968
1258	0,3591	0,3154	0,2389	0,2795	0,3263	0,3817	0,2418	0,5634	0,3971

EVALUACIÓN DE NUEVAS TECNOLOGÍAS PARA LA DETECCIÓN DE PATOLOGÍAS- AFECCIONES EN PALMERAS

1259	0,3595	0,3156	0,2390	0,2795	0,3264	0,3820	0,2419	0,5637	0,3973
1260	0,3598	0,3156	0,2390	0,2796	0,3266	0,3823	0,2419	0,5640	0,3976
1261	0,3601	0,3156	0,2390	0,2797	0,3268	0,3825	0,2420	0,5643	0,3978
1262	0,3604	0,3155	0,2390	0,2798	0,3269	0,3826	0,2421	0,5646	0,3978
1263	0,3607	0,3156	0,2389	0,2801	0,3269	0,3828	0,2423	0,5650	0,3981
1264	0,3610	0,3157	0,2389	0,2802	0,3270	0,3830	0,2424	0,5652	0,3984
1265	0,3612	0,3157	0,2389	0,2802	0,3270	0,3831	0,2424	0,5653	0,3985
1266	0,3614	0,3158	0,2389	0,2802	0,3270	0,3833	0,2425	0,5653	0,3984
1267	0,3617	0,3159	0,2390	0,2802	0,3271	0,3834	0,2424	0,5654	0,3983
1268	0,3619	0,3158	0,2390	0,2802	0,3271	0,3834	0,2425	0,5654	0,3983
1269	0,3621	0,3157	0,2390	0,2804	0,3272	0,3834	0,2426	0,5655	0,3985
1270	0,3621	0,3157	0,2390	0,2804	0,3272	0,3835	0,2426	0,5657	0,3988
1271	0,3622	0,3159	0,2390	0,2804	0,3272	0,3834	0,2426	0,5657	0,3989
1272	0,3621	0,3161	0,2392	0,2804	0,3272	0,3834	0,2426	0,5656	0,3988
1273	0,3620	0,3163	0,2393	0,2805	0,3272	0,3835	0,2427	0,5655	0,3985
1274	0,3622	0,3164	0,2394	0,2805	0,3271	0,3833	0,2426	0,5654	0,3984
1275	0,3622	0,3164	0,2395	0,2804	0,3272	0,3831	0,2426	0,5653	0,3986
1276	0,3619	0,3164	0,2396	0,2805	0,3272	0,3831	0,2427	0,5652	0,3986
1277	0,3617	0,3165	0,2397	0,2805	0,3272	0,3830	0,2427	0,5652	0,3987
1278	0,3616	0,3166	0,2398	0,2806	0,3272	0,3829	0,2427	0,5648	0,3987
1279	0,3614	0,3167	0,2399	0,2806	0,3271	0,3829	0,2428	0,5645	0,3984
1280	0,3612	0,3168	0,2400	0,2806	0,3270	0,3827	0,2427	0,5642	0,3983
1281	0,3611	0,3168	0,2400	0,2804	0,3268	0,3823	0,2426	0,5641	0,3983
1282	0,3609	0,3169	0,2400	0,2804	0,3267	0,3820	0,2426	0,5638	0,3983
1283	0,3604	0,3169	0,2401	0,2805	0,3266	0,3817	0,2426	0,5635	0,3984
1284	0,3601	0,3168	0,2402	0,2806	0,3265	0,3816	0,2427	0,5632	0,3982
1285	0,3599	0,3167	0,2401	0,2806	0,3264	0,3815	0,2428	0,5626	0,3976
1286	0,3599	0,3165	0,2400	0,2807	0,3262	0,3812	0,2428	0,5621	0,3971
1287	0,3597	0,3162	0,2398	0,2807	0,3257	0,3809	0,2428	0,5616	0,3967
1288	0,3592	0,3159	0,2396	0,2806	0,3254	0,3805	0,2428	0,5612	0,3966
1289	0,3587	0,3158	0,2396	0,2806	0,3252	0,3801	0,2428	0,5607	0,3966
1290	0,3583	0,3157	0,2396	0,2806	0,3249	0,3798	0,2428	0,5602	0,3962
1291	0,3580	0,3156	0,2396	0,2807	0,3247	0,3797	0,2429	0,5596	0,3957
1292	0,3577	0,3152	0,2395	0,2808	0,3243	0,3794	0,2430	0,5590	0,3951
1293	0,3574	0,3147	0,2392	0,2808	0,3239	0,3791	0,2430	0,5583	0,3946
1294	0,3568	0,3141	0,2388	0,2808	0,3234	0,3787	0,2430	0,5576	0,3941
1295	0,3561	0,3136	0,2385	0,2808	0,3228	0,3781	0,2431	0,5569	0,3936
1296	0,3556	0,3132	0,2383	0,2807	0,3222	0,3776	0,2430	0,5562	0,3931
1297	0,3551	0,3127	0,2380	0,2808	0,3217	0,3771	0,2431	0,5553	0,3925
1298	0,3544	0,3120	0,2376	0,2810	0,3211	0,3766	0,2433	0,5543	0,3918
1299	0,3539	0,3115	0,2372	0,2810	0,3206	0,3760	0,2434	0,5535	0,3911
1300	0,3533	0,3109	0,2368	0,2811	0,3201	0,3753	0,2434	0,5526	0,3903
1301	0,3526	0,3102	0,2362	0,2812	0,3193	0,3747	0,2435	0,5517	0,3895
1302	0,3519	0,3095	0,2358	0,2812	0,3186	0,3741	0,2436	0,5507	0,3890
1303	0,3511	0,3088	0,2354	0,2812	0,3179	0,3735	0,2436	0,5497	0,3881
1304	0,3501	0,3079	0,2348	0,2812	0,3170	0,3729	0,2437	0,5484	0,3872
1305	0,3493	0,3070	0,2343	0,2813	0,3161	0,3721	0,2438	0,5471	0,3863
1306	0,3485	0,3062	0,2338	0,2814	0,3153	0,3713	0,2439	0,5458	0,3853
1307	0,3477	0,3054	0,2333	0,2814	0,3145	0,3703	0,2439	0,5446	0,3840
1308	0,3467	0,3044	0,2326	0,2814	0,3136	0,3694	0,2439	0,5432	0,3829
1309	0,3458	0,3034	0,2320	0,2814	0,3125	0,3685	0,2440	0,5417	0,3819
1310	0,3447	0,3026	0,2315	0,2812	0,3115	0,3676	0,2438	0,5401	0,3806
1311	0,3434	0,3012	0,2307	0,2811	0,3104	0,3667	0,2438	0,5385	0,3794
1312	0,3423	0,3000	0,2298	0,2813	0,3093	0,3656	0,2440	0,5369	0,3785
1313	0,3413	0,2990	0,2292	0,2815	0,3081	0,3644	0,2442	0,5352	0,3773
1314	0,3401	0,2975	0,2282	0,2816	0,3070	0,3632	0,2443	0,5334	0,3758
1315	0,3390	0,2962	0,2273	0,2816	0,3056	0,3620	0,2444	0,5315	0,3747
1316	0,3379	0,2952	0,2268	0,2814	0,3043	0,3609	0,2442	0,5296	0,3733
1317	0,3362	0,2936	0,2259	0,2812	0,3031	0,3597	0,2441	0,5274	0,3717
1318	0,3347	0,2924	0,2250	0,2811	0,3018	0,3584	0,2441	0,5256	0,3704
1319	0,3333	0,2914	0,2242	0,2812	0,3005	0,3571	0,2441	0,5236	0,3689
1320	0,3319	0,2899	0,2233	0,2813	0,2993	0,3556	0,2442	0,5214	0,3673
1321	0,3307	0,2885	0,2223	0,2813	0,2980	0,3544	0,2443	0,5196	0,3661
1322	0,3292	0,2872	0,2213	0,2813	0,2966	0,3532	0,2443	0,5175	0,3647
1323	0,3276	0,2858	0,2204	0,2813	0,2953	0,3519	0,2443	0,5153	0,3634
1324	0,3262	0,2843	0,2196	0,2810	0,2940	0,3505	0,2441	0,5132	0,3622

EVALUACIÓN DE NUEVAS TECNOLOGÍAS PARA LA DETECCIÓN DE PATOLOGÍAS- AFECCIONES EN PALMERAS

1325	0,3245	0,2830	0,2186	0,2809	0,2925	0,3490	0,2440	0,5108	0,3605
1326	0,3229	0,2816	0,2177	0,2809	0,2910	0,3476	0,2440	0,5085	0,3589
1327	0,3217	0,2801	0,2166	0,2807	0,2895	0,3462	0,2438	0,5061	0,3575
1328	0,3201	0,2785	0,2153	0,2805	0,2879	0,3449	0,2437	0,5036	0,3559
1329	0,3183	0,2768	0,2143	0,2803	0,2863	0,3435	0,2435	0,5010	0,3545
1330	0,3166	0,2750	0,2131	0,2801	0,2848	0,3419	0,2433	0,4983	0,3529
1331	0,3149	0,2729	0,2119	0,2796	0,2833	0,3402	0,2429	0,4955	0,3513
1332	0,3131	0,2710	0,2106	0,2793	0,2818	0,3385	0,2427	0,4929	0,3496
1333	0,3114	0,2692	0,2095	0,2793	0,2802	0,3368	0,2427	0,4903	0,3482
1334	0,3096	0,2674	0,2083	0,2791	0,2784	0,3352	0,2425	0,4875	0,3464
1431	0,1054	0,0739	0,0656	0,2315	0,0795	0,1132	0,2019	0,1428	0,1139
1432	0,1058	0,0735	0,0635	0,2289	0,0788	0,1130	0,1998	0,1422	0,1131
1433	0,1068	0,0726	0,0630	0,2281	0,0787	0,1122	0,1991	0,1420	0,1137
1434	0,1044	0,0723	0,0637	0,2298	0,0784	0,1106	0,2004	0,1417	0,1131
1435	0,1039	0,0719	0,0641	0,2298	0,0780	0,1104	0,2003	0,1414	0,1123
1436	0,1046	0,0706	0,0647	0,2285	0,0774	0,1105	0,1993	0,1412	0,1140
1437	0,1030	0,0692	0,0642	0,2289	0,0777	0,1105	0,1996	0,1408	0,1134
1438	0,1037	0,0701	0,0634	0,2282	0,0782	0,1110	0,1990	0,1406	0,1120
1439	0,1053	0,0707	0,0630	0,2270	0,0776	0,1110	0,1980	0,1403	0,1120
1440	0,1043	0,0697	0,0621	0,2270	0,0775	0,1113	0,1980	0,1402	0,1127
1441	0,1035	0,0696	0,0612	0,2269	0,0776	0,1109	0,1978	0,1402	0,1119
1442	0,1027	0,0689	0,0613	0,2264	0,0771	0,1094	0,1974	0,1401	0,1119
1443	0,1014	0,0678	0,0610	0,2264	0,0769	0,1088	0,1973	0,1401	0,1122
1444	0,1010	0,0678	0,0602	0,2266	0,0765	0,1091	0,1975	0,1401	0,1116
1445	0,1021	0,0681	0,0596	0,2256	0,0758	0,1091	0,1966	0,1400	0,1117
1446	0,1028	0,0684	0,0593	0,2245	0,0757	0,1094	0,1958	0,1400	0,1121
1447	0,1019	0,0685	0,0593	0,2240	0,0763	0,1095	0,1953	0,1401	0,1117
1448	0,1011	0,0684	0,0588	0,2235	0,0768	0,1090	0,1950	0,1402	0,1114
1449	0,1010	0,0683	0,0583	0,2248	0,0765	0,1085	0,1960	0,1403	0,1117
1450	0,1012	0,0681	0,0580	0,2253	0,0760	0,1084	0,1964	0,1404	0,1121
1451	0,1012	0,0676	0,0573	0,2248	0,0759	0,1087	0,1960	0,1404	0,1120
1452	0,1016	0,0672	0,0567	0,2259	0,0759	0,1088	0,1969	0,1405	0,1123
1453	0,1019	0,0670	0,0569	0,2261	0,0760	0,1086	0,1970	0,1407	0,1122
1454	0,1017	0,0667	0,0573	0,2258	0,0763	0,1085	0,1969	0,1409	0,1118
1455	0,1016	0,0669	0,0570	0,2265	0,0762	0,1085	0,1974	0,1411	0,1124
1456	0,1016	0,0674	0,0569	0,2259	0,0761	0,1088	0,1970	0,1414	0,1128
1457	0,1011	0,0672	0,0568	0,2250	0,0763	0,1090	0,1963	0,1417	0,1122
1458	0,1012	0,0668	0,0564	0,2253	0,0764	0,1090	0,1965	0,1418	0,1125
1459	0,1020	0,0666	0,0560	0,2255	0,0761	0,1090	0,1967	0,1419	0,1129
1460	0,1025	0,0661	0,0558	0,2256	0,0761	0,1090	0,1969	0,1421	0,1129
1461	0,1022	0,0659	0,0556	0,2264	0,0763	0,1093	0,1975	0,1423	0,1138
1462	0,1020	0,0661	0,0554	0,2269	0,0762	0,1098	0,1979	0,1426	0,1137
1463	0,1023	0,0660	0,0553	0,2261	0,0765	0,1100	0,1972	0,1430	0,1138
1464	0,1028	0,0661	0,0552	0,2257	0,0770	0,1100	0,1969	0,1432	0,1139
1465	0,1033	0,0666	0,0549	0,2259	0,0771	0,1101	0,1970	0,1435	0,1142
1466	0,1038	0,0666	0,0550	0,2264	0,0772	0,1102	0,1974	0,1440	0,1145
1467	0,1041	0,0664	0,0550	0,2274	0,0776	0,1107	0,1982	0,1445	0,1154
1468	0,1042	0,0663	0,0548	0,2281	0,0777	0,1114	0,1987	0,1452	0,1159
1469	0,1047	0,0662	0,0547	0,2280	0,0779	0,1120	0,1987	0,1458	0,1162
1470	0,1054	0,0661	0,0545	0,2283	0,0783	0,1127	0,1989	0,1466	0,1168
1471	0,1062	0,0663	0,0542	0,2280	0,0790	0,1135	0,1987	0,1473	0,1170
1472	0,1065	0,0664	0,0538	0,2288	0,0795	0,1141	0,1993	0,1481	0,1178
1473	0,1071	0,0666	0,0539	0,2294	0,0800	0,1149	0,1998	0,1491	0,1184
1474	0,1075	0,0666	0,0540	0,2291	0,0804	0,1158	0,1995	0,1499	0,1193
1475	0,1076	0,0665	0,0545	0,2294	0,0804	0,1164	0,1998	0,1507	0,1202
1476	0,1084	0,0664	0,0545	0,2294	0,0805	0,1168	0,1998	0,1517	0,1214
1477	0,1090	0,0664	0,0538	0,2293	0,0811	0,1173	0,1997	0,1527	0,1215
1478	0,1096	0,0664	0,0537	0,2301	0,0817	0,1180	0,2003	0,1538	0,1221
1479	0,1106	0,0669	0,0539	0,2301	0,0824	0,1189	0,2003	0,1549	0,1229
1480	0,1109	0,0677	0,0539	0,2296	0,0832	0,1197	0,1999	0,1557	0,1237
1481	0,1112	0,0681	0,0540	0,2298	0,0835	0,1204	0,2001	0,1567	0,1247
1482	0,1115	0,0685	0,0543	0,2303	0,0836	0,1210	0,2004	0,1577	0,1254
1483	0,1119	0,0688	0,0541	0,2305	0,0843	0,1218	0,2006	0,1588	0,1258
1484	0,1125	0,0687	0,0539	0,2307	0,0852	0,1226	0,2008	0,1601	0,1267
1485	0,1130	0,0690	0,0543	0,2308	0,0858	0,1232	0,2009	0,1611	0,1277
1486	0,1134	0,0696	0,0548	0,2312	0,0865	0,1238	0,2012	0,1620	0,1285

EVALUACIÓN DE NUEVAS TECNOLOGÍAS PARA LA DETECCIÓN DE PATOLOGÍAS- AFECCIONES EN PALMERAS

1487	0,1141	0,0700	0,0551	0,2315	0,0870	0,1245	0,2015	0,1630	0,1294
1488	0,1149	0,0704	0,0553	0,2315	0,0875	0,1253	0,2015	0,1641	0,1306
1489	0,1155	0,0711	0,0556	0,2316	0,0881	0,1262	0,2016	0,1651	0,1315
1490	0,1161	0,0718	0,0557	0,2317	0,0887	0,1271	0,2016	0,1663	0,1321
1491	0,1167	0,0721	0,0558	0,2320	0,0894	0,1276	0,2018	0,1674	0,1327
1492	0,1170	0,0725	0,0562	0,2323	0,0899	0,1280	0,2021	0,1684	0,1333
1493	0,1174	0,0730	0,0567	0,2320	0,0904	0,1287	0,2019	0,1696	0,1339
1494	0,1180	0,0734	0,0570	0,2320	0,0910	0,1294	0,2020	0,1706	0,1348
1495	0,1185	0,0738	0,0573	0,2323	0,0916	0,1303	0,2022	0,1716	0,1358
1496	0,1188	0,0745	0,0576	0,2324	0,0921	0,1311	0,2022	0,1727	0,1365
1497	0,1191	0,0750	0,0580	0,2324	0,0926	0,1317	0,2023	0,1737	0,1371
1498	0,1197	0,0753	0,0584	0,2326	0,0933	0,1323	0,2025	0,1748	0,1378
1499	0,1202	0,0759	0,0588	0,2328	0,0939	0,1329	0,2027	0,1759	0,1387
1500	0,1207	0,0766	0,0591	0,2329	0,0945	0,1336	0,2027	0,1770	0,1395
1501	0,1214	0,0771	0,0594	0,2330	0,0950	0,1345	0,2028	0,1781	0,1406
1502	0,1221	0,0777	0,0597	0,2333	0,0956	0,1353	0,2030	0,1791	0,1413
1503	0,1227	0,0783	0,0600	0,2333	0,0962	0,1360	0,2030	0,1803	0,1424
1504	0,1232	0,0788	0,0605	0,2332	0,0968	0,1367	0,2030	0,1815	0,1433
1505	0,1236	0,0794	0,0610	0,2335	0,0976	0,1373	0,2032	0,1826	0,1440
1506	0,1241	0,0802	0,0614	0,2338	0,0982	0,1382	0,2035	0,1838	0,1449
1507	0,1247	0,0807	0,0619	0,2339	0,0988	0,1390	0,2036	0,1850	0,1458
1508	0,1254	0,0813	0,0624	0,2341	0,0996	0,1397	0,2037	0,1863	0,1468
1509	0,1262	0,0818	0,0627	0,2344	0,1002	0,1406	0,2040	0,1876	0,1479
1510	0,1266	0,0824	0,0631	0,2345	0,1009	0,1414	0,2041	0,1888	0,1488
1511	0,1271	0,0831	0,0636	0,2347	0,1017	0,1422	0,2043	0,1900	0,1496
1512	0,1277	0,0838	0,0641	0,2350	0,1024	0,1431	0,2045	0,1912	0,1505
1513	0,1283	0,0845	0,0645	0,2351	0,1031	0,1439	0,2046	0,1923	0,1513
1514	0,1288	0,0850	0,0649	0,2352	0,1038	0,1447	0,2047	0,1936	0,1522
1515	0,1294	0,0854	0,0653	0,2354	0,1045	0,1455	0,2048	0,1948	0,1532
1516	0,1301	0,0860	0,0657	0,2354	0,1051	0,1462	0,2049	0,1961	0,1542
1517	0,1306	0,0868	0,0662	0,2357	0,1058	0,1469	0,2051	0,1974	0,1551
1518	0,1312	0,0874	0,0666	0,2361	0,1066	0,1478	0,2055	0,1985	0,1561
1519	0,1320	0,0882	0,0671	0,2364	0,1073	0,1485	0,2057	0,1997	0,1571
1520	0,1326	0,0889	0,0676	0,2364	0,1079	0,1493	0,2057	0,2009	0,1580
1521	0,1331	0,0894	0,0680	0,2365	0,1086	0,1501	0,2058	0,2020	0,1588
1522	0,1338	0,0899	0,0686	0,2365	0,1093	0,1509	0,2058	0,2033	0,1598
1523	0,1344	0,0905	0,0691	0,2365	0,1099	0,1516	0,2058	0,2045	0,1606
1524	0,1348	0,0912	0,0695	0,2366	0,1106	0,1525	0,2060	0,2057	0,1614
1525	0,1355	0,0919	0,0700	0,2368	0,1113	0,1533	0,2062	0,2069	0,1625
1526	0,1362	0,0925	0,0705	0,2369	0,1120	0,1541	0,2062	0,2080	0,1635
1527	0,1367	0,0931	0,0709	0,2369	0,1127	0,1550	0,2063	0,2092	0,1644
1528	0,1371	0,0938	0,0715	0,2372	0,1134	0,1557	0,2065	0,2104	0,1651
1529	0,1379	0,0945	0,0721	0,2375	0,1140	0,1564	0,2067	0,2115	0,1658
1530	0,1387	0,0952	0,0725	0,2375	0,1146	0,1572	0,2067	0,2127	0,1667
1531	0,1392	0,0957	0,0729	0,2377	0,1153	0,1580	0,2069	0,2138	0,1675
1532	0,1396	0,0964	0,0732	0,2378	0,1159	0,1587	0,2070	0,2150	0,1683
1533	0,1402	0,0969	0,0736	0,2379	0,1166	0,1595	0,2071	0,2161	0,1693
1534	0,1407	0,0974	0,0741	0,2379	0,1173	0,1603	0,2071	0,2173	0,1703
1535	0,1412	0,0980	0,0746	0,2380	0,1180	0,1610	0,2072	0,2184	0,1712
1536	0,1421	0,0987	0,0751	0,2381	0,1186	0,1617	0,2072	0,2195	0,1722
1537	0,1428	0,0993	0,0756	0,2381	0,1192	0,1625	0,2072	0,2206	0,1730
1538	0,1433	0,0999	0,0760	0,2381	0,1198	0,1633	0,2073	0,2217	0,1736
1539	0,1436	0,1007	0,0764	0,2384	0,1205	0,1641	0,2075	0,2229	0,1745
1540	0,1440	0,1012	0,0768	0,2385	0,1211	0,1648	0,2076	0,2240	0,1755
1541	0,1445	0,1018	0,0774	0,2385	0,1218	0,1655	0,2076	0,2252	0,1763
1542	0,1450	0,1025	0,0780	0,2386	0,1224	0,1662	0,2077	0,2264	0,1772
1543	0,1457	0,1031	0,0784	0,2386	0,1230	0,1669	0,2077	0,2275	0,1782
1544	0,1463	0,1037	0,0789	0,2385	0,1237	0,1677	0,2077	0,2286	0,1790
1545	0,1469	0,1044	0,0793	0,2388	0,1244	0,1685	0,2079	0,2297	0,1798
1546	0,1475	0,1050	0,0798	0,2389	0,1251	0,1691	0,2080	0,2308	0,1807
1547	0,1480	0,1057	0,0803	0,2388	0,1257	0,1698	0,2079	0,2320	0,1812
1548	0,1485	0,1062	0,0807	0,2389	0,1263	0,1704	0,2080	0,2331	0,1818
1549	0,1489	0,1067	0,0812	0,2387	0,1268	0,1712	0,2079	0,2342	0,1828
1550	0,1494	0,1073	0,0817	0,2386	0,1274	0,1720	0,2078	0,2353	0,1837
1551	0,1500	0,1079	0,0821	0,2387	0,1281	0,1727	0,2078	0,2363	0,1846
1552	0,1507	0,1086	0,0826	0,2388	0,1287	0,1734	0,2079	0,2374	0,1854

EVALUACIÓN DE NUEVAS TECNOLOGÍAS PARA LA DETECCIÓN DE PATOLOGÍAS- AFECCIONES EN PALMERAS

1553	0,1512	0,1093	0,0832	0,2389	0,1293	0,1740	0,2080	0,2384	0,1860
1554	0,1518	0,1098	0,0838	0,2389	0,1300	0,1746	0,2080	0,2394	0,1866
1555	0,1522	0,1104	0,0844	0,2389	0,1306	0,1753	0,2081	0,2405	0,1874
1556	0,1527	0,1111	0,0848	0,2390	0,1312	0,1760	0,2081	0,2415	0,1883
1557	0,1533	0,1117	0,0852	0,2390	0,1318	0,1767	0,2081	0,2425	0,1891
1558	0,1539	0,1122	0,0856	0,2391	0,1325	0,1773	0,2082	0,2436	0,1899
1559	0,1543	0,1129	0,0861	0,2392	0,1330	0,1780	0,2083	0,2446	0,1907
1560	0,1548	0,1135	0,0867	0,2393	0,1336	0,1787	0,2084	0,2456	0,1914
1561	0,1552	0,1140	0,0872	0,2395	0,1342	0,1794	0,2085	0,2465	0,1920
1562	0,1557	0,1147	0,0875	0,2394	0,1347	0,1800	0,2085	0,2474	0,1928
1563	0,1563	0,1153	0,0881	0,2395	0,1352	0,1806	0,2085	0,2484	0,1935
1564	0,1567	0,1158	0,0885	0,2395	0,1358	0,1811	0,2085	0,2494	0,1942
1565	0,1573	0,1162	0,0889	0,2393	0,1365	0,1816	0,2085	0,2504	0,1951
1566	0,1578	0,1167	0,0895	0,2395	0,1369	0,1825	0,2086	0,2514	0,1959
1567	0,1582	0,1174	0,0901	0,2397	0,1375	0,1832	0,2088	0,2523	0,1965
1568	0,1587	0,1181	0,0903	0,2397	0,1382	0,1838	0,2088	0,2534	0,1972
1569	0,1593	0,1188	0,0908	0,2398	0,1386	0,1844	0,2088	0,2543	0,1978
1570	0,1597	0,1194	0,0913	0,2399	0,1392	0,1850	0,2090	0,2552	0,1984
1571	0,1601	0,1198	0,0918	0,2399	0,1399	0,1855	0,2090	0,2561	0,1992
1572	0,1605	0,1204	0,0923	0,2399	0,1404	0,1861	0,2089	0,2570	0,1999
1573	0,1610	0,1210	0,0929	0,2400	0,1410	0,1868	0,2090	0,2580	0,2006
1574	0,1616	0,1217	0,0933	0,2401	0,1416	0,1874	0,2090	0,2590	0,2013
1575	0,1620	0,1222	0,0937	0,2399	0,1421	0,1879	0,2090	0,2599	0,2020
1576	0,1626	0,1230	0,0944	0,2401	0,1425	0,1885	0,2091	0,2608	0,2027
1577	0,1629	0,1237	0,0950	0,2401	0,1431	0,1891	0,2091	0,2617	0,2035
1578	0,1633	0,1243	0,0955	0,2399	0,1438	0,1898	0,2090	0,2627	0,2041
1579	0,1638	0,1249	0,0960	0,2400	0,1443	0,1904	0,2090	0,2637	0,2047
1580	0,1642	0,1254	0,0964	0,2400	0,1449	0,1908	0,2091	0,2646	0,2053
1581	0,1647	0,1258	0,0968	0,2400	0,1454	0,1914	0,2091	0,2655	0,2058
1582	0,1653	0,1265	0,0973	0,2401	0,1459	0,1920	0,2092	0,2664	0,2066
1583	0,1657	0,1273	0,0979	0,2401	0,1465	0,1925	0,2092	0,2673	0,2075
1584	0,1661	0,1280	0,0985	0,2401	0,1472	0,1931	0,2092	0,2683	0,2081
1585	0,1665	0,1286	0,0991	0,2402	0,1476	0,1937	0,2093	0,2692	0,2086
1586	0,1669	0,1291	0,0996	0,2404	0,1481	0,1942	0,2094	0,2701	0,2092
1587	0,1673	0,1297	0,1000	0,2405	0,1488	0,1948	0,2095	0,2710	0,2097
1588	0,1678	0,1303	0,1004	0,2406	0,1492	0,1955	0,2096	0,2719	0,2105
1589	0,1683	0,1309	0,1008	0,2406	0,1497	0,1960	0,2096	0,2727	0,2113
1590	0,1687	0,1315	0,1014	0,2405	0,1503	0,1965	0,2096	0,2736	0,2119
1591	0,1692	0,1320	0,1021	0,2408	0,1508	0,1970	0,2098	0,2745	0,2127
1592	0,1697	0,1326	0,1026	0,2412	0,1513	0,1974	0,2101	0,2754	0,2133
1593	0,1700	0,1333	0,1031	0,2413	0,1519	0,1981	0,2102	0,2763	0,2138
1594	0,1705	0,1338	0,1034	0,2415	0,1524	0,1987	0,2104	0,2772	0,2143
1595	0,1709	0,1342	0,1037	0,2416	0,1528	0,1993	0,2105	0,2781	0,2149
1596	0,1712	0,1347	0,1039	0,2417	0,1534	0,1999	0,2105	0,2790	0,2157
1597	0,1719	0,1352	0,1043	0,2420	0,1539	0,2005	0,2108	0,2799	0,2164
1598	0,1725	0,1359	0,1050	0,2423	0,1544	0,2010	0,2111	0,2808	0,2171
1599	0,1730	0,1366	0,1055	0,2425	0,1549	0,2015	0,2113	0,2816	0,2178
1600	0,1735	0,1370	0,1058	0,2427	0,1555	0,2022	0,2114	0,2825	0,2185
1601	0,1740	0,1374	0,1062	0,2429	0,1561	0,2028	0,2116	0,2834	0,2189
1602	0,1745	0,1378	0,1065	0,2430	0,1565	0,2033	0,2117	0,2843	0,2194
1603	0,1750	0,1384	0,1069	0,2434	0,1569	0,2040	0,2120	0,2852	0,2199
1604	0,1755	0,1391	0,1075	0,2437	0,1573	0,2046	0,2123	0,2861	0,2206
1605	0,1761	0,1398	0,1081	0,2438	0,1579	0,2051	0,2123	0,2870	0,2215
1606	0,1767	0,1403	0,1086	0,2439	0,1585	0,2056	0,2124	0,2880	0,2222
1607	0,1771	0,1406	0,1089	0,2441	0,1590	0,2062	0,2126	0,2888	0,2228
1608	0,1775	0,1411	0,1093	0,2444	0,1595	0,2068	0,2129	0,2897	0,2233
1609	0,1780	0,1416	0,1098	0,2449	0,1600	0,2074	0,2133	0,2905	0,2238
1610	0,1786	0,1423	0,1102	0,2452	0,1605	0,2080	0,2135	0,2913	0,2245
1611	0,1792	0,1429	0,1106	0,2452	0,1610	0,2086	0,2135	0,2921	0,2254
1612	0,1796	0,1434	0,1110	0,2452	0,1616	0,2090	0,2135	0,2930	0,2259
1613	0,1800	0,1440	0,1114	0,2454	0,1622	0,2095	0,2137	0,2938	0,2262
1614	0,1803	0,1444	0,1118	0,2457	0,1626	0,2099	0,2139	0,2947	0,2267
1615	0,1807	0,1449	0,1121	0,2460	0,1630	0,2104	0,2142	0,2955	0,2272
1616	0,1813	0,1455	0,1124	0,2463	0,1635	0,2109	0,2145	0,2963	0,2279
1617	0,1819	0,1459	0,1128	0,2463	0,1638	0,2114	0,2145	0,2971	0,2286
1618	0,1823	0,1463	0,1133	0,2463	0,1642	0,2120	0,2145	0,2977	0,2292

EVALUACIÓN DE NUEVAS TECNOLOGÍAS PARA LA DETECCIÓN DE PATOLOGÍAS- AFECCIONES EN PALMERAS

1619	0,1827	0,1468	0,1137	0,2466	0,1648	0,2124	0,2147	0,2985	0,2297
1620	0,1829	0,1472	0,1140	0,2469	0,1652	0,2128	0,2150	0,2993	0,2300
1621	0,1831	0,1475	0,1143	0,2470	0,1656	0,2134	0,2151	0,3001	0,2305
1622	0,1835	0,1479	0,1146	0,2472	0,1660	0,2137	0,2152	0,3008	0,2310
1623	0,1840	0,1483	0,1150	0,2474	0,1664	0,2141	0,2154	0,3015	0,2316
1624	0,1845	0,1489	0,1154	0,2475	0,1667	0,2147	0,2155	0,3021	0,2321
1625	0,1850	0,1493	0,1158	0,2476	0,1671	0,2149	0,2156	0,3028	0,2327
1626	0,1853	0,1496	0,1160	0,2478	0,1675	0,2152	0,2157	0,3035	0,2332
1627	0,1855	0,1500	0,1162	0,2479	0,1678	0,2157	0,2158	0,3042	0,2336
1628	0,1858	0,1504	0,1164	0,2479	0,1682	0,2162	0,2159	0,3048	0,2342
1629	0,1862	0,1508	0,1168	0,2482	0,1685	0,2167	0,2161	0,3053	0,2346
1630	0,1865	0,1512	0,1172	0,2486	0,1690	0,2171	0,2164	0,3059	0,2347
1631	0,1869	0,1515	0,1173	0,2486	0,1693	0,2173	0,2164	0,3066	0,2352
1632	0,1871	0,1518	0,1175	0,2485	0,1695	0,2176	0,2164	0,3072	0,2359
1633	0,1873	0,1521	0,1178	0,2486	0,1699	0,2180	0,2164	0,3076	0,2364
1634	0,1876	0,1525	0,1180	0,2487	0,1702	0,2184	0,2165	0,3081	0,2368
1635	0,1878	0,1529	0,1183	0,2488	0,1704	0,2188	0,2166	0,3087	0,2373
1636	0,1881	0,1530	0,1184	0,2490	0,1707	0,2191	0,2168	0,3092	0,2375
1637	0,1884	0,1532	0,1185	0,2490	0,1710	0,2193	0,2168	0,3097	0,2377
1638	0,1886	0,1534	0,1187	0,2488	0,1713	0,2196	0,2167	0,3103	0,2385
1639	0,1888	0,1536	0,1190	0,2489	0,1715	0,2198	0,2167	0,3108	0,2390
1640	0,1890	0,1541	0,1194	0,2490	0,1718	0,2202	0,2168	0,3112	0,2390
1641	0,1892	0,1545	0,1197	0,2489	0,1721	0,2205	0,2167	0,3116	0,2392
1642	0,1894	0,1547	0,1198	0,2491	0,1723	0,2207	0,2169	0,3120	0,2393
1643	0,1896	0,1550	0,1200	0,2492	0,1726	0,2209	0,2169	0,3123	0,2394
1644	0,1898	0,1552	0,1203	0,2492	0,1729	0,2211	0,2170	0,3127	0,2398
1645	0,1899	0,1555	0,1206	0,2494	0,1731	0,2214	0,2171	0,3131	0,2402
1646	0,1901	0,1558	0,1209	0,2493	0,1732	0,2216	0,2170	0,3134	0,2407
1647	0,1903	0,1561	0,1210	0,2489	0,1733	0,2218	0,2167	0,3137	0,2409
1648	0,1902	0,1563	0,1211	0,2489	0,1735	0,2219	0,2167	0,3140	0,2410
1649	0,1901	0,1564	0,1212	0,2489	0,1736	0,2220	0,2167	0,3142	0,2412
1650	0,1902	0,1566	0,1215	0,2491	0,1737	0,2221	0,2168	0,3144	0,2413
1651	0,1900	0,1567	0,1218	0,2491	0,1738	0,2224	0,2169	0,3147	0,2413
1652	0,1901	0,1568	0,1220	0,2488	0,1739	0,2224	0,2166	0,3148	0,2415
1653	0,1902	0,1571	0,1222	0,2486	0,1740	0,2225	0,2164	0,3150	0,2416
1654	0,1901	0,1575	0,1223	0,2485	0,1741	0,2226	0,2163	0,3151	0,2414
1655	0,1900	0,1576	0,1222	0,2484	0,1742	0,2226	0,2162	0,3151	0,2416
1656	0,1901	0,1575	0,1223	0,2485	0,1742	0,2226	0,2164	0,3151	0,2419
1657	0,1899	0,1573	0,1224	0,2485	0,1742	0,2228	0,2164	0,3153	0,2419
1658	0,1898	0,1573	0,1224	0,2482	0,1742	0,2227	0,2161	0,3153	0,2420
1659	0,1897	0,1573	0,1227	0,2481	0,1743	0,2226	0,2160	0,3154	0,2418
1660	0,1894	0,1575	0,1228	0,2480	0,1743	0,2225	0,2159	0,3154	0,2415
1661	0,1892	0,1578	0,1229	0,2478	0,1742	0,2224	0,2158	0,3152	0,2416
1662	0,1892	0,1577	0,1229	0,2477	0,1742	0,2224	0,2157	0,3150	0,2416
1663	0,1891	0,1576	0,1229	0,2477	0,1742	0,2225	0,2156	0,3149	0,2415
1664	0,1887	0,1577	0,1230	0,2474	0,1740	0,2224	0,2154	0,3147	0,2415
1665	0,1885	0,1576	0,1230	0,2470	0,1740	0,2222	0,2151	0,3146	0,2412
1666	0,1883	0,1577	0,1231	0,2468	0,1739	0,2220	0,2149	0,3145	0,2409
1667	0,1880	0,1577	0,1232	0,2465	0,1737	0,2218	0,2146	0,3142	0,2408
1668	0,1880	0,1575	0,1231	0,2462	0,1736	0,2217	0,2144	0,3139	0,2407
1669	0,1879	0,1575	0,1230	0,2461	0,1735	0,2216	0,2143	0,3137	0,2409
1670	0,1874	0,1575	0,1232	0,2458	0,1734	0,2214	0,2140	0,3134	0,2410
1671	0,1872	0,1575	0,1232	0,2456	0,1733	0,2212	0,2139	0,3131	0,2409
1672	0,1869	0,1576	0,1234	0,2456	0,1731	0,2209	0,2139	0,3128	0,2404
1673	0,1867	0,1575	0,1234	0,2452	0,1729	0,2207	0,2136	0,3125	0,2400
1674	0,1867	0,1573	0,1233	0,2450	0,1728	0,2206	0,2134	0,3121	0,2395
1675	0,1865	0,1573	0,1232	0,2447	0,1728	0,2205	0,2131	0,3119	0,2393
1676	0,1860	0,1573	0,1231	0,2441	0,1727	0,2203	0,2127	0,3116	0,2395
1677	0,1856	0,1573	0,1231	0,2438	0,1725	0,2200	0,2124	0,3112	0,2394
1678	0,1853	0,1573	0,1232	0,2437	0,1723	0,2196	0,2123	0,3107	0,2389
1679	0,1850	0,1570	0,1231	0,2435	0,1721	0,2192	0,2121	0,3103	0,2385
1680	0,1849	0,1566	0,1231	0,2434	0,1720	0,2189	0,2120	0,3098	0,2378
1681	0,1849	0,1565	0,1232	0,2431	0,1719	0,2188	0,2118	0,3093	0,2373
1682	0,1846	0,1565	0,1230	0,2426	0,1716	0,2187	0,2113	0,3089	0,2373
1683	0,1841	0,1562	0,1229	0,2421	0,1713	0,2184	0,2110	0,3083	0,2372
1684	0,1838	0,1562	0,1228	0,2417	0,1710	0,2180	0,2106	0,3077	0,2370

EVALUACIÓN DE NUEVAS TECNOLOGÍAS PARA LA DETECCIÓN DE PATOLOGÍAS- AFECCIONES EN PALMERAS

1685	0,1835	0,1560	0,1227	0,2413	0,1708	0,2175	0,2103	0,3073	0,2366
1686	0,1833	0,1556	0,1225	0,2412	0,1706	0,2172	0,2102	0,3066	0,2359
1687	0,1832	0,1554	0,1224	0,2412	0,1704	0,2169	0,2101	0,3061	0,2354
1688	0,1827	0,1553	0,1223	0,2407	0,1701	0,2166	0,2098	0,3056	0,2349
1689	0,1823	0,1551	0,1223	0,2404	0,1698	0,2163	0,2095	0,3049	0,2345
1690	0,1818	0,1549	0,1222	0,2401	0,1694	0,2159	0,2092	0,3043	0,2343
1691	0,1812	0,1547	0,1222	0,2396	0,1691	0,2155	0,2088	0,3036	0,2337
1692	0,1811	0,1544	0,1220	0,2394	0,1688	0,2151	0,2087	0,3028	0,2329
1693	0,1810	0,1541	0,1218	0,2392	0,1686	0,2146	0,2085	0,3020	0,2324
1694	0,1806	0,1539	0,1216	0,2388	0,1683	0,2140	0,2082	0,3013	0,2318
1695	0,1804	0,1537	0,1214	0,2386	0,1679	0,2135	0,2080	0,3006	0,2315
1696	0,1799	0,1534	0,1212	0,2381	0,1675	0,2130	0,2075	0,3000	0,2313
1697	0,1793	0,1531	0,1210	0,2376	0,1672	0,2126	0,2072	0,2994	0,2308
1698	0,1791	0,1527	0,1209	0,2373	0,1667	0,2122	0,2069	0,2985	0,2303
1699	0,1786	0,1523	0,1206	0,2367	0,1663	0,2117	0,2064	0,2976	0,2297
1700	0,1779	0,1520	0,1204	0,2363	0,1658	0,2111	0,2061	0,2967	0,2289
1701	0,1774	0,1516	0,1201	0,2359	0,1653	0,2104	0,2057	0,2957	0,2282
1702	0,1770	0,1511	0,1198	0,2353	0,1649	0,2098	0,2052	0,2948	0,2275
1703	0,1766	0,1507	0,1196	0,2349	0,1645	0,2093	0,2048	0,2939	0,2268
1704	0,1764	0,1502	0,1195	0,2345	0,1642	0,2088	0,2045	0,2931	0,2264
1705	0,1759	0,1498	0,1193	0,2341	0,1637	0,2081	0,2041	0,2922	0,2258
1706	0,1750	0,1497	0,1191	0,2338	0,1631	0,2073	0,2039	0,2911	0,2253
1707	0,1743	0,1493	0,1188	0,2333	0,1626	0,2066	0,2035	0,2900	0,2245
1708	0,1735	0,1487	0,1183	0,2326	0,1619	0,2059	0,2028	0,2890	0,2237
1709	0,1729	0,1482	0,1179	0,2320	0,1614	0,2052	0,2024	0,2879	0,2228
1710	0,1724	0,1476	0,1175	0,2314	0,1610	0,2045	0,2019	0,2870	0,2216
1711	0,1719	0,1470	0,1171	0,2308	0,1605	0,2037	0,2014	0,2860	0,2208
2027	0,0827	0,0415	0,0310	0,2188	0,0476	0,0757	0,1932	0,0917	0,0784
2028	0,0830	0,0401	0,0305	0,2175	0,0475	0,0758	0,1920	0,0919	0,0787
2029	0,0829	0,0395	0,0308	0,2173	0,0478	0,0763	0,1919	0,0922	0,0789
2030	0,0829	0,0401	0,0312	0,2170	0,0480	0,0766	0,1915	0,0925	0,0788
2031	0,0827	0,0397	0,0300	0,2156	0,0478	0,0767	0,1904	0,0928	0,0793
2032	0,0825	0,0396	0,0299	0,2147	0,0480	0,0766	0,1897	0,0931	0,0795
2033	0,0821	0,0405	0,0309	0,2138	0,0486	0,0764	0,1890	0,0935	0,0795
2034	0,0820	0,0408	0,0311	0,2133	0,0487	0,0765	0,1885	0,0937	0,0797
2035	0,0820	0,0404	0,0309	0,2129	0,0487	0,0766	0,1881	0,0939	0,0802
2036	0,0822	0,0403	0,0312	0,2126	0,0487	0,0768	0,1878	0,0941	0,0803
2037	0,0824	0,0412	0,0313	0,2122	0,0488	0,0773	0,1874	0,0942	0,0806
2038	0,0822	0,0409	0,0313	0,2113	0,0489	0,0778	0,1866	0,0944	0,0801
2039	0,0815	0,0402	0,0314	0,2106	0,0491	0,0780	0,1860	0,0945	0,0801
2040	0,0811	0,0405	0,0315	0,2107	0,0494	0,0779	0,1861	0,0947	0,0806
2041	0,0814	0,0407	0,0318	0,2110	0,0495	0,0779	0,1862	0,0951	0,0811
2042	0,0814	0,0407	0,0320	0,2117	0,0496	0,0783	0,1868	0,0953	0,0813
2043	0,0811	0,0409	0,0317	0,2109	0,0498	0,0786	0,1862	0,0952	0,0815
2044	0,0814	0,0408	0,0317	0,2085	0,0501	0,0786	0,1842	0,0954	0,0813
2045	0,0817	0,0410	0,0317	0,2075	0,0500	0,0787	0,1834	0,0956	0,0814
2046	0,0814	0,0417	0,0316	0,2065	0,0496	0,0790	0,1826	0,0959	0,0815
2047	0,0815	0,0418	0,0315	0,2057	0,0496	0,0791	0,1819	0,0962	0,0817
2048	0,0823	0,0415	0,0316	0,2065	0,0500	0,0793	0,1825	0,0965	0,0820
2049	0,0827	0,0418	0,0317	0,2065	0,0501	0,0795	0,1825	0,0967	0,0824
2050	0,0829	0,0425	0,0317	0,2061	0,0503	0,0801	0,1822	0,0969	0,0834
2051	0,0834	0,0421	0,0315	0,2050	0,0507	0,0802	0,1812	0,0971	0,0832
2052	0,0836	0,0422	0,0315	0,2042	0,0511	0,0800	0,1805	0,0973	0,0835
2053	0,0834	0,0436	0,0320	0,2034	0,0510	0,0803	0,1799	0,0976	0,0841
2054	0,0823	0,0434	0,0321	0,2027	0,0509	0,0808	0,1792	0,0978	0,0839
2055	0,0814	0,0429	0,0319	0,2016	0,0509	0,0810	0,1782	0,0980	0,0841
2056	0,0821	0,0434	0,0324	0,2013	0,0509	0,0811	0,1780	0,0983	0,0845
2057	0,0828	0,0434	0,0326	0,2010	0,0511	0,0818	0,1777	0,0985	0,0855
2058	0,0828	0,0429	0,0324	0,2003	0,0516	0,0824	0,1771	0,0988	0,0854
2059	0,0831	0,0434	0,0330	0,2000	0,0524	0,0821	0,1769	0,0992	0,0855
2060	0,0831	0,0436	0,0337	0,1995	0,0526	0,0823	0,1765	0,0994	0,0858
2061	0,0819	0,0433	0,0344	0,1986	0,0520	0,0828	0,1758	0,0995	0,0858
2062	0,0818	0,0432	0,0346	0,1983	0,0521	0,0830	0,1755	0,0998	0,0860
2063	0,0818	0,0433	0,0347	0,1982	0,0525	0,0832	0,1754	0,1003	0,0870
2064	0,0826	0,0434	0,0350	0,1982	0,0528	0,0835	0,1754	0,1006	0,0873
2065	0,0844	0,0435	0,0348	0,1989	0,0532	0,0841	0,1759	0,1009	0,0871

EVALUACIÓN DE NUEVAS TECNOLOGÍAS PARA LA DETECCIÓN DE PATOLOGÍAS- AFECCIONES EN PALMERAS

2066	0,0854	0,0441	0,0348	0,1994	0,0536	0,0840	0,1763	0,1014	0,0875
2067	0,0854	0,0454	0,0351	0,1981	0,0535	0,0840	0,1753	0,1015	0,0873
2068	0,0853	0,0458	0,0357	0,1969	0,0532	0,0843	0,1743	0,1014	0,0876
2069	0,0843	0,0451	0,0358	0,1961	0,0530	0,0846	0,1736	0,1015	0,0880
2070	0,0836	0,0452	0,0358	0,1952	0,0533	0,0845	0,1729	0,1018	0,0878
2071	0,0836	0,0455	0,0355	0,1950	0,0538	0,0843	0,1727	0,1023	0,0876
2072	0,0838	0,0453	0,0355	0,1945	0,0541	0,0843	0,1723	0,1025	0,0880
2073	0,0843	0,0457	0,0360	0,1937	0,0545	0,0846	0,1717	0,1029	0,0883
2074	0,0844	0,0465	0,0356	0,1929	0,0551	0,0850	0,1711	0,1033	0,0893
2075	0,0844	0,0471	0,0356	0,1926	0,0553	0,0852	0,1708	0,1036	0,0896
2076	0,0850	0,0474	0,0364	0,1933	0,0552	0,0856	0,1714	0,1036	0,0897
2077	0,0847	0,0476	0,0368	0,1932	0,0552	0,0857	0,1712	0,1038	0,0898
2078	0,0833	0,0480	0,0368	0,1925	0,0551	0,0856	0,1707	0,1042	0,0896
2079	0,0831	0,0483	0,0372	0,1921	0,0552	0,0856	0,1703	0,1044	0,0896
2080	0,0829	0,0483	0,0381	0,1914	0,0554	0,0857	0,1698	0,1046	0,0900
2081	0,0828	0,0484	0,0383	0,1909	0,0559	0,0858	0,1693	0,1049	0,0905
2082	0,0834	0,0490	0,0379	0,1905	0,0563	0,0860	0,1690	0,1053	0,0912
2083	0,0834	0,0489	0,0382	0,1904	0,0563	0,0862	0,1689	0,1055	0,0914
2084	0,0835	0,0477	0,0385	0,1905	0,0563	0,0863	0,1690	0,1057	0,0912
2085	0,0843	0,0475	0,0382	0,1906	0,0566	0,0867	0,1690	0,1060	0,0916
2086	0,0842	0,0481	0,0386	0,1908	0,0568	0,0867	0,1691	0,1061	0,0918
2087	0,0840	0,0483	0,0389	0,1906	0,0569	0,0861	0,1690	0,1064	0,0916
2088	0,0842	0,0486	0,0391	0,1898	0,0571	0,0863	0,1684	0,1067	0,0917
2089	0,0840	0,0495	0,0394	0,1893	0,0572	0,0866	0,1680	0,1069	0,0919
2090	0,0839	0,0500	0,0397	0,1889	0,0573	0,0870	0,1676	0,1072	0,0922
2091	0,0842	0,0497	0,0399	0,1884	0,0576	0,0879	0,1672	0,1075	0,0922
2092	0,0841	0,0500	0,0402	0,1881	0,0578	0,0883	0,1670	0,1078	0,0925
2093	0,0836	0,0512	0,0406	0,1884	0,0580	0,0884	0,1673	0,1081	0,0931
2094	0,0836	0,0515	0,0408	0,1878	0,0581	0,0886	0,1668	0,1084	0,0934
2095	0,0839	0,0512	0,0408	0,1861	0,0579	0,0886	0,1653	0,1086	0,0937
2096	0,0840	0,0515	0,0410	0,1856	0,0581	0,0887	0,1650	0,1089	0,0938
2097	0,0844	0,0523	0,0413	0,1856	0,0585	0,0887	0,1649	0,1093	0,0940
2098	0,0842	0,0524	0,0417	0,1857	0,0587	0,0891	0,1650	0,1096	0,0944
2099	0,0839	0,0524	0,0418	0,1860	0,0589	0,0896	0,1652	0,1098	0,0949
2100	0,0842	0,0526	0,0419	0,1866	0,0593	0,0897	0,1658	0,1100	0,0952
2101	0,0843	0,0525	0,0421	0,1865	0,0594	0,0899	0,1656	0,1102	0,0951
2102	0,0841	0,0523	0,0424	0,1858	0,0593	0,0902	0,1650	0,1103	0,0955
2103	0,0839	0,0526	0,0427	0,1859	0,0594	0,0902	0,1651	0,1107	0,0959
2104	0,0840	0,0532	0,0431	0,1859	0,0599	0,0904	0,1651	0,1111	0,0957
2105	0,0843	0,0537	0,0431	0,1856	0,0602	0,0906	0,1649	0,1113	0,0960
2106	0,0844	0,0537	0,0431	0,1856	0,0603	0,0907	0,1649	0,1117	0,0961
2107	0,0845	0,0539	0,0433	0,1854	0,0604	0,0909	0,1648	0,1120	0,0965
2108	0,0848	0,0543	0,0438	0,1851	0,0605	0,0910	0,1645	0,1122	0,0970
2109	0,0850	0,0544	0,0441	0,1848	0,0605	0,0912	0,1642	0,1125	0,0971
2110	0,0848	0,0544	0,0446	0,1845	0,0605	0,0917	0,1640	0,1126	0,0971
2111	0,0849	0,0546	0,0449	0,1843	0,0607	0,0919	0,1638	0,1129	0,0975
2112	0,0851	0,0547	0,0447	0,1840	0,0611	0,0917	0,1635	0,1133	0,0978
2113	0,0850	0,0548	0,0449	0,1839	0,0613	0,0919	0,1635	0,1136	0,0978
2114	0,0849	0,0549	0,0454	0,1843	0,0613	0,0922	0,1638	0,1139	0,0983
2115	0,0851	0,0556	0,0455	0,1842	0,0614	0,0923	0,1638	0,1143	0,0985
2116	0,0851	0,0557	0,0452	0,1841	0,0617	0,0926	0,1637	0,1147	0,0985
2117	0,0849	0,0559	0,0453	0,1839	0,0621	0,0930	0,1635	0,1150	0,0989
2118	0,0850	0,0567	0,0453	0,1841	0,0624	0,0930	0,1637	0,1153	0,0996
2119	0,0857	0,0569	0,0455	0,1844	0,0623	0,0931	0,1639	0,1156	0,1005
2120	0,0858	0,0571	0,0461	0,1845	0,0623	0,0936	0,1641	0,1159	0,1007
2121	0,0858	0,0576	0,0469	0,1852	0,0625	0,0939	0,1646	0,1162	0,1007
2122	0,0862	0,0579	0,0469	0,1854	0,0628	0,0941	0,1648	0,1164	0,1003
2123	0,0862	0,0579	0,0466	0,1849	0,0633	0,0943	0,1643	0,1166	0,1004
2124	0,0863	0,0583	0,0469	0,1848	0,0636	0,0945	0,1642	0,1169	0,1005
2125	0,0869	0,0591	0,0471	0,1848	0,0635	0,0947	0,1643	0,1170	0,1012
2126	0,0872	0,0593	0,0474	0,1849	0,0637	0,0948	0,1644	0,1174	0,1014
2127	0,0870	0,0594	0,0484	0,1851	0,0642	0,0952	0,1645	0,1180	0,1017
2128	0,0871	0,0596	0,0487	0,1852	0,0643	0,0953	0,1646	0,1183	0,1018
2129	0,0872	0,0595	0,0483	0,1855	0,0643	0,0948	0,1649	0,1183	0,1022
2130	0,0873	0,0597	0,0486	0,1854	0,0643	0,0950	0,1648	0,1185	0,1022
2131	0,0876	0,0602	0,0490	0,1849	0,0641	0,0955	0,1643	0,1187	0,1024

EVALUACIÓN DE NUEVAS TECNOLOGÍAS PARA LA DETECCIÓN DE PATOLOGÍAS- AFECCIONES EN PALMERAS

2132	0,0876	0,0603	0,0493	0,1849	0,0642	0,0958	0,1643	0,1189	0,1027
2133	0,0873	0,0601	0,0499	0,1851	0,0643	0,0961	0,1644	0,1191	0,1026
2134	0,0869	0,0599	0,0501	0,1851	0,0648	0,0964	0,1645	0,1195	0,1027
2135	0,0863	0,0606	0,0504	0,1852	0,0652	0,0962	0,1646	0,1199	0,1033
2136	0,0862	0,0614	0,0507	0,1851	0,0656	0,0962	0,1645	0,1202	0,1045
2137	0,0864	0,0615	0,0507	0,1850	0,0660	0,0966	0,1645	0,1204	0,1047
2138	0,0867	0,0618	0,0510	0,1852	0,0662	0,0968	0,1646	0,1208	0,1037
2139	0,0872	0,0624	0,0512	0,1848	0,0663	0,0968	0,1643	0,1211	0,1040
2140	0,0870	0,0623	0,0512	0,1847	0,0664	0,0970	0,1642	0,1213	0,1045
2141	0,0864	0,0622	0,0515	0,1847	0,0667	0,0972	0,1642	0,1216	0,1044
2142	0,0868	0,0627	0,0518	0,1844	0,0669	0,0971	0,1640	0,1219	0,1052
2143	0,0871	0,0632	0,0521	0,1845	0,0669	0,0973	0,1641	0,1223	0,1056
2144	0,0876	0,0632	0,0522	0,1852	0,0669	0,0980	0,1647	0,1225	0,1061
2145	0,0878	0,0633	0,0525	0,1856	0,0672	0,0983	0,1651	0,1228	0,1063
2146	0,0878	0,0639	0,0531	0,1862	0,0674	0,0983	0,1655	0,1230	0,1058
2147	0,0880	0,0644	0,0533	0,1861	0,0676	0,0986	0,1654	0,1233	0,1060
2148	0,0885	0,0644	0,0533	0,1853	0,0682	0,0990	0,1648	0,1236	0,1064
2149	0,0886	0,0645	0,0536	0,1852	0,0685	0,0992	0,1648	0,1239	0,1065
2150	0,0887	0,0651	0,0538	0,1845	0,0682	0,0994	0,1642	0,1242	0,1065
2151	0,0891	0,0653	0,0540	0,1848	0,0684	0,0996	0,1644	0,1245	0,1070
2152	0,0896	0,0649	0,0541	0,1861	0,0689	0,0996	0,1655	0,1247	0,1078
2153	0,0900	0,0649	0,0544	0,1874	0,0689	0,0995	0,1665	0,1249	0,1080
2154	0,0899	0,0654	0,0546	0,1877	0,0685	0,1000	0,1669	0,1252	0,1082
2155	0,0901	0,0657	0,0547	0,1874	0,0683	0,1007	0,1666	0,1256	0,1084
2156	0,0898	0,0660	0,0553	0,1868	0,0687	0,1010	0,1661	0,1259	0,1080
2157	0,0890	0,0667	0,0560	0,1865	0,0690	0,1013	0,1659	0,1260	0,1083
2158	0,0890	0,0667	0,0561	0,1871	0,0692	0,1012	0,1664	0,1263	0,1080
2159	0,0895	0,0666	0,0562	0,1879	0,0695	0,1011	0,1671	0,1267	0,1075
2160	0,0900	0,0673	0,0566	0,1883	0,0695	0,1011	0,1674	0,1269	0,1085
2161	0,0902	0,0675	0,0568	0,1882	0,0694	0,1014	0,1673	0,1270	0,1092
2162	0,0904	0,0674	0,0565	0,1876	0,0697	0,1015	0,1668	0,1271	0,1099
2163	0,0908	0,0676	0,0564	0,1875	0,0702	0,1016	0,1667	0,1274	0,1098
2164	0,0909	0,0678	0,0567	0,1876	0,0704	0,1018	0,1669	0,1277	0,1098
2165	0,0907	0,0675	0,0572	0,1883	0,0703	0,1022	0,1674	0,1280	0,1098
2166	0,0908	0,0677	0,0573	0,1888	0,0705	0,1025	0,1679	0,1284	0,1103
2167	0,0913	0,0684	0,0580	0,1898	0,0708	0,1029	0,1686	0,1289	0,1106
2168	0,0914	0,0689	0,0583	0,1900	0,0710	0,1031	0,1689	0,1291	0,1111
2169	0,0910	0,0694	0,0581	0,1901	0,0709	0,1033	0,1689	0,1291	0,1116
2170	0,0910	0,0697	0,0579	0,1902	0,0711	0,1035	0,1691	0,1294	0,1119
2171	0,0915	0,0701	0,0575	0,1896	0,0715	0,1034	0,1686	0,1298	0,1114
2172	0,0916	0,0701	0,0576	0,1897	0,0716	0,1035	0,1688	0,1298	0,1113
2173	0,0918	0,0696	0,0580	0,1908	0,0716	0,1037	0,1696	0,1297	0,1113
2174	0,0922	0,0694	0,0580	0,1913	0,0718	0,1036	0,1699	0,1298	0,1112
2175	0,0927	0,0692	0,0584	0,1913	0,0720	0,1036	0,1700	0,1300	0,1114
2176	0,0922	0,0694	0,0593	0,1915	0,0721	0,1039	0,1702	0,1300	0,1121
2177	0,0918	0,0696	0,0593	0,1912	0,0724	0,1041	0,1699	0,1303	0,1123
2178	0,0927	0,0694	0,0589	0,1910	0,0726	0,1044	0,1699	0,1309	0,1117
2179	0,0927	0,0699	0,0592	0,1908	0,0725	0,1046	0,1697	0,1309	0,1123
2180	0,0922	0,0705	0,0599	0,1904	0,0723	0,1048	0,1692	0,1308	0,1137
2181	0,0927	0,0708	0,0598	0,1903	0,0724	0,1049	0,1692	0,1311	0,1143
2182	0,0928	0,0710	0,0600	0,1899	0,0729	0,1048	0,1689	0,1314	0,1144
2183	0,0924	0,0711	0,0603	0,1900	0,0733	0,1049	0,1689	0,1316	0,1147
2184	0,0927	0,0715	0,0600	0,1904	0,0734	0,1053	0,1694	0,1318	0,1135
2185	0,0930	0,0715	0,0599	0,1907	0,0736	0,1055	0,1696	0,1321	0,1130
2186	0,0935	0,0718	0,0601	0,1912	0,0739	0,1059	0,1699	0,1323	0,1133
2187	0,0936	0,0722	0,0603	0,1915	0,0739	0,1060	0,1702	0,1325	0,1141
2188	0,0938	0,0722	0,0603	0,1917	0,0738	0,1061	0,1704	0,1326	0,1157
2189	0,0940	0,0721	0,0603	0,1917	0,0741	0,1062	0,1704	0,1329	0,1159
2190	0,0938	0,0723	0,0604	0,1912	0,0745	0,1062	0,1700	0,1333	0,1150
2191	0,0937	0,0725	0,0607	0,1913	0,0746	0,1063	0,1702	0,1335	0,1156
2192	0,0934	0,0723	0,0612	0,1919	0,0746	0,1063	0,1706	0,1336	0,1156
2193	0,0936	0,0723	0,0613	0,1922	0,0748	0,1065	0,1708	0,1340	0,1155
2194	0,0942	0,0727	0,0614	0,1927	0,0749	0,1068	0,1712	0,1344	0,1155
2195	0,0942	0,0730	0,0616	0,1928	0,0749	0,1068	0,1713	0,1346	0,1154
2196	0,0942	0,0734	0,0616	0,1922	0,0751	0,1064	0,1709	0,1348	0,1153
2197	0,0945	0,0733	0,0615	0,1921	0,0753	0,1065	0,1708	0,1350	0,1156

EVALUACIÓN DE NUEVAS TECNOLOGÍAS PARA LA DETECCIÓN DE PATOLOGÍAS- AFECCIONES EN PALMERAS

2198	0,0938	0,0735	0,0618	0,1925	0,0748	0,1065	0,1711	0,1351	0,1155
2199	0,0927	0,0736	0,0620	0,1935	0,0746	0,1067	0,1719	0,1351	0,1157
2200	0,0929	0,0736	0,0624	0,1939	0,0748	0,1073	0,1722	0,1354	0,1158
2201	0,0932	0,0738	0,0624	0,1933	0,0749	0,1072	0,1718	0,1357	0,1157
2202	0,0930	0,0739	0,0618	0,1931	0,0751	0,1073	0,1717	0,1358	0,1166
2203	0,0937	0,0743	0,0618	0,1932	0,0753	0,1077	0,1717	0,1356	0,1172
2204	0,0944	0,0745	0,0622	0,1931	0,0750	0,1078	0,1716	0,1359	0,1170
2205	0,0943	0,0744	0,0620	0,1933	0,0752	0,1080	0,1718	0,1362	0,1164
2206	0,0949	0,0743	0,0622	0,1935	0,0755	0,1078	0,1720	0,1359	0,1162
2207	0,0953	0,0744	0,0635	0,1939	0,0755	0,1074	0,1723	0,1362	0,1160
2208	0,0945	0,0742	0,0638	0,1943	0,0757	0,1076	0,1727	0,1365	0,1161
2209	0,0945	0,0737	0,0632	0,1944	0,0760	0,1079	0,1727	0,1362	0,1163
2210	0,0944	0,0736	0,0630	0,1944	0,0761	0,1079	0,1727	0,1362	0,1168
2211	0,0942	0,0740	0,0627	0,1938	0,0762	0,1080	0,1722	0,1367	0,1174
2212	0,0940	0,0741	0,0625	0,1936	0,0761	0,1080	0,1720	0,1366	0,1174
2213	0,0943	0,0741	0,0622	0,1932	0,0760	0,1076	0,1717	0,1361	0,1173
2214	0,0942	0,0743	0,0624	0,1930	0,0759	0,1075	0,1715	0,1362	0,1172
2215	0,0935	0,0746	0,0627	0,1929	0,0757	0,1077	0,1715	0,1364	0,1160
2216	0,0935	0,0748	0,0631	0,1928	0,0755	0,1077	0,1714	0,1363	0,1160
2217	0,0942	0,0750	0,0642	0,1926	0,0755	0,1075	0,1713	0,1363	0,1171
2218	0,0941	0,0754	0,0644	0,1926	0,0754	0,1074	0,1713	0,1363	0,1171
2219	0,0937	0,0760	0,0641	0,1928	0,0751	0,1072	0,1714	0,1359	0,1169
2220	0,0938	0,0760	0,0641	0,1924	0,0752	0,1070	0,1711	0,1357	0,1171
2221	0,0936	0,0758	0,0638	0,1914	0,0759	0,1067	0,1703	0,1357	0,1169
2222	0,0930	0,0758	0,0635	0,1915	0,0759	0,1065	0,1703	0,1356	0,1166
2223	0,0939	0,0757	0,0634	0,1914	0,0755	0,1066	0,1702	0,1355	0,1162
2224	0,0944	0,0750	0,0636	0,1905	0,0756	0,1065	0,1694	0,1353	0,1158
2225	0,0935	0,0746	0,0636	0,1903	0,0755	0,1058	0,1693	0,1350	0,1156
2226	0,0933	0,0747	0,0633	0,1905	0,0750	0,1054	0,1695	0,1349	0,1155
2227	0,0936	0,0749	0,0634	0,1902	0,0750	0,1052	0,1692	0,1344	0,1159
2228	0,0931	0,0746	0,0629	0,1899	0,0748	0,1050	0,1690	0,1341	0,1146
2229	0,0930	0,0739	0,0625	0,1889	0,0743	0,1050	0,1681	0,1339	0,1145
2230	0,0932	0,0736	0,0625	0,1874	0,0741	0,1047	0,1669	0,1336	0,1156
2231	0,0923	0,0734	0,0627	0,1877	0,0742	0,1045	0,1670	0,1331	0,1155
2232	0,0911	0,0733	0,0629	0,1879	0,0741	0,1041	0,1672	0,1326	0,1148
2233	0,0910	0,0730	0,0629	0,1871	0,0738	0,1034	0,1665	0,1322	0,1150
2234	0,0910	0,0723	0,0625	0,1864	0,0736	0,1032	0,1659	0,1318	0,1149
2235	0,0905	0,0723	0,0621	0,1854	0,0735	0,1030	0,1651	0,1315	0,1139
2236	0,0905	0,0723	0,0621	0,1847	0,0733	0,1022	0,1645	0,1313	0,1140
2237	0,0902	0,0719	0,0617	0,1839	0,0729	0,1015	0,1638	0,1308	0,1135
2238	0,0895	0,0720	0,0609	0,1843	0,0726	0,1011	0,1641	0,1297	0,1119
2239	0,0891	0,0715	0,0604	0,1838	0,0722	0,1008	0,1636	0,1289	0,1108
2240	0,0893	0,0697	0,0598	0,1818	0,0715	0,1001	0,1619	0,1282	0,1112
2241	0,0889	0,0689	0,0594	0,1808	0,0712	0,0996	0,1611	0,1275	0,1113
2242	0,0884	0,0691	0,0592	0,1804	0,0712	0,0998	0,1608	0,1269	0,1103
2243	0,0878	0,0689	0,0593	0,1798	0,0709	0,0994	0,1602	0,1264	0,1099
2244	0,0865	0,0688	0,0598	0,1796	0,0705	0,0987	0,1601	0,1262	0,1099
2245	0,0858	0,0685	0,0596	0,1790	0,0702	0,0983	0,1595	0,1255	0,1091
2246	0,0855	0,0680	0,0590	0,1776	0,0698	0,0982	0,1584	0,1246	0,1080
2247	0,0848	0,0677	0,0588	0,1768	0,0692	0,0976	0,1576	0,1239	0,1074
2248	0,0837	0,0678	0,0581	0,1767	0,0689	0,0965	0,1574	0,1229	0,1062
2249	0,0832	0,0673	0,0578	0,1755	0,0685	0,0959	0,1564	0,1220	0,1057
2250	0,0829	0,0666	0,0580	0,1737	0,0678	0,0954	0,1549	0,1211	0,1051
2251	0,0824	0,0660	0,0580	0,1725	0,0670	0,0952	0,1539	0,1207	0,1044
2252	0,0819	0,0656	0,0574	0,1718	0,0670	0,0951	0,1532	0,1201	0,1048
2253	0,0822	0,0651	0,0567	0,1702	0,0669	0,0950	0,1519	0,1193	0,1050
2254	0,0822	0,0651	0,0560	0,1690	0,0664	0,0941	0,1509	0,1188	0,1045
2255	0,0815	0,0651	0,0553	0,1685	0,0661	0,0933	0,1504	0,1180	0,1033
2256	0,0820	0,0650	0,0546	0,1678	0,0657	0,0928	0,1499	0,1168	0,1018
2257	0,0822	0,0654	0,0543	0,1673	0,0650	0,0922	0,1495	0,1161	0,1012
2258	0,0812	0,0654	0,0536	0,1668	0,0646	0,0916	0,1490	0,1154	0,1005
2259	0,0813	0,0648	0,0532	0,1668	0,0645	0,0911	0,1488	0,1145	0,0995
2260	0,0817	0,0643	0,0539	0,1663	0,0644	0,0909	0,1484	0,1137	0,1005
2261	0,0808	0,0636	0,0546	0,1650	0,0638	0,0907	0,1472	0,1133	0,0998
2262	0,0801	0,0633	0,0539	0,1648	0,0630	0,0903	0,1470	0,1125	0,0987
2263	0,0802	0,0630	0,0528	0,1647	0,0626	0,0901	0,1470	0,1118	0,0988

EVALUACIÓN DE NUEVAS TECNOLOGÍAS PARA LA DETECCIÓN DE PATOLOGÍAS- AFECCIONES EN PALMERAS

2264	0,0795	0,0625	0,0529	0,1634	0,0625	0,0893	0,1460	0,1118	0,0986
2265	0,0781	0,0621	0,0527	0,1618	0,0619	0,0885	0,1446	0,1112	0,0972
2266	0,0773	0,0611	0,0521	0,1615	0,0616	0,0881	0,1443	0,1104	0,0966
2267	0,0771	0,0605	0,0525	0,1619	0,0617	0,0880	0,1446	0,1102	0,0967
2268	0,0771	0,0606	0,0528	0,1616	0,0614	0,0872	0,1445	0,1099	0,0960
2269	0,0777	0,0598	0,0522	0,1613	0,0615	0,0866	0,1442	0,1092	0,0959
2270	0,0779	0,0597	0,0517	0,1611	0,0617	0,0869	0,1439	0,1086	0,0963
2271	0,0768	0,0608	0,0521	0,1598	0,0609	0,0867	0,1428	0,1082	0,0946
2272	0,0762	0,0605	0,0523	0,1589	0,0606	0,0862	0,1421	0,1079	0,0944
2273	0,0749	0,0591	0,0519	0,1587	0,0603	0,0853	0,1419	0,1073	0,0956
2274	0,0745	0,0589	0,0513	0,1584	0,0602	0,0850	0,1416	0,1067	0,0954
2275	0,0750	0,0583	0,0510	0,1579	0,0602	0,0846	0,1412	0,1066	0,0956
2276	0,0750	0,0578	0,0509	0,1572	0,0599	0,0843	0,1406	0,1062	0,0947
2277	0,0748	0,0585	0,0505	0,1561	0,0593	0,0848	0,1397	0,1053	0,0931
2278	0,0746	0,0584	0,0498	0,1559	0,0590	0,0848	0,1395	0,1048	0,0928
2279	0,0740	0,0573	0,0492	0,1557	0,0590	0,0840	0,1393	0,1050	0,0911
2280	0,0739	0,0571	0,0493	0,1555	0,0586	0,0836	0,1390	0,1047	0,0910
2281	0,0738	0,0578	0,0497	0,1563	0,0577	0,0840	0,1397	0,1040	0,0922
2282	0,0740	0,0578	0,0493	0,1566	0,0574	0,0833	0,1400	0,1037	0,0920